### WYNIKI CIĄGŁYCH POMIARÓW HAŁASU W ŚRODOWISKU

### DLA PORTU LOTNICZEGO IM. F. CHOPINA W WARSZAWIE

Nazwa obiektu: Punkt pomiarowy nr 1 "Załuski"

Data wykonania pomiaru:

początek: 01 - 11 - 2020 koniec: 30 - 11 - 2020

Lokalizacja punktu pomiarowego: Warszawa, ul. Działkowa

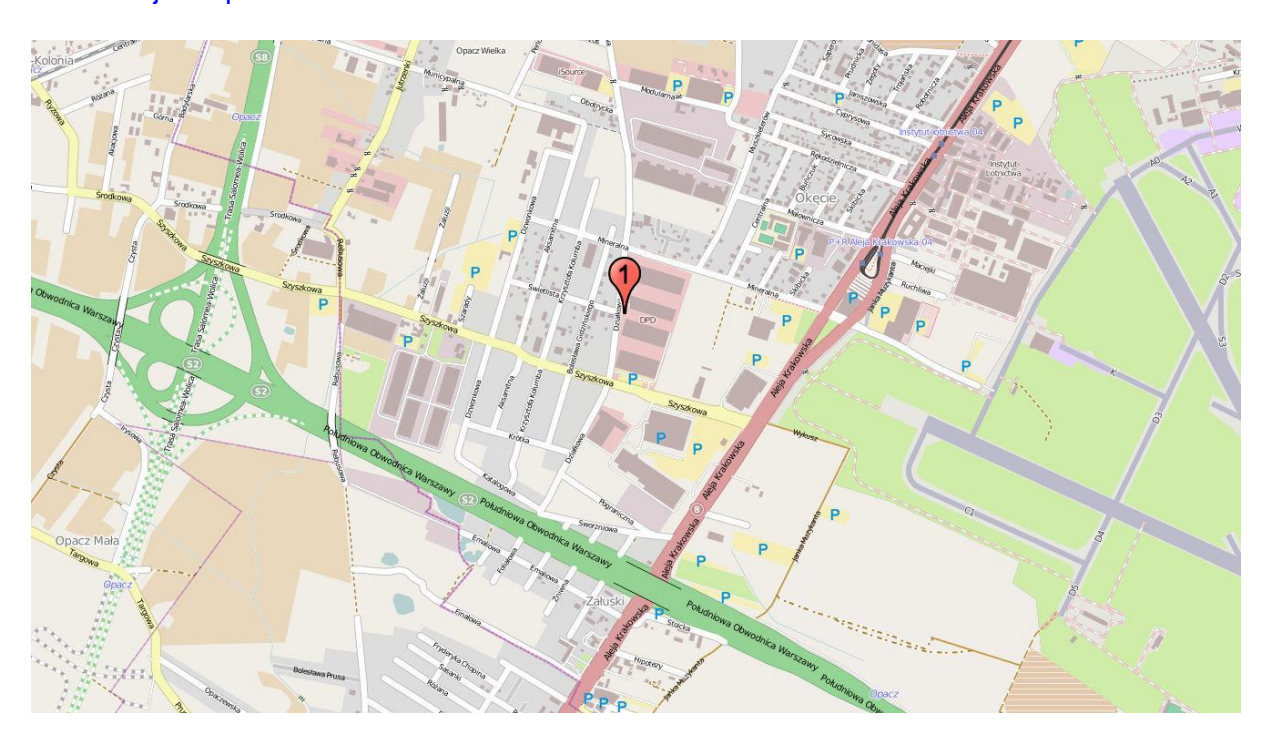
Układ współrzędnych: WGS 84

Szerokość geograficzna: N 52° 10' 31,7"

Długość geograficzna: E 20° 55' 57,2

Względna wysokość punktu pomiarowego [m]: 5

### Lokalizacja na planie:



### Metoda badań:

Metoda ciągłych lub okresowych pomiarów monitoringowych: metodyka referencyjna, określona w załączniku nr 1 do rozporządzenia Ministra Środowiska z dnia 16.06.2011 w sprawie wymagań w zakresie prowadzenia pomiarów poziomów substancji lub energii w środowisku przez zarządzającego droga, linią kolejową, linia tramwajową, lotniskiem portem.

Metody obliczeniowe: jw.

### Aparatura pomiarowa:

Analizator poziomu dźwięku (producent; nr typu): Lochard, EMU-2

Mikrofon/sonda mikrofonowa (producent; nr typu): Lochard, 41DM-2

Świadectwo uwierzytelnienia nr 1280.5-M24-4180-297/15 z dnia 16.09.2015 r. wydane przez Prezesa Głównego Urzedu Miar

Wzorzec akustyczny (producent; nr typu): Brüel & Kjær; 4228

# Równoważny poziom dźwięku w porze dnia i w porze nocy w odniesieniu do jednej doby, wg wskaźników L<sub>AeqD</sub> i L<sub>AeqN</sub> powodowany przez starty, lądowania i przeloty statków powietrznych

Dzień miesiąca/	Równoważny poziom dźwięku				
Listopad 2020 r.	Pora dnia	Pora nocy			
	L <sub>AeqD</sub> w dB	L <sub>AeqN</sub> w dB			
1	64,7	60,6			
2	66,2	54,6			
3	62,0	54,6			
4	62,9	55,3			
5	61,9	53,6			
6	62,3	56,6			
7	62,9	55,5			
8	63,2	59,5			
9	65,2	61,1			
10	63,6	53,4			
11	63,8	60,8			
12	64,3	61,3			
13	64,2	55,1			
14	60,9	55,4			
15	63,6	60,7			
16	65,2	53,5			
17	59,0	48,6			
18	63,2	61,6			
19	62,2	48,2			
20	61,5	55,3			
21	58,8	53,6			
22	61,3	54,3			
23	61,3	51,0			
24	59,3	0,0			
25	62,7	51,7			
26	62,1	0,0			
27	61,6	57,2			
28	58,5	0,0			
29	61,0	53,0			
30	60,1	60,2			

Zgodnie z art. 112a ustawy – Prawo ochrony środowiska oraz rozporządzeniem Ministra Środowiska z dnia 16 czerwca 2011 r. *w sprawie wymagań w zakresie prowadzenia pomiarów poziomów substancji lub energii w środowisku przez zarządzającego drogą, linią kolejową, linią tramwajową, lotniskiem lub portem*, do ustalania i kontroli warunków korzystania ze środowiska mają zastosowanie wskaźniki hałasu odnoszące się do jednej doby:

- L<sub>AeqD</sub> równoważny poziom dźwięku A dla pory dnia (rozumianej jako przedział czasu od godz. 6.00 do godz. 22.00),
- L<sub>AeqN</sub> równoważny poziom dźwięku A dla pory nocy (rozumianej jako przedział czasu od godz. 22.00 do godz. 6.00).

Wyznaczone wartości tych wskaźników dla poszczególnych dni i nocy w listopadzie 2020 podano w tabeli powyżej.

W tabelach poniżej podano zestawienia zdarzeń akustycznych zarejestrowanych w punkcie pomiarowym, na podstawie których wyznaczono wartości wskaźników L<sub>AeqD</sub> i L<sub>AeqN</sub> dla poszczególnych dni i nocy w miesiacu.

## Zestawienie zdarzeń akustycznych spowodowanych przelotami statków powietrznych w porze dnia ( przedział czasu pomiędzy godz. 06.00 – 22.00 )

Nr punktu		Τ	1	L <sub>Aeq</sub>	L <sub>Amax</sub>	L <sub>AE</sub>
pomiarowego	Data i godz. zdarzenia	Samolot	Operacja*	[dB]	[dB]	[dB]
1	01-11-2020 06:08:20	E75L	D	79,4	83,2	91,4
1	01-11-2020 06:28:31	A21N	D	79,7	83,5	90,5
1	01-11-2020 06:33:25	A21N	D	79,4	83,1	90,6
1	01-11-2020 07:03:54	A320	D	80,5	84,4	92,8
1	01-11-2020 07:27:19	A21N	D	78,3	82,4	89,1
1	01-11-2020 08:38:25	DH8D	Α	80,0	83,4	89,0
1	01-11-2020 09:12:34	A21N	А	81,9	86,8	92,3
1	01-11-2020 10:23:44	A320	Α	81,5	86,6	92,6
1	01-11-2020 10:55:59	B77W	Α	87,0	94,1	99,8
1	01-11-2020 11:09:58	B77W	Α	87,6	94,1	99,7
1	01-11-2020 11:36:41	E190	Α	79,9	87,2	93,3
1	01-11-2020 12:46:47	B789	Α	84,3	90,7	97,5
1	01-11-2020 12:54:18	E75S	A	83,3	88,4	93,3
1	01-11-2020 13:12:01	E75S	A	82,6	87,9	93,1
1	01-11-2020 13:15:32	DH8D	A	80,1	84,9	90,5
1	01-11-2020 13:19:39	DH8D	A	80,5	84,6	90,1
1	01-11-2020 13:22:13	DH8D	A	82,3	85,8	91,8
1	01-11-2020 13:25:09	DH8D	A	80,4	83,8	89,4
1	01-11-2020 13:29:23	E195	A	84,0	90,0	94,8
1	01-11-2020 13:35:34	E75S	A	82,4	88,4	93,5
1	01-11-2020 13:37:27	A21N	A	81,9	87,0	93,0
1	01-11-2020 13:39:52	E195	A	83,2	88,6	93,7
1	01-11-2020 13:51:10	E75L	A	81,5	87,5	92,9
1	01-11-2020 14:04:21	E195	A	84,0	90,0	95,1
1	01-11-2020 14:09:16	E75S	A	81,8	87,8	93,3
1	01-11-2020 14:11:34	B788	A	83,7	89,4	96,3
1	01-11-2020 14:14:29	DH8D	A	79,3	84,1	89,8
1	01-11-2020 14:17:47	A20N	A	82,1	86,8	92,8
1	01-11-2020 14:19:45	E75S	A	81,8	87,4	92,9
1	01-11-2020 14:27:02	DH8D	A	79,8	83,9	89,3
1	01-11-2020 14:30:32	E170	A	83,1	88,1	93,1
1	01-11-2020 14:36:04	B789	A	86,1	91,2	97,5
1	01-11-2020 14:54:07	E195	A	84,5	90,6	95,2
1	01-11-2020 14:59:17	E170	A	82,6	87,3	92,6
1	01-11-2020 15:06:40	E170	A	82,6	88,2	93,4
1	01-11-2020 15:13:08	A320	A	84,2	90,6	96,0
1	01-11-2020 15:56:15	E190	A	83,9	89,8	94,7
1	01-11-2020 15:58:36	CRJ9	A	81,4	85,8	91,4
1	01-11-2020 16:19:15	E190	A	82,9	88,8	94,0
1	01-11-2020 16:34:10	B789	A	85,1	91,0	97,5
1	01-11-2020 16:45:29	CRJ9	A	80,2	84,5	90,6
1	01-11-2020 17:21:09	A21N	A	83,4	89,6	94,6
1	01-11-2020 17:41:35	BCS1	A	82,1	86,5	92,1
1	01-11-2020 17:49:11	A320	A	83,5	88,6	94,3
1	01-11-2020 18:30:26	A320	A	81,7	87,5	93,5
1	01-11-2020 18:38:49	DH8D	A	80,6	85,0	90,6
1	01-11-2020 18:47:01	E75S	A	82,4	87,3	92,4
1	01-11-2020 18:52:36	E195	A	83,3	88,5	93,7
1	01-11-2020 18:55:07	DH8D	A	79,3	84,1	89,7
1	01-11-2020 18:57:03	DH8D	A	80,5	84,8	90,5
1	01-11-2020 19:01:23	C680	A	77,5	81,6	87,0
1	01-11-2020 19:05:12	E170	A	84,2	89,2	94,2
1	01-11-2020 19:08:08	B738	A	85,1	92,1	97,4
1	01-11-2020 19:22:35	E195	A	83,1	89,6	94,6
1	01-11-2020 19:35:01	DH8D	A	78,9	83,3	89,3

Nr punktu	Data i godz. zdarzenia	Samolot	Operacja*	LAeq	LAmax	LAE
pomiarowego 1	01-11-2020 20:05:06	E75S	A	[dB] 84,9	[dB] 91,1	[dB] 95,4
1	01-11-2020 20:05:06	E170	A	82,7	87,5	93,4
1	01-11-2020 20:38:51	DH8D	A	79,7	83,8	89,7
1	01-11-2020 20:46:04	E195	A	82,8	88,7	94,0
1	01-11-2020 20:58:00	A320	A	77,0	79,7	88,7
1	01-11-2020 21:01:29	E75S	A	81,6	86,9	92,4
1	01-11-2020 21:05:01	E75S	A	82,7	87,6	92,7
1	01-11-2020 21:06:45	E75S	A	83,9	89,1	94,3
1	01-11-2020 21:08:47	E75S	A	82,7	87,4	92,7
1	01-11-2020 21:10:57	A320	A	81,4	86,2	92,2
1	01-11-2020 21:12:21	E195	A	83,6	89,2	94,4
1	01-11-2020 21:14:45	E190	A	83,2	88,6	93,7
1	01-11-2020 21:16:39	E170	A	82,7	88,8	93,9
1	01-11-2020 21:20:02	E75S	A	83,5	88,2	93,0
1	01-11-2020 21:23:02	B738	Α	84,7	91,1	96,4
1	01-11-2020 21:25:39	E75S	A	82,7	88,5	93,5
1	01-11-2020 21:31:11	E190	Α	83,7	88,9	94,2
1	01-11-2020 21:33:19	E195	Α	82,8	89,8	95,1
1	01-11-2020 21:37:47	E195	A	83,7	88,4	93,7
1	01-11-2020 21:56:00	DH8D	A	79,8	83,2	88,9
1	02-11-2020 06:04:49	DH8D	Α	80,6	85,4	91,0
1	02-11-2020 06:06:42	DH8D	Α	79,6	83,9	89,6
1	02-11-2020 06:09:01	B738	Α	86,0	91,9	96,8
1	02-11-2020 06:11:17	DH8D	Α	79,4	83,6	89,4
1	02-11-2020 06:13:12	E170	Α	83,3	88,5	93,3
1	02-11-2020 06:15:26	E170	А	84,3	90,3	95,1
1	02-11-2020 06:17:39	DH8D	Α	80,6	85,3	90,6
1	02-11-2020 06:19:55	DH8D	Α	79,7	83,9	90,2
1	02-11-2020 06:21:53	DH8D	Α	79,7	84,1	90,1
1	02-11-2020 06:24:10	DH8D	Α	79,4	83,7	89,4
1	02-11-2020 08:19:56	A320	Α	83,4	89,6	95,1
1	02-11-2020 08:30:57	E75S	Α	81,7	87,2	92,5
1	02-11-2020 08:54:40	AT75	А	83,0	90,0	95,1
1	02-11-2020 09:09:40	E195	Α	80,9	88,2	93,4
1	02-11-2020 09:11:47	DH8D	Α	79,1	84,5	90,2
1	02-11-2020 09:49:32	DH8D	Α	79,2	83,9	89,6
1	02-11-2020 10:07:15	B789	Α	84,7	90,3	97,0
1	02-11-2020 10:28:37	E195	Α	83,0	89,0	93,8
1	02-11-2020 10:37:37	B77W	Α	86,9	92,8	99,2
1	02-11-2020 10:44:22	A21N	Α	80,5	86,9	92,6
1	02-11-2020 10:59:51	E75S	Α	82,4	87,7	92,8
1	02-11-2020 11:14:10	A319	A	80,7	86,1	92,4
1	02-11-2020 11:19:01	A21N	A	81,6	86,5	92,0
1	02-11-2020 11:25:47	E190	A	83,2	88,8	94,0
1	02-11-2020 11:35:42	CL30	A	80,0	85,3	90,0
1	02-11-2020 11:42:40	E170	A	81,4	88,5	93,7
1	02-11-2020 11:50:27	E75S	A	82,2	87,2	92,2
1	02-11-2020 11:52:22	E195	A	83,3	89,4	94,5
1	02-11-2020 11:58:18	E170	A	82,1	88,2	93,3
1	02-11-2020 12:02:51	E75S	A	82,0	88,2	93,8
1	02-11-2020 12:07:54	E170	A	83,0	89,6	94,1
1	02-11-2020 12:09:55	E195	A	83,7	90,4	95,2
1	02-11-2020 12:14:30	E75S	A	80,7	86,4	91,9
1	02-11-2020 12:17:54	B788	A	83,0	89,7	96,8
1	02-11-2020 12:20:25	E75S	A	80,6	87,9	92,9
1	02-11-2020 12:22:10	C295	A	86,3	93,5	98,9
1	02-11-2020 12:24:04	E75S	A	83,1	88,5	93,5
1	02-11-2020 12:29:00	E190	A	81,8	88,4	93,8
1	02-11-2020 12:32:34	CRJ9	А	80,9	86,3	92,0

Nr punktu pomiarowego	Data i godz. zdarzenia	Samolot	Operacja*	LAeq	L <sub>Amax</sub>	LAE
pormarowego 1	02-11-2020 12:42:00	E195	A	[dB] 82,4	[dB] 89,0	[dB] 94,2
1	02-11-2020 12:47:09	C295	A	84,0	89,5	93,5
1	02-11-2020 12:47:09	B788	A	82,5	89,4	96,3
1	02-11-2020 12:51:34	E195	A	83,4	89,9	94,5
1	02-11-2020 13:01:56	B788	A	83,0	90,0	96,4
1	02-11-2020 13:04:56	E195	A	83,8	89,4	94,9
1	02-11-2020 13:08:57	DH8D	A	79,3	83,8	89,7
1	02-11-2020 13:11:56	DH8D	A	80,3	84,7	90,7
1	02-11-2020 13:17:15	DH8D	A	79,6	84,5	90,4
1	02-11-2020 13:26:33	E75S	A	83,8	89,2	93,8
1	02-11-2020 13:28:24	E195	A	82,8	87,9	93,3
1	02-11-2020 13:35:52	DH8D	Α	80,7	84,6	90,2
1	02-11-2020 13:40:30	W3	Α	83,4	91,1	96,4
1	02-11-2020 13:46:45	C25A	Α	79,3	85,4	92,9
1	02-11-2020 13:52:52	E75S	Α	83,6	88,8	94,0
1	02-11-2020 14:09:06	DH8D	Α	78,1	83,4	89,3
1	02-11-2020 14:13:27	B738	А	81,1	88,7	94,1
1	02-11-2020 14:22:24	E55P	А	80,6	86,5	90,6
1	02-11-2020 14:32:31	E75S	А	84,6	90,5	95,7
1	02-11-2020 14:42:37	E75S	А	81,9	88,4	93,7
1	02-11-2020 14:50:47	E170	Α	81,7	87,2	92,5
1	02-11-2020 15:05:55	A319	А	82,3	88,4	93,8
1	02-11-2020 15:24:19	P180	Α	87,1	94,3	100,7
1	02-11-2020 16:02:37	E190	Α	83,1	89,0	93,9
1	02-11-2020 16:31:01	A332	Α	84,6	92,5	98,0
1	02-11-2020 16:34:13	C295	Α	85,8	92,5	98,3
1	02-11-2020 17:02:26	A319	Α	82,8	88,7	94,8
1	02-11-2020 17:05:23	CRJ9	Α	80,4	84,6	90,8
1	02-11-2020 17:07:21	A21N	Α	83,3	89,7	94,5
1	02-11-2020 17:33:53	B738	Α	82,0	87,6	93,2
1	02-11-2020 18:16:49	A319	Α	81,1	86,8	93,4
1	02-11-2020 18:18:38	E195	Α	83,3	89,3	94,4
1	02-11-2020 18:38:06	DH8D	Α	79,8	84,1	89,8
1	02-11-2020 18:39:39	E75S	Α	82,1	87,4	92,5
1	02-11-2020 18:40:59	DH8D	Α	79,7	84,2	90,1
1	02-11-2020 18:42:42	E170	Α	82,1	86,9	92,6
1	02-11-2020 18:44:32	E75S	Α	81,3	86,6	91,7
1	02-11-2020 18:45:53	DH8D	Α	79,5	83,8	89,5
1	02-11-2020 18:47:41	E75S	Α	81,4	88,4	93,7
1	02-11-2020 18:49:32	DH8D	A	79,6	84,5	90,0
1	02-11-2020 18:51:47	DH8D	A	79,1	83,3	89,1
1	02-11-2020 18:53:32	DH8D	A	80,3	84,0	89,9
1	02-11-2020 18:59:22	E190	A	82,6	87,8	93,4
1	02-11-2020 19:10:34	E75S	A	83,0	88,0	93,4
1	02-11-2020 19:12:16	E75S	Α Δ	80,2	87,7	93,2
1	02-11-2020 19:14:09 02-11-2020 19:15:39	E170 AT75	A	83,2	89,3 87,5	93,7
1	02-11-2020 19:15:39	E195	A	79,3 83,0	89,4	93,1 94,8
1	02-11-2020 19:19:04	E75S	A	82,7	87,6	94,8
1	02-11-2020 19:28:09	E195	A	82,5	88,8	94,0
1	02-11-2020 19:44:32	E170	A	81,8	88,4	93,2
1	02-11-2020 19.51.58	B738	A	84,3	90,4	95,2
1	02-11-2020 20:17:53	DH8D	A	79,2	83,8	89,2
1	02-11-2020 20:37:33	E75S	A	81,4	86,7	91,8
1	02-11-2020 20:49:31	E170	A	81,7	87,0	92,1
1	02-11-2020 20:59:58	E75S	A	80,5	86,9	92,2
1	02-11-2020 21:02:38	E195	A	82,1	87,3	92,5
1	02-11-2020 21:10:11	E75S	A	82,0	87,8	92,8
1	02-11-2020 21:21:06	E195	A	83,3	89,5	94,4
			,	- 3,0	1 23,0	, -

Nr punktu	Data i godz. zdarzenia	Samolot	Operacja*	LAeq	L <sub>Amax</sub>	LAE
pomiarowego 1	02-11-2020 21:26:00	D720	A	[dB]	[dB]	[dB]
		B738		82,9	88,9	94,3
1	02-11-2020 21:42:08 02-11-2020 21:50:28	CL30 DH8D	A A	79,0 79,5	83,7	88,5 91,2
1	03-11-2020 21.50.28	E75L		•	84,9	
1		A321	D D	77,3	80,6	90,1
1	03-11-2020 06:23:28 03-11-2020 06:35:36	A321 A21N	D	81,7 75,7	85,7 78,2	94,5 88,5
1		_		•	· · · · · · · · · · · · · · · · · · ·	
1	03-11-2020 06:59:59	A319	D D	77,2	80,6	91,0
1	03-11-2020 07:18:39 03-11-2020 07:27:50	AT75 DH8D	D	73,5	74,8	83,1 82,8
1	03-11-2020 07:27:30	E75S	D	72,4	74,4 81,0	90,3
1	03-11-2020 07:37:01	E195	D	77,3 78,4	83,3	90,3
1	03-11-2020 07:37:01	E75S	D	77,2	81,6	90,3
1	03-11-2020 07:38:50	E75S	D	•	80,1	
1	03-11-2020 07:40:32	E75S	D	76,7 77,8	81,8	90,0 90,3
1	03-11-2020 07:42:46	E170	D	78,8	83,3	92,4
1	03-11-2020 07:44:20	E195	D	79,6		93,8
1		E193	D		86,2	
1	03-11-2020 07:47:16 03-11-2020 07:52:31	E170	D	79,4 78,3	83,6 82,4	92,4 91,3
1	03-11-2020 07:52:31	E775	D	•		91,3
1	03-11-2020 08:00:17	E75S	D	78,4 77,9	82,6 82.0	92,0
1	03-11-2020 08:01:39	E75S	D	77,9	82,0 84,2	91,5
1					· · · · · · · · · · · · · · · · · · ·	· ·
1	03-11-2020 08:10:43 03-11-2020 08:32:59	E75S CL30	D D	79,2 75,5	83,2 78,7	92,2 88,5
1	03-11-2020 08:41:55	A320	D	80,2	84,7	93,3
1	03-11-2020 09:02:05	PA34	D	73,7	75,6	· ·
1	03-11-2020 09:02:03	E170	D	77,9	82,0	84,1 91,9
1	03-11-2020 09:54:19	C25A	D	79,4	83,7	92,7
1	03-11-2020 10:39:39	DH8D	D	71,1	72,1	80,1
1	03-11-2020 10:39:39	SF34	D	74,0	76,0	83,5
1	03-11-2020 10:50:32	DH8D	D	74,0	74,6	81,9
1	03-11-2020 10:58:06	E190	D	80,3	84,5	92,6
1	03-11-2020 11:14:27	E75S	D	77,0	80,8	90,0
1	03-11-2020 11:57:22	A21N	D	78,1	82,6	90,2
1	03-11-2020 12:22:48	A21N	D	79,1	84,4	91,4
1	03-11-2020 12:46:30	E75L	D	75,7	79,2	89,0
1	03-11-2020 12:52:19	A319	D	77,4	82,0	91,0
1	03-11-2020 13:22:06	C550	D	76,0	78,5	86,4
1	03-11-2020 13:27:48	E170	D	79,1	85,5	94,3
1	03-11-2020 13:59:21	A21N	D	79,6	83,9	91,3
1	03-11-2020 15:06:38	E75L	D	77,8	81,4	91,2
1	03-11-2020 15:11:28	AT75	D	72,1	73,5	82,1
1	03-11-2020 15:13:55	DH8D	D	70,3	70,9	79,3
1	03-11-2020 15:40:07	E75S	D	80,4	85,4	94,0
1	03-11-2020 15:45:25	E170	D	79,2	85,3	93,5
1	03-11-2020 15:48:33	C56X	D	71,5	74,7	85,3
1	03-11-2020 15:50:03	E75S	D	77,1	80,2	90,3
1	03-11-2020 15:51:25	DH8D	D	70,7	72,2	81,1
1	03-11-2020 15:53:00	E195	D	79,3	83,7	92,7
1	03-11-2020 15:54:54	E75S	D	77,9	83,1	92,7
1	03-11-2020 15:57:19	E195	D	78,5	83,5	92,1
1	03-11-2020 16:02:36	E75S	D	78,5	82,8	92,3
1	03-11-2020 16:13:59	E75S	D	79,9	84,0	93,3
1	03-11-2020 16:28:02	E55P	D	75,1	78,0	87,9
1	03-11-2020 16:29:28	E170	D	77,4	81,3	91,7
1	03-11-2020 16:35:10	DH8D	D	72,4	73,4	81,9
1	03-11-2020 16:38:15	E75S	D	79,3	83,8	93,1
1	03-11-2020 16:42:33	DH8D	D	72,3	73,4	81,8
1	03-11-2020 16:48:36	CRJ9	D	77,6	81,4	90,3
1	03-11-2020 16:53:48	E75S	D	78,4	82,7	91,8
		<u>,</u>	1	-,-	<u> </u>	

Nr punktu	Data i godz. zdarzenia	Samolot	Operacja*	LAeq	L <sub>Amax</sub>	LAE
pomiarowego				[dB]	[dB]	[dB]
1	03-11-2020 17:34:46	E190	D	78,6	83,1	91,2
1	03-11-2020 17:54:49	A21N	D	78,1	84,0	91,5
1	03-11-2020 17:57:48	GA5C	D	75,5	77,5	84,6
1	03-11-2020 18:05:32	E170	D	80,6	84,6	93,4
1	03-11-2020 18:35:15	A21N C295	D	79,9	84,9	92,0
1	03-11-2020 18:49:26		D	74,5	76,5	83,5
1	03-11-2020 18:54:16 03-11-2020 19:39:38	M28 A320	D D	71,4	72,9	82,8 91,6
1	03-11-2020 19:59:38	C25A	D	78,2 77,7	81,6 83,9	93,0
1	03-11-2020 19:55:18	AT72	D	75,3	77,7	84,8
1	03-11-2020 21:00:24	B763	D	81,5	86,2	94,8
1	03-11-2020 21:36:01	E75S	D	81,8	86,5	94,8
1	03-11-2020 21:38:32	B734	D	80,4	85,6	93,8
1	04-11-2020 06:13:07	C25A	D	78,9	83,0	92,2
1	04-11-2020 06:15:26	E190	D	79,3	84,2	92,3
1	04-11-2020 06:22:21	A320	D	79,9	85,2	93,8
1	04-11-2020 06:24:44	A21N	D	78,0	83,3	90,7
1	04-11-2020 06:24:44	B738	D	76,6	80,1	89,9
1	04-11-2020 06:58:35	DH8D	D	72,2	73,7	84,0
1	04-11-2020 07:01:47	A20N	D	77,7	82,2	90,0
1	04-11-2020 07:14:40	B734	D	77,6	82,9	91,2
1	04-11-2020 07:16:38	AT75	D	73,3	76,1	85,6
1	04-11-2020 07:19:20	DH8D	D	72,8	74,9	84,5
1	04-11-2020 07:27:44	E75S	D	76,9	82,0	92,5
1	04-11-2020 07:32:25	E190	D	78,0	82,5	91,2
1	04-11-2020 07:34:46	E75S	D	77,9	82,8	91,8
1	04-11-2020 07:38:45	E170	D	79,3	84,2	93,0
1	04-11-2020 08:52:23	A321	D	80,3	84,4	94,1
1	04-11-2020 08:56:01	C680	D	74,9	77,9	86,9
1	04-11-2020 09:54:04	E170	D	79,0	83,2	92,4
1	04-11-2020 09:57:45	B738	D	78,2	82,3	91,6
1	04-11-2020 10:09:32	E75S	D	77,4	80,9	90,2
1	04-11-2020 10:20:02	P180	D	78,1	84,2	93,2
1	04-11-2020 10:24:55	E170	D	78,8	83,0	92,2
1	04-11-2020 10:27:11	E195	D	74,9	80,5	90,4
1	04-11-2020 10:29:00	E75S	D	77,8	82,9	91,9
1	04-11-2020 10:33:28	DH8D	D	71,0	72,1	82,4
1	04-11-2020 10:37:08	E170	D	75,4	80,2	89,6
1	04-11-2020 10:40:23	E75S	D	78,5	82,1	92,0
1	04-11-2020 10:46:13	E75S	D	77,8	81,4	91,7
1	04-11-2020 10:48:45	DH8D	D	70,9	72,6	83,7
1	04-11-2020 10:59:25	E195	D	81,0	85,6	94,2
1	04-11-2020 11:02:36	E195	D	78,0	82,1	90,8
1	04-11-2020 11:04:10	DH8D	D	71,7	74,0	84,5
1	04-11-2020 11:06:26	E75S	D	79,5	84,5	93,3
1	04-11-2020 11:10:37	E195	D	78,8	83,3	91,6
1	04-11-2020 11:22:58	A21N	D	77,1	81,1	89,7
1	04-11-2020 11:30:47	H25B	D	82,8	91,7	96,6
1	04-11-2020 11:47:56	B738	D	79,4	84,1	92,2
1	04-11-2020 12:07:49	DH8D	D	71,3	72,2	80,3
1	04-11-2020 12:18:59	DH8D	D	71,7	73,8	84,0
1	04-11-2020 12:21:23	B763	D	76,7	80,9	91,9
1	04-11-2020 12:45:41	E75L	D	75,8	79,7	89,4
1	04-11-2020 12:49:00	A320	D	78,8	82,3	92,0
1	04-11-2020 13:11:03	B77W	D	83,2	88,6	96,2
1	04-11-2020 13:28:23	CRJ9	D	75,2	77,5	89,6
1	04-11-2020 15:21:38	B735	D	78,1	82,3	91,1
1	04-11-2020 16:20:07	E195	D	80,7	85,6	94,5
1	04-11-2020 16:26:27	DH8D	D	72,3	73,6	81,9

Nr punktu				L <sub>Aeq</sub>	L <sub>Amax</sub>	L <sub>AE</sub>
pomiarowego	Data i godz. zdarzenia	Samolot	Operacja*	[dB]	[dB]	[dB]
1	04-11-2020 16:28:12	A320	D	77,9	81,7	90,9
1	04-11-2020 16:31:09	DH8D	D	71,3	72,7	82,1
1	04-11-2020 16:32:59	DH8D	D	71,5	72,5	82,6
1	04-11-2020 16:34:32	E75S	D	78,2	82,2	92,4
1	04-11-2020 16:35:58	E75S	D	77,3	81,8	92,2
1	04-11-2020 16:45:59	E170	D	80,7	85,6	94,1
1	04-11-2020 16:52:21	E170	D	79,2	84,4	93,2
1	04-11-2020 16:55:54	E75S	D	80,4	85,0	94,0
1	04-11-2020 16:57:40	E75S	D	78,5	82,5	92,5
1	04-11-2020 17:01:33	E195	D	77,5	83,6	92,1
1	04-11-2020 17:04:39	E75S	D	78,6	82,9	92,0
1	04-11-2020 17:12:16	E190	D	75,6	79,4	89,8
1	04-11-2020 17:14:06	E170	D	78,8	83,4	93,0
1	04-11-2020 17:15:50	E75S	D	75,8	80,2	89,9
1	04-11-2020 17:17:47	E190	D	77,5	82,0	90,7
1	04-11-2020 17:19:48	E170	D	76,0	80,0	90,0
1	04-11-2020 17:21:41	E75S	D	78,1	82,0	91,3
1	04-11-2020 17:34:17	A21N	D	79,0	83,9	91,3
1	04-11-2020 17:35:50	E75S	D	78,6	82,4	92,2
1	04-11-2020 17:55:39	CRJ9	D	73,9	76,5	87,7
1	04-11-2020 19:10:13	A319	D	79,6	82,8	93,2
1	04-11-2020 19:48:11	A21N	D	75,8	80,1	89,0
1	04-11-2020 20:22:00	AT75	D	74,6	78,3	85,4
1	04-11-2020 21:16:55	AT72	D	72,5	74,1	82,1
1	04-11-2020 21:31:46	B763	D	77,4	80,8	91,8
1	04-11-2020 21:44:49	B734	D	78,1	82,8	91,9
1	05-11-2020 06:13:55	E75L	D	77,7	82,6	91,5
1	05-11-2020 06:54:04	DH8D	D	72,0	73,7	81,6
1	05-11-2020 06:58:54	A20N	D	76,9	82,3	89,9
1	05-11-2020 07:04:52	A320	D	78,2	82,5	91,2
1	05-11-2020 07:20:33	AT75	D	75,5	77,5	86,3
1	05-11-2020 07:23:19	E170	D	77,8	81,9	91,0
1	05-11-2020 07:25:35	E170	D	79,5	84,4	93,3
1	05-11-2020 07:29:43	DH8D	D	73,1	75,4	82,7
1	05-11-2020 07:31:18	B734	D	76,3	81,1	90,6
1	05-11-2020 07:33:09	E75S	D	79,6	84,6	93,4
1	05-11-2020 07:37:40	E75S	D	77,2	81,9	90,6
1	05-11-2020 07:39:07 05-11-2020 07:40:43	E195 E75S	D D	78,9 77,7	83,3 81,3	91,9 91,9
1	05-11-2020 07:40:43	E170	D	78,0	81,7	91,9
1	05-11-2020 07:53:29	E75S	D	79,0	83,3	92,5
1	05-11-2020 07:53:29	E75S	D	78,7	83,8	93,6
1	05-11-2020 07:56:43	E75S	D	77,2	81,0	90,8
1	05-11-2020 07:30:43	E170	D	75,3	79,1	89,2
1	05-11-2020 08:09:45	C560	D	76,7	80,0	88,7
1	05-11-2020 08:22:01	E75S	D	76,7	80,4	89,5
1	05-11-2020 08:31:56	E75S	D	76,7	80,4	90,3
1	05-11-2020 08:43:03	A320	D	79,8	83,0	92,6
1	05-11-2020 09:24:45	E170	D	76,2	80,0	89,8
1	05-11-2020 09:55:52	B738	D	76,9	79,8	90,9
1	05-11-2020 10:40:34	DH8D	D	70,9	71,8	80,0
1	05-11-2020 10:41:54	C295	D	71,5	74,4	83,6
1	05-11-2020 12:31:26	A21N	D	76,8	81,0	89,6
1	05-11-2020 13:17:42	E190	D	75,4	81,0	89,9
1	05-11-2020 13:29:21	E170	D	78,1	83,3	92,6
1	05-11-2020 14:58:29	P180	D	78,5	83,6	93,1
1	05-11-2020 15:00:10	E75S	D	77,4	81,0	90,6
1	05-11-2020 15:06:25	E170	D	79,3	84,6	93,1
1	05-11-2020 15:09:28	C25B	D	75,1	79,3	88,1

Nr punktu				L <sub>Aeq</sub>	L <sub>Amax</sub>	LAE
pomiarowego	Data i godz. zdarzenia	Samolot	Operacja*	[dB]	[dB]	[dB]
1	05-11-2020 15:28:11	AT75	D	72,0	73,1	82,0
1	05-11-2020 15:37:12	E75S	D	77,8	81,9	91,6
1	05-11-2020 15:44:13	E75S	D	79,2	83,5	92,4
1	05-11-2020 15:49:14	E195	D	78,3	82,9	91,7
1	05-11-2020 15:51:27	E75S	D	79,8	84,8	94,3
1	05-11-2020 15:53:20	E170	D	77,7	83,8	93,1
1	05-11-2020 15:54:46	E170	D	78,2	84,7	93,1
1	05-11-2020 15:57:36	E195	D	78,3	84,4	92,4
1	05-11-2020 16:20:08	E75S	D	78,0	82,8	92,8
1	05-11-2020 16:23:53	E75S	D	77,6	81,8	91,7
1	05-11-2020 16:31:41	DH8D	D	71,0	72,9	81,8
1	05-11-2020 16:32:57	DH8D	D	72,2	73,9	82,6
1	05-11-2020 16:37:13	DH8D	D	74,2	76,8	85,0
1	05-11-2020 16:39:47	DH8D	D	71,8	73,3	81,4
1	05-11-2020 16:45:22	E75S	D	79,3	83,3	92,3
1	05-11-2020 16:48:38	CRJ9	D	75,3	78,5	88,7
1	05-11-2020 16:50:12	E75S	D	78,1	81,7	91,5
1	05-11-2020 16:53:04	B77W	D	79,7	86,1	94,5
1	05-11-2020 17:25:47	E170	D	77,9	83,5	92,2
1	05-11-2020 17:34:44	A21N	D	77,8	82,4	90,4
1	05-11-2020 17:46:19	C525	D	77,9	80,9	89,6
1	05-11-2020 18:03:34	E170	D	78,2	82,9	91,8
1	05-11-2020 21:01:44	B734	D	81,8	86,6	95,1
1	05-11-2020 21:03:44	AT72	D	74,0	76,4	83,5
1	05-11-2020 21:22:49	B763	D	77,1	80,2	91,6
1	05-11-2020 21:28:09	E75S	D	78,1	83,3	92,7
1	05-11-2020 21:39:53	B734	D	78,3	82,0	91,5
1	06-11-2020 06:12:54	E75L	D	76,2	81,2	90,7
1	06-11-2020 06:25:40	A320	D	76,1	79,6	88,4
1	06-11-2020 07:07:00	DH8D	D	72,5	79,6	85,1
1	06-11-2020 07:09:19	A20N	D	74,7	77,7	85,8
1	06-11-2020 07:28:15	E170	D	75,4	78,7	90,3
1	06-11-2020 07:34:00	AT75	D	70,8	71,7	80,4
1	06-11-2020 07:36:38	B738	D	73,5	79,0	87,9
1	06-11-2020 09:06:07	SF34	D	74,8	77,2	83,9
1	06-11-2020 09:28:35	E190	D	76,2	80,7	90,0
1	06-11-2020 09:51:24	E170	D	75,4	79,3	89,0
1	06-11-2020 09:56:42	DH8D	D	72,6	75,2	84,3
1	06-11-2020 10:13:23	GLF6	D	72,8	74,9	84,3
1	06-11-2020 10:22:00	E75S	D	76,6	80,8	90,0
1	06-11-2020 10:23:29 06-11-2020 10:28:50	E170 E170	D D	74,6 77,7	78,2 81,7	87,4 90,9
1	06-11-2020 10:32:13	E75S	D	75,4	78,2	88,6
1	06-11-2020 10:32:13	E75S	D	74,2	77,7	88,2
1	06-11-2020 10:47:10	E195	D	79,1	83,7	91,6
1	06-11-2020 10:47:10	E195	D	75,0	79,2	89,3
1	06-11-2020 11:08:02	E195	D	76,3	80,7	90,1
1	06-11-2020 11:22:07	A21N	D	77,9	81,9	89,3
1	06-11-2020 11:37:53	E75S	D	75,0	78,8	90,2
1	06-11-2020 12:20:16	C25M	D	73,0	76,0	84,5
1	06-11-2020 12:45:52	E75S	D	75,3	78,7	87,9
1	06-11-2020 12:51:41	E75L	D	75,8	81,2	91,1
1	06-11-2020 13:01:16	BCS1	D	70,9	71,9	79,9
1	06-11-2020 13:21:04	E75S	D	78,8	82,7	92,6
1	06-11-2020 13:31:25	A319	D	74,1	77,0	87,9
1	06-11-2020 14:39:36	PRM1	D	71,0	72,9	81,8
1	06-11-2020 15:14:40	E195	D	78,2	83,0	91,6
1	06-11-2020 15:46:31	A319	D	79,9	83,9	92,9
1	06-11-2020 15:53:52	E170	D	78,0	84,6	93,6
ı .		1	1	· · · · · · · · · · · · · · · · · · ·		· · · · · · · · · · · · · · · · · · ·

Nr punktu				L <sub>Aeq</sub>	L <sub>Amax</sub>	L <sub>AE</sub>
pomiarowego	Data i godz. zdarzenia	Samolot	Operacja*	[dB]	[dB]	[dB]
1	06-11-2020 15:55:33	A21N	D	77,4	81,6	89,9
1	06-11-2020 16:20:04	A319	D	73,7	76,7	87,1
1	06-11-2020 16:29:10	DH8D	D	72,9	75,0	81,9
1	06-11-2020 16:31:01	DH8D	D	71,2	73,1	82,4
1	06-11-2020 16:33:23	E195	D	78,5	83,1	91,7
1	06-11-2020 16:39:25	E75S	D	78,3	82,5	91,6
1	06-11-2020 16:46:03	E75S	D	79,1	83,6	92,2
1	06-11-2020 16:49:03	E195	D	77,9	82,3	90,7
1	06-11-2020 16:56:40	E75S	D	77,6	80,8	91,0
1	06-11-2020 16:58:06	E190	D	74,8	78,5	88,5
1	06-11-2020 17:01:13	E75S	D	79,2	85,1	93,2
1	06-11-2020 17:03:03	B738	D	77,5	80,7	90,8
1	06-11-2020 17:07:04	E170	D	76,8	81,3	90,6
1	06-11-2020 17:12:14	E75S	D	78,8	83,0	92,1
1	06-11-2020 17:15:50	E75S	D	78,2	82,8	91,6
1	06-11-2020 17:19:19	E75S	D	76,9	80,8	90,4
1	06-11-2020 17:20:56	E190	D	76,2	79,8	89,8
1	06-11-2020 17:25:27	E190	D	77,5	82,9	91,1
1	06-11-2020 17:28:12	E170	D	75,7	80,0	89,5
1	06-11-2020 17:35:06	A320	D	77,8	83,4	91,2
1	06-11-2020 17:41:11	E75S	D	77,4	82,8	92,0
1	06-11-2020 18:02:43	CRJ9	D	70,8	73,1	81,2
1	06-11-2020 19:05:49	B738	D	76,2	79,6	89,0
1	06-11-2020 19:50:44	A333	D	81,4	86,0	95,1
1	06-11-2020 21:09:36	A321	D	82,5	87,4	95,5
1	06-11-2020 21:14:24	B763	D	78,3	81,4	91,5
1	06-11-2020 21:46:36	B738	D	76,5	80,1	89,5
1	07-11-2020 06:04:16	A21N	D	78,5	82,9	90,5
1	07-11-2020 06:10:49	E75L	D	79,1	84,0	93,3
1	07-11-2020 06:18:03	A320	D	81,7	85,5	94,0
1	07-11-2020 06:43:47	A21N	D	81,1	85,9	92,9
1	07-11-2020 07:13:50	A20N	D	77,9	81,4	89,9
1	07-11-2020 07:20:54	B738	D	84,6	90,5	98,0
1	07-11-2020 07:28:04	E190	D	78,0	84,5	92,9
1	07-11-2020 07:29:47	B738	D	83,4	88,5	95,9
1	07-11-2020 07:31:17	E170	D	79,5	84,4	92,7
1	07-11-2020 07:33:47	E170	D	78,6	82,6	91,8
1	07-11-2020 07:37:29	E195	D	78,7	82,6	92,5
1	07-11-2020 07:41:08	E75S	D	78,7	82,4	92,2
1	07-11-2020 07:42:45	E170	D	79,7	84,5	92,9
1	07-11-2020 07:49:20	E170	D	80,9	86,2	94,3
1	07-11-2020 07:51:36	E195	D	80,5	86,0	93,1
1	07-11-2020 07:53:52	E75S	D	80,1	84,4	92,9
1	07-11-2020 08:07:00	E75S	D	79,0	83,7	93,0
1	07-11-2020 08:17:35	E75S	D	79,6	84,5	93,0
1	07-11-2020 08:36:59	A320	D	80,2	84,6	93,2
1	07-11-2020 08:46:05	E75S	D	77,9	82,4	91,9
1	07-11-2020 09:31:58	A320	A	81,8	88,0	93,6
1	07-11-2020 10:34:54	DH8D	D	72,5	73,8	84,3
1	07-11-2020 12:02:34	B738	D	85,2	91,2	97,9
1	07-11-2020 12:06:50	DH8D	D	71,9	73,3	80,9
1	07-11-2020 12:27:28	A21N	D	78,8	83,3	90,9
1	07-11-2020 12:37:45	DH8D	D D	71,7	73,1	83,2
1	07-11-2020 12:44:45 07-11-2020 12:53:45	B737 CL35	D	78,8 75.4	84,5 78.3	92,9
			-	75,4	78,3	86,2
1	07-11-2020 13:26:45	A319	D	78,6	81,7	91,1
1	07-11-2020 15:03:51	E75L	D	77,4	81,9 86.5	91,0
1	07-11-2020 15:09:11	E170	D	81,2	86,5	94,2
	07-11-2020 15:25:48	C500	D	75,6	79,9	87,7

Nr punktu		Τ		L <sub>Aeq</sub>	L <sub>Amax</sub>	LAE
pomiarowego	Data i godz. zdarzenia	Samolot	Operacja*	[dB]	[dB]	[dB]
1	07-11-2020 15:28:27	E75S	D	80,4	85,5	93,4
1	07-11-2020 15:42:06	E75S	D	80,4	86,0	93,6
1	07-11-2020 15:44:53	E75S	D	81,0	85,6	93,8
1	07-11-2020 15:46:58	E75S	D	80,9	85,8	94,1
1	07-11-2020 15:48:58	E170	D	81,1	87,0	94,5
1	07-11-2020 15:51:49	E170	D	81,0	86,2	93,8
1	07-11-2020 15:53:38	E75S	D	80,9	85,7	94,1
1	07-11-2020 16:05:17	E170	D	80,5	85,2	93,2
1	07-11-2020 16:12:38	E75S	D	79,7	85,8	93,1
1	07-11-2020 16:23:16	E75S	D	81,6	86,6	94,4
1	07-11-2020 16:29:47	DH8D	D	72,6	74,0	81,6
1	07-11-2020 16:37:18	DH8D	D	72,9	74,6	81,9
1	07-11-2020 16:39:38	A21N	D	79,8	85,1	91,6
1	07-11-2020 16:41:17	E75S	D	80,4	85,5	93,8
1	07-11-2020 17:57:36	C295	Α	81,8	88,6	93,6
1	07-11-2020 18:03:19	E75S	Α	81,5	86,9	92,3
1	07-11-2020 18:05:49	A320	А	82,1	87,4	93,5
1	07-11-2020 18:30:52	E170	Α	82,3	87,6	92,7
1	07-11-2020 18:33:41	E75S	А	82,3	87,8	92,7
1	07-11-2020 18:37:15	DH8D	Α	79,9	85,0	90,3
1	07-11-2020 18:40:09	E75S	Α	81,4	86,9	91,8
1	07-11-2020 18:42:12	DH8D	А	81,0	85,2	91,0
1	07-11-2020 18:45:34	E75S	Α	82,2	87,1	92,2
1	07-11-2020 18:50:50	DH8D	Α	80,0	83,9	89,1
1	07-11-2020 18:53:23	DH8D	Α	78,7	83,6	89,2
1	07-11-2020 18:57:04	E170	Α	81,6	87,4	92,7
1	07-11-2020 19:08:49	E75S	Α	81,5	86,2	91,5
1	07-11-2020 19:12:22	E75S	Α	83,2	88,2	92,8
1	07-11-2020 19:22:23	B738	Α	85,4	93,2	97,9
1	07-11-2020 19:25:39	E75S	A	81,7	88,2	93,2
1	07-11-2020 19:56:37	E170	A	84,0	88,4	93,5
1	07-11-2020 20:01:29	E75S	A	83,1	87,5	92,7
1	08-11-2020 07:01:23	A320	D	76,8	80,0	89,3
1	08-11-2020 07:06:13	A319	D	80,3	84,8	93,3
1	08-11-2020 07:10:46	A321	D	82,9	87,7	95,7
1	08-11-2020 08:30:14	C295	D	78,7	82,5	88,7
1	08-11-2020 09:21:36	E75S	D	80,5	85,3	93,5
1	08-11-2020 10:18:18	A21N	D	80,4	85,9	92,9
1	08-11-2020 10:26:13	E170	D	77,8	82,2	91,2
1	08-11-2020 10:29:26	E170	D	77,7	81,8	91,1
1	08-11-2020 10:31:16 08-11-2020 10:39:37	E170 E195	D D	80,1 79,3	85,1 85,6	93,3 93,3
1	08-11-2020 10:39:37	DH8D	D	79,3	85,6 72,7	80,8
1	08-11-2020 10:43:57	E75S	D	71,8	84,3	92,9
1	08-11-2020 10:39:14	E195	D	77,6	82,3	92,9
1	08-11-2020 11:22:19	DH8D	D	72,0	73,8	82,4
1	08-11-2020 11:33:12	E75S	D	78,6	83,0	92,1
1	08-11-2020 12:17:25	E75S	D	76,0	80,1	90,1
1	08-11-2020 12:40:29	A321	D	83,0	87,6	95,8
1	08-11-2020 13:06:12	B77W	D	84,7	90,4	97,2
1	08-11-2020 13:23:16	E195	D	81,5	87,8	94,9
1	08-11-2020 13:27:26	B789	D	79,1	84,3	91,4
1	08-11-2020 13:58:24	CL30	D	77,3	81,1	89,3
1	08-11-2020 15:08:33	B735	D	77,2	81,8	89,8
1	08-11-2020 15:52:01	E195	D	82,9	88,6	94,9
1	08-11-2020 16:13:33	E190	D	82,0	87,7	94,3
1	08-11-2020 16:15:18	A319	D	77,5	80,9	90,5
1	08-11-2020 16:28:58	DH8D	D	71,2	72,5	80,7
1	08-11-2020 16:32:34	E170	D	78,0	81,8	90,8
•				-,-	,-	,-

Nr punktu	Defection I have a to	0	0	L <sub>Aeq</sub>	L <sub>Amax</sub>	LAE
pomiarowego	Data i godz. zdarzenia	Samolot	Operacja*	[dB]	[dB]	[dB]
1	08-11-2020 16:35:14	E75S	D	77,7	81,5	90,7
1	08-11-2020 16:40:26	E190	D	79,8	84,8	92,6
1	08-11-2020 16:43:58	E195	D	80,7	86,1	93,3
1	08-11-2020 16:48:07	E190	D	79,0	83,8	91,3
1	08-11-2020 16:50:03	CRJ9	D	78,5	83,0	90,8
1	08-11-2020 16:52:10	E170	D	80,4	84,8	93,4
1	08-11-2020 16:57:24	E195	D	79,8	84,4	92,1
1	08-11-2020 16:59:28	E75S	D	81,7	86,6	95,1
1	08-11-2020 17:00:52	E75S	D	78,8	83,9	92,6
1	08-11-2020 17:03:57	B738	D	85,0	89,6	97,0
1	08-11-2020 17:07:13	E75S	D	80,5	85,3	93,5
1	08-11-2020 17:10:22	E75S	D	78,9	83,4	92,1
1	08-11-2020 17:12:06	E170	D	79,4	83,0	92,0
1	08-11-2020 17:13:35	E75S	D	79,8	84,1	92,8
1	08-11-2020 17:17:03	E75S	D	78,9	83,9	91,9
1	08-11-2020 17:21:05	E75S	D	78,4	83,3	92,1
1	08-11-2020 17:35:29	E75S	D	79,7	84,6	93,3
1	08-11-2020 17:40:47	CRJ9	D	73,1	75,3	83,1
1	08-11-2020 17:58:04	C295	D	75,1	77,6	84,1
1	08-11-2020 18:03:00	A320	D	81,9	86,2	94,2
1	08-11-2020 18:08:37	DH8D	D	73,8	75,1	82,8
1	08-11-2020 18:39:08	A320	D	81,8	86,4	94,8
1	08-11-2020 18:51:37	BCS1	D	74,3	76,5	84,3
1	08-11-2020 19:49:07	DH8D	Α	80,8	85,1	90,4
1	08-11-2020 20:29:31	C680	D	76,2	78,9	87,0
1	08-11-2020 20:43:51	DH8D	Α	80,1	84,7	90,1
1	08-11-2020 20:47:20	E75S	Α	81,6	85,9	91,6
1	08-11-2020 20:52:06	E75S	A	81,6	86,4	91,6
1	08-11-2020 20:53:58	E75S	A	81,9	86,7	91,9
1	08-11-2020 20:58:11	A321	A	81,8	86,6	92,5
1	08-11-2020 21:04:42	B738	A	84,9	91,0	96,0
1	08-11-2020 21:06:23	E190	A	81,2	88,8	94,2
1	08-11-2020 21:08:59	E170	A	81,9	86,9	91,9
1	08-11-2020 21:11:12	E75S	A	82,6	87,2	92,2
1	08-11-2020 21:12:44 08-11-2020 21:16:38	E170 E195	Α	83,1 83,6	88,3 88,7	93,1 93,6
1		E75S	Α	82,3	· ·	
1	08-11-2020 21:18:23 08-11-2020 21:21:00	E75S	A A	82,6	87,2 87,9	92,3 93,0
1	08-11-2020 21:21:00	E75S	A	83,0	87,8	93,0
1	08-11-2020 21:25:13	E195	A	83,2	88,2	93,0
1	08-11-2020 21:37:09	E195	A	83,1	88,6	93,9
1	08-11-2020 21:58:37	DH8D	A	79,4	83,2	88,9
1	09-11-2020 06:09:06	DH8D	A	79,5	84,1	89,5
1	09-11-2020 06:09:00	DH8D	A	79,5	84,6	89,9
1	09-11-2020 06:14:09	DH8D	A	79,0	83,6	89,5
1	09-11-2020 06:17:52	E170	A	82,6	88,1	93,1
1	09-11-2020 06:19:51	DH8D	A	79,6	83,9	89,6
1	09-11-2020 06:21:51	DH8D	A	79,3	83,1	88,8
1	09-11-2020 06:23:45	B734	A	85,6	92,6	97,1
1	09-11-2020 06:25:52	DH8D	A	77,6	84,1	90,2
1	09-11-2020 06:28:04	DH8D	A	78,8	83,6	89,2
1	09-11-2020 06:32:40	E170	A	80,6	87,5	92,9
1	09-11-2020 07:54:37	A320	A	81,3	89,9	95,5
1	09-11-2020 08:30:39	B738	А	83,3	90,0	95,6
1	09-11-2020 08:40:39	AT75	А	82,0	88,4	93,8
1	09-11-2020 09:09:22	E75S	А	80,6	86,3	92,0
1	09-11-2020 09:11:30	DH8D	А	79,6	84,1	90,0
1	09-11-2020 09:18:57	DH8D	А	77,8	83,3	90,1
1	09-11-2020 09:58:21	DH8D	А	80,1	84,7	90,5
						· · · · · · · · · · · · · · · · · · ·

Nr punktu				L <sub>Aeq</sub>	L <sub>Amax</sub>	L <sub>AE</sub>
pomiarowego	Data i godz. zdarzenia	Samolot	Operacja*	[dB]	[dB]	[dB]
1	09-11-2020 10:10:40	B789	Α	83,3	90,1	96,5
1	09-11-2020 10:31:15	DH8D	Α	79,7	84,6	90,5
1	09-11-2020 10:45:47	E195	Α	83,4	89,9	94,9
1	09-11-2020 10:51:59	E75S	Α	81,9	86,8	92,7
1	09-11-2020 11:00:12	A21N	Α	81,3	86,5	92,5
1	09-11-2020 11:27:37	E190	Α	82,3	89,1	94,4
1	09-11-2020 11:38:15	B738	Α	82,6	89,1	94,9
1	09-11-2020 11:42:35	E75S	Α	81,0	87,5	92,7
1	09-11-2020 11:45:01	E75S	Α	82,5	88,7	93,7
1	09-11-2020 11:47:12	E190	Α	79,7	87,7	93,1
1	09-11-2020 11:49:19	E190	Α	84,3	90,1	95,1
1	09-11-2020 11:52:16	E75S	Α	83,2	88,5	94,0
1	09-11-2020 11:54:36	E75S	Α	81,6	86,6	92,0
1	09-11-2020 12:07:17	E195	Α	82,3	88,5	94,1
1	09-11-2020 12:14:52	E75S	Α	82,0	87,7	93,4
1	09-11-2020 12:16:54	E195	Α	83,4	89,2	94,5
1	09-11-2020 12:18:52	E75S	Α	82,9	89,2	94,1
1	09-11-2020 12:24:19	E190	Α	81,5	87,3	93,2
1	09-11-2020 12:28:28	B789	Α	85,8	90,9	97,3
1	09-11-2020 12:31:35	CRJ9	Α	81,0	85,5	91,4
1	09-11-2020 12:46:41	E170	Α	81,1	86,9	92,2
1	09-11-2020 12:50:32	E170	Α	80,7	87,5	93,0
1	09-11-2020 12:58:27	B788	Α	84,1	89,0	95,5
1	09-11-2020 13:01:21	DH8D	Α	80,2	84,6	90,2
1	09-11-2020 13:17:09	DH8D	Α	80,9	85,1	90,5
1	09-11-2020 13:21:40	DH8D	Α	78,0	83,4	90,0
1	09-11-2020 13:23:58	DH8D	Α	80,0	83,8	89,6
1	09-11-2020 13:26:16	DH8D	A	79,2	83,5	89,2
1	09-11-2020 13:28:25	B788	A	83,0	89,5	95,8
1	09-11-2020 13:32:28	DH8D	A	78,9	83,8	89,7
1	09-11-2020 13:43:23	E195	A	83,2	90,0	94,7
1	09-11-2020 14:08:22	E195	A	81,1	89,0	94,3
1	09-11-2020 14:10:48	E195 DH8D	A	83,9	90,3	95,1
1	09-11-2020 14:17:12	+	A	78,0	83,4	89,5
1	09-11-2020 14:21:22 09-11-2020 14:41:31	E75S E170	Α	81,3 82,2	87,3 87,8	92,4 92,7
1	09-11-2020 14:41:31	P180	A	86,9	95,0	101,1
1	09-11-2020 15:09:20	A20N	A	81,0	86,5	92,2
1	09-11-2020 16:20:40	E170	A	81,8	88,4	93,3
1	09-11-2020 16:20:40	A332	A	86,0	93,6	99,2
1	09-11-2020 16:46:40	A20N	A	80,4	93,0 87,1	99,2
1	09-11-2020 16:49:16	C56X	A	82,9	89,1	92,7
1	09-11-2020 17:10:10	CRJ9	A	79,0	84,9	91,0
1	09-11-2020 18:17:43	E195	A	81,1	88,4	93,6
1	09-11-2020 18:36:48	DH8D	A	77,3	83,4	89,6
1	09-11-2020 18:42:12	E75S	A	82,5	87,6	92,5
1	09-11-2020 18:44:21	E75S	A	81,5	87,3	92,3
1	09-11-2020 18:46:08	DH8D	A	79,8	83,3	89,4
1	09-11-2020 18:47:39	E170	Α	80,9	88,1	93,2
1	09-11-2020 18:49:30	AT75	Α	83,4	88,4	94,2
1	09-11-2020 18:51:36	DH8D	Α	79,2	83,8	89,6
1	09-11-2020 18:54:31	DH8D	Α	80,0	84,6	90,0
1	09-11-2020 18:56:35	E75S	Α	82,9	88,1	93,3
1	09-11-2020 18:59:43	DH8D	Α	78,4	83,9	89,5
1	09-11-2020 19:02:06	E75S	Α	80,8	85,5	91,2
1	09-11-2020 19:07:26	DH8D	Α	79,5	83,6	89,0
1	09-11-2020 19:09:23	E75S	Α	82,3	87,7	92,7
1	09-11-2020 19:11:44	E170	Α	81,9	86,8	92,3
1	09-11-2020 19:16:37	E75S	Α	82,7	88,3	93,1
<u>,                                    </u>						

Nr punktu pomiarowego	Data i godz. zdarzenia	Samolot	Operacja*	L <sub>Aeq</sub>	L <sub>Amax</sub>	L <sub>AE</sub>
1	09-11-2020 19:25:49	E75S	Α	80,4	86,7	91,9
1	09-11-2020 19:38:54	E75S	A	80,6	86,8	92,1
1	09-11-2020 20:02:56	E190	A	81,5	88,4	93,8
1	09-11-2020 20:09:50	B738	A	84,8	91,6	96,8
1	09-11-2020 20:31:06	B734	A	83,6	91,3	95,9
1	09-11-2020 20:36:36	DH8D	Α	78,7	83,6	89,5
1	09-11-2020 20:59:00	E75S	Α	81,8	87,1	92,2
1	09-11-2020 21:08:40	E170	Α	79,0	82,9	88,6
1	09-11-2020 21:11:48	GLEX	Α	82,6	88,4	93,4
1	09-11-2020 21:44:05	C295	Α	86,2	90,3	95,7
1	09-11-2020 21:56:27	DH8D	Α	79,3	83,4	89,3
1	10-11-2020 06:04:00	DH8D	Α	79,8	83,9	89,4
1	10-11-2020 06:07:51	E170	Α	82,2	88,7	94,0
1	10-11-2020 06:10:06	E170	Α	82,8	87,5	92,8
1	10-11-2020 06:12:21	DH8D	А	78,8	84,7	90,6
1	10-11-2020 06:14:56	DH8D	Α	79,9	83,7	89,5
1	10-11-2020 06:17:27	DH8D	Α	79,7	83,9	89,7
1	10-11-2020 06:19:35	DH8D	Α	79,3	84,1	89,8
1	10-11-2020 06:26:53	B734	Α	85,7	91,7	96,1
1	10-11-2020 07:25:14	AT72	А	78,5	86,3	92,4
1	10-11-2020 07:50:49	A320	А	80,7	87,7	93,7
1	10-11-2020 07:56:28	C295	Α	82,8	89,0	93,6
1	10-11-2020 09:10:59	DH8D	Α	77,6	83,9	90,1
1	10-11-2020 09:29:26	A21N	Α	78,1	85,5	91,9
1	10-11-2020 10:00:00	DH8D	Α	78,7	83,1	89,1
1	10-11-2020 10:51:21	A321	Α	80,4	86,0	92,4
1	10-11-2020 10:54:48	E75S	Α	82,4	88,1	93,2
1	10-11-2020 11:26:13	M28	Α	79,4	84,7	91,2
1	10-11-2020 11:38:56	B789	Α	80,3	87,4	94,1
1	10-11-2020 11:41:26	E170	Α	82,2	89,2	94,3
1	10-11-2020 11:43:31	E75S	Α	82,3	87,6	92,7
1	10-11-2020 11:45:20	E75L	A	81,0	87,0	92,5
1	10-11-2020 11:47:40	B738	A	83,1	90,5	95,7
1	10-11-2020 11:50:07	E75S	Α	80,8	85,8	91,2
1	10-11-2020 11:52:29	E170	A	80,6	87,7	93,1
1	10-11-2020 11:54:41	E170	A	82,8	89,0	93,9
1	10-11-2020 11:57:02	E75S	A	82,2	87,7	93,0
1	10-11-2020 12:19:11	E75S	A	80,9	87,9	93,0
1	10-11-2020 12:21:27	E75S	A	82,4	87,1	92,4
1	10-11-2020 12:27:13	E75S	A	82,0	89,0	93,8
1	10-11-2020 12:54:22	E75S	A	81,7	87,7	92,8
1	10-11-2020 13:01:46 10-11-2020 13:04:52	B788 DH8D	A	84,8 78,4	89,6 84,0	96,2 89,8
1	10-11-2020 13:04:52	AT75	A	80,0	86,6	92,4
1	10-11-2020 13:06:07	DH8D	A	79,5	84,0	89,5
1	10-11-2020 13:15:14	DH8D	A	79,9	83,5	89,4
1	10-11-2020 13:13:14	DH8D	A	78,0	83,6	89,5
1	10-11-2020 13:24:33	DH8D	A	78,6	83,3	89,0
1	10-11-2020 13:48:15	E75L	A	83,2	88,6	93,6
1	10-11-2020 15:52:55	CRJ9	A	79,4	85,6	91,4
1	10-11-2020 16:04:37	A21N	A	80,5	85,8	91,6
1	10-11-2020 16:40:12	A21N	A	81,2	86,1	92,0
1	10-11-2020 17:34:01	B789	A	84,5	90,2	96,8
1	10-11-2020 17:58:20	E75S	A	81,2	86,8	92,0
1	10-11-2020 18:39:14	DH8D	A	78,5	82,7	88,5
1	10-11-2020 18:42:34	DH8D	A	78,1	83,0	89,2
1	10-11-2020 18:44:10	DH8D	A	79,5	83,6	89,0
1	10-11-2020 18:46:03	E75S	A	82,0	87,4	92,4
			1	, -		

Nr punktu	Data i gode edogogia	Complet	On overein*	L <sub>Aeq</sub>	L <sub>Amax</sub>	L <sub>AE</sub>
pomiarowego	Data i godz. zdarzenia	Samolot	Operacja*	[dB]	[dB]	[dB]
1	10-11-2020 18:50:51	E170	Α	82,1	87,5	92,9
1	10-11-2020 18:52:28	E75S	Α	81,4	87,0	92,2
1	10-11-2020 18:54:57	DH8D	Α	79,1	83,5	89,5
1	10-11-2020 18:56:50	E55P	Α	77,9	84,9	89,7
1	10-11-2020 18:58:51	DH8D	Α	79,6	83,9	90,0
1	10-11-2020 19:00:45	E195	Α	84,2	90,0	95,0
1	10-11-2020 19:12:43	E75S	Α	82,3	87,7	92,7
1	10-11-2020 19:18:30	DH8D	Α	79,4	83,3	89,4
1	10-11-2020 19:24:44	E75S	Α	81,4	86,4	91,8
1	10-11-2020 19:34:06	AT75	Α	79,8	86,6	92,6
1	10-11-2020 19:59:57	E170	Α	82,1	87,1	92,5
1	10-11-2020 20:23:15	B734	Α	84,1	90,3	94,9
1	10-11-2020 20:37:09	E75S	A	80,2	88,7	94,2
1	10-11-2020 21:02:45	E75S	A	85,0	90,9	96,1
1	10-11-2020 21:06:21	B738	A	82,0	88,5	93,5
1	10-11-2020 21:18:21	B738	A	83,7	89,9	95,2
1	10-11-2020 21:58:23	DH8D	A	80,6	86,0	91,4
1	11-11-2020 07:01:00	AT72	A	87,1	94,5	100,1
1	11-11-2020 08:29:35	E75S	A	81,8	87,3	92,6
1	11-11-2020 08:44:22	P180	A	87,0	94,0	99,8
1	11-11-2020 09:11:50	DH8D	A	79,0	83,5	89,8
1	11-11-2020 09:52:55	DH8D	A	79,5	83,5	89,5
	11-11-2020 09:57:12	CL35	A	77,9	82,5	88,3
1	11-11-2020 11:09:00	B77W	A	88,1	94,0	99,8
1	11-11-2020 11:48:31 11-11-2020 11:50:38	E75S E190	A	80,6 83,6	86,0	91,4
1	11-11-2020 11:50:38	DH8D	A	78,7	89,0 82,5	94,0 88,2
1	11-11-2020 12:30:19	E75S	A	81,9	87,1	92,3
1	11-11-2020 13:05:13	DH8D	A	79,7	83,8	89,2
1	11-11-2020 13:07:18	F2TH	A	80,4	83,7	89,5
1	11-11-2020 13:15:15	E195	A	82,6	90,2	95,2
1	11-11-2020 13:17:18	DH8D	A	79,2	83,4	89,2
1	11-11-2020 13:23:06	DH8D	Α	79,0	83,4	89,0
1	11-11-2020 13:25:27	P180	А	88,5	95,0	100,8
1	11-11-2020 13:27:54	E75S	Α	82,8	88,0	92,8
1	11-11-2020 13:29:53	PRM1	Α	76,1	79,7	85,2
1	11-11-2020 13:34:10	E75S	Α	83,5	89,3	94,0
1	11-11-2020 13:40:11	E75S	Α	82,6	88,3	93,4
1	11-11-2020 13:44:51	B735	Α	85,4	91,6	96,2
1	11-11-2020 13:48:03	DH8D	Α	80,0	85,0	90,4
1	11-11-2020 13:57:00	E75S	А	82,1	87,9	92,9
1	11-11-2020 14:02:42	DH8D	А	79,9	83,9	89,4
1	11-11-2020 14:14:15	E190	Α	82,3	88,6	93,7
1	11-11-2020 14:16:10	E195	Α	84,8	90,4	94,8
1	11-11-2020 14:18:24	E195	А	83,4	90,2	95,1
1	11-11-2020 14:21:19	E170	Α	82,9	88,9	93,7
1	11-11-2020 14:23:18	E170	Α	82,0	87,3	92,4
1	11-11-2020 14:28:48	E75S	Α	82,1	87,8	92,8
1	11-11-2020 14:41:02	E170	Α	82,1	88,9	94,1
1	11-11-2020 14:54:42	B789	A	84,2	91,4	97,6
1	11-11-2020 14:57:51	DH8D	A	79,8	83,7	89,4
1	11-11-2020 16:17:29	E170	A	81,7	87,1	92,1
1	11-11-2020 17:01:58	CRJ9	A	79,9	84,8	90,7
1	11-11-2020 17:37:34	E35L	A	79,3	83,3	88,3
1	11-11-2020 18:45:32	DH8D	A	79,0	83,5	89,4
1	11-11-2020 18:48:28	DH8D	A	78,9	83,3	88,9
1	11-11-2020 18:50:49	AT72	A	84,0	93,2	98,2
1	11-11-2020 19:22:44	C25C	Α	79,9	85,0	90,3
1	11-11-2020 19:26:08	AT75	Α	81,2	87,0	93,0

Nr punktu pomiarowego	Data i godz. zdarzenia	Samolot	Operacja*	L <sub>Aeq</sub>	L <sub>Amax</sub>	L <sub>AE</sub>
1	11-11-2020 20:33:53	DH8D	A	81,0	84,9	90,5
1	11-11-2020 20:45:38	E170	A	82,1	87,1	92,1
1	11-11-2020 20:49:04	E170	A	82,1	88,5	93,6
1	11-11-2020 20:54:16	E75S	A	82,7	87,8	92,7
1	11-11-2020 20:57:54	E75S	A	82,1	87,7	92,9
1	11-11-2020 21:03:52	E195	A	81,2	86,5	92,0
1	11-11-2020 21:05:48	E75S	A	83,1	89,7	94,5
1	11-11-2020 21:09:04	E170	A	82,4	87,8	93,2
1	11-11-2020 21:14:09	E75S	A	83,3	88.8	93,7
1	11-11-2020 21:16:04	E75S	A	81,8	86,9	92,2
1	11-11-2020 21:19:00	E75S	A	82,5	88,4	93,9
1	11-11-2020 21:21:44	E75S	A	82,2	88,5	93,4
1	11-11-2020 21:25:06	E75S	A	82,3	87,6	93,1
1	11-11-2020 21:34:51	B738	A	84,3	90,5	95,8
1	11-11-2020 21:37:30	E75S	A	81,2	86,7	92,0
1	12-11-2020 06:03:18	DH8D	A	80,2	84,7	90,2
1	12-11-2020 06:05:29	DH8D	A	79,9	83,8	88,9
1	12-11-2020 06:07:43	E170	A	82,1	86,4	92,1
1	12-11-2020 06:09:40	DH8D	A	80,3	84,3	89,9
1	12-11-2020 06:09:40	DH8D	A	79,9	84,0	89,9
1	12-11-2020 06:13:55	DH8D	A	80,5	84,5	90,1
1	12-11-2020 06:15:53	DH8D	A	80,1	83,7	89,7
1	12-11-2020 06:18:12	DH8D	A	79,3	83,5	89,3
1	12-11-2020 06:33:31	B734	A	87,1	93,8	97,9
1	12-11-2020 07:12:29	AT75	A	81,5	88,0	93,6
1	12-11-2020 08:41:50	CL35	A	77,6	83,3	88,8
1	12-11-2020 09:14:23	B737	A	84,6	91,1	96,1
1	12-11-2020 09:21:50	DH8D	A	81,0	86,9	92,2
1	12-11-2020 09:53:23	DH8D	A	74,1	84,3	94,6
1	12-11-2020 09:57:45	B788	Α	82,9	90,0	96,1
1	12-11-2020 10:20:15	A21N	Α	81,7	86,9	92,5
1	12-11-2020 10:59:25	E75S	А	81,7	86,7	91,7
1	12-11-2020 11:31:11	E75S	А	82,8	88,2	92,8
1	12-11-2020 11:41:00	E75S	А	82,6	88,3	93,4
1	12-11-2020 11:52:12	E190	Α	83,1	88,9	93,9
1	12-11-2020 11:54:05	E170	Α	82,0	87,6	92,8
1	12-11-2020 11:56:06	E75S	А	81,9	87,8	93,0
1	12-11-2020 11:57:45	E170	Α	80,9	87,7	92,9
1	12-11-2020 12:08:01	E75S	Α	81,3	88,3	93,6
1	12-11-2020 12:12:12	E75S	Α	82,7	88,5	93,5
1	12-11-2020 12:14:04	E75S	Α	82,6	88,8	93,3
1	12-11-2020 12:16:20	E75S	Α	83,1	88,8	93,9
1	12-11-2020 12:18:05	B788	Α	82,7	89,6	96,3
1	12-11-2020 12:20:33	E75S	Α	74,6	87,5	95,4
1	12-11-2020 12:26:33	CL30	Α	72,5	84,0	93,3
1	12-11-2020 12:41:34	B788	Α	83,8	89,4	95,9
1	12-11-2020 12:55:59	DH8D	Α	78,3	82,9	88,7
1	12-11-2020 13:00:35	E170	Α	81,7	87,8	93,1
1	12-11-2020 13:04:42	DH8D	Α	76,4	83,8	90,2
1	12-11-2020 13:10:55	DH8D	Α	79,3	83,9	89,7
1	12-11-2020 13:23:03	B789	Α	85,0	91,1	97,5
1	12-11-2020 13:32:05	DH8D	Α	79,1	84,2	89,9
1	12-11-2020 13:35:04	B738	Α	84,1	91,4	96,7
1	12-11-2020 13:40:45	DH8D	Α	78,1	83,5	89,5
1	12-11-2020 13:51:42	B788	Α	84,5	90,1	96,3
1	12-11-2020 13:59:08	E75S	Α	81,9	88,6	94,0
1	12-11-2020 14:03:36	A20N	Α	81,7	89,0	94,7
1	12-11-2020 14:41:47	AT75	Α	80,8	87,3	93,4
1	12-11-2020 14:47:18	B77W	Α	87,0	92,9	99,1

Nr punktu	Data i goda, adoransia	Complet	Operacie*	L <sub>Aeq</sub>	L <sub>Amax</sub>	L <sub>AE</sub>
pomiarowego	Data i godz. zdarzenia	Samolot	Operacja*	[dB]	[dB]	[dB]
1	12-11-2020 15:20:39	A319	Α	82,3	88,5	94,1
1	12-11-2020 16:20:38	B738	Α	84,6	91,0	96,3
1	12-11-2020 18:11:45	B788	Α	82,9	89,1	95,9
1	12-11-2020 18:27:28	DH8D	Α	79,4	83,1	88,9
1	12-11-2020 18:42:04	E75S	Α	83,3	88,2	93,3
1	12-11-2020 18:44:06	E170	Α	82,5	87,7	92,9
1	12-11-2020 18:46:40	DH8D	Α	79,2	83,8	89,7
1	12-11-2020 18:49:10	DH8D	Α	79,4	83,3	88,9
1	12-11-2020 18:50:57	E75S	Α	83,1	88,3	93,5
1	12-11-2020 18:53:13	DH8D	Α	79,1	83,3	89,1
1	12-11-2020 18:55:08	DH8D	A	78,9	83,1	88,5
1	12-11-2020 18:57:12	E75S	A	82,5	88,4	93,6
1	12-11-2020 18:59:30	E170	A	82,5	87,6	92,9
1	12-11-2020 19:05:52	E75S	A	81,3	86,1	92,1
	12-11-2020 19:08:10	DH8D	A	79,0	83,2	89,0
1	12-11-2020 19:15:04	E35L	A	78,8	83,6	89,2
1	12-11-2020 19:21:58	E195 E195	A	83,7	90,2	95,2
1	12-11-2020 19:24:03 12-11-2020 19:36:40	E75S	A	81,9 82,1	89,7 87,9	94,9 92,9
1	12-11-2020 19:36:40	E75S	A	82,9	87,9	92,9
1	12-11-2020 19.45.28	E75S	A	81,6	86,5	92,9
1	12-11-2020 20:26:16	AT75	A	80,5	86,2	92,3
1	12-11-2020 20:28:56	B734	A	84,3	91,3	95,8
1	12-11-2020 20:32:58	E75S	A	82,4	87,4	92,8
1	12-11-2020 20:42:06	E170	A	82,5	87,6	92,9
1	12-11-2020 21:10:29	E75S	А	83,1	89,4	94,2
1	12-11-2020 21:31:54	B738	А	85,5	91,7	96,9
1	12-11-2020 21:43:42	DH8D	Α	79,4	84,2	90,2
1	13-11-2020 06:02:06	B789	Α	85,9	90,7	97,0
1	13-11-2020 06:11:58	B734	Α	84,5	91,4	96,3
1	13-11-2020 06:57:44	AT72	Α	82,8	88,3	94,0
1	13-11-2020 07:03:57	A20N	D	77,1	83,1	90,9
1	13-11-2020 08:31:15	E75S	Α	82,8	87,4	92,8
1	13-11-2020 09:12:52	DH8D	Α	80,0	84,6	90,4
1	13-11-2020 09:16:59	DH8D	Α	77,4	83,8	90,0
1	13-11-2020 09:55:53	DH8D	A	78,7	83,3	89,1
1	13-11-2020 10:54:11	GLEX	A	78,0	85,1	91,2
1	13-11-2020 11:11:33	B77W	A	87,8	93,5	99,3
1	13-11-2020 11:38:56	E190	A	82,6	88,8	93,7
1	13-11-2020 11:41:14	BCS1	A	80,5	85,5	90,9
1	13-11-2020 11:57:10	E170	Α	82,0	87,2	92,4
1	13-11-2020 12:29:20 13-11-2020 12:44:53	CRJ9 E170	A	81,4 81,9	86,7 87,1	92,2 92,4
1	13-11-2020 12:44:33	DH8D	A	79,4	84,4	90,2
1	13-11-2020 13:09:05	DH8D	A	80,7	85,7	91,1
1	13-11-2020 13:09:05	DH8D	A	80,5	85,1	90,5
1	13-11-2020 13:13:26	DH8D	A	79,2	83,6	89,2
1	13-11-2020 13:14:54	E75S	A	82,4	88,3	93,5
1	13-11-2020 13:16:49	DH8D	A	79,9	84,4	89,9
1	13-11-2020 13:21:49	E75S	А	82,0	88,1	93,2
1	13-11-2020 13:23:53	TBM8	A	80,7	87,0	92,2
1	13-11-2020 13:49:29	DH8D	А	79,9	84,8	90,3
1	13-11-2020 14:00:17	E75S	Α	83,7	89,6	94,5
1	13-11-2020 14:02:06	B735	А	86,7	93,3	97,9
1	13-11-2020 14:06:29	A20N	А	80,7	86,3	92,4
1	13-11-2020 14:20:46	DH8D	А	79,2	84,2	90,0
1	13-11-2020 14:22:42	E195	А	83,8	90,2	95,0
1	13-11-2020 14:25:59	E75S	А	82,3	87,9	93,0
1	13-11-2020 14:27:18	E170	Α	82,6	88,7	93,4

Nr punktu pomiarowego	Data i godz. zdarzenia	Samolot	Operacja*	L <sub>Aeq</sub>	L <sub>Amax</sub>	L <sub>AE</sub>
pormarowego 1	13-11-2020 14:28:55	E75S	A	81,5	88,1	93,5
1	13-11-2020 14:20:08	E75S	A	77,7	87,8	94,2
1	13-11-2020 15:03:50	CRJ9	A	80,0	85,9	92,0
1	13-11-2020 15:06:49	E170	A	80,7	88,0	93,7
1	13-11-2020 15:24:16	SF34	A	81,5	88,4	93,3
1	13-11-2020 16:02:51	E190	A	84,1	89,9	94,6
1	13-11-2020 16:38:36	A332	A	82,8	92,7	98,0
1	13-11-2020 17:06:04	CRJ9	A	80,6	85,3	91,0
1	13-11-2020 17:13:29	F2TH	A	81,8	87,0	91,4
1	13-11-2020 17:39:31	A333	A	85,7	93,3	98,9
1	13-11-2020 17:42:20	E75S	A	81,3	86,8	92,1
1	13-11-2020 18:43:02	DH8D	A	79,5	84,1	90,3
1	13-11-2020 18:47:31	AT75	A	82,4	89,0	95,0
1	13-11-2020 18:52:58	DH8D	A	78,8	83,6	89,2
1	13-11-2020 19:06:52	E195	A	83,1	88,7	93,9
1	13-11-2020 19:45:59	DH8D	A	79,4	84,0	90,2
1	13-11-2020 19:59:35	C680	A	77,7	81,5	87,2
1	13-11-2020 20:08:34	E75S	A	83,0	88,1	93,4
1	13-11-2020 20:20:56	B734	A	83,1	90,5	95,1
1	13-11-2020 20:26:00	E170	A	81,3	85,6	90,9
1	13-11-2020 20:37:48	DH8D	A	80,2	84,7	90,2
1	13-11-2020 20:55:50	E75S	A	83,5	88,6	93,5
1	13-11-2020 20:58:20	E75S	A	81,6	86,8	92,0
1	13-11-2020 21:00:26	E75S	A	81,1	86,3	91,5
1	13-11-2020 21:04:22	E75S	A	81,0	86,2	91,4
1	13-11-2020 21:06:05	E75S	A	79,9	86,7	92,2
1	13-11-2020 21:08:09	E170	A	81,9	86,9	91,9
1	13-11-2020 21:09:52	E190	A	81,8	87,4	92,6
1	13-11-2020 21:12:09	E75S	A	82,0	87,4	92,4
1	13-11-2020 21:17:31	E170	A	81,8	86,9	91,8
1	13-11-2020 21:19:12	E75S	A	81,7	86,7	91,7
1	13-11-2020 21:22:30	E170	A	81,7	86,5	91,7
1	13-11-2020 21:24:01	E75S	A	81,9	86,9	91,9
1	13-11-2020 21:25:55	E195	A	81,8	87,7	92,9
1	13-11-2020 21:29:54	B738	A	83,9	90,2	95,4
1	13-11-2020 21:34:06	B738	A	84,3	90,9	95,7
1	13-11-2020 21:51:18	DH8D	Α	79,6	84,2	90,0
1	14-11-2020 06:01:26	E190	Α	81,8	88,1	93,2
1	14-11-2020 06:03:20	DH8D	Α	79,5	83,8	89,5
1	14-11-2020 06:05:09	DH8D	Α	80,9	85,7	91,3
1	14-11-2020 06:08:23	E170	Α	80,9	85,8	91,3
1	14-11-2020 06:12:29	DH8D	А	79,0	83,3	89,5
1	14-11-2020 06:14:23	DH8D	А	79,5	84,4	90,0
1	14-11-2020 06:16:07	DH8D	А	80,3	85,2	91,1
1	14-11-2020 06:19:23	DH8D	А	80,0	85,1	90,8
1	14-11-2020 07:50:35	A320	Α	82,5	87,9	93,6
1	14-11-2020 08:42:29	AT75	А	81,1	88,0	94,1
1	14-11-2020 11:25:37	GLF6	Α	76,9	81,2	87,7
1	14-11-2020 11:48:38	E75S	А	81,5	88,3	93,3
1	14-11-2020 11:50:07	E75L	А	82,6	88,3	93,4
1	14-11-2020 11:58:06	B788	Α	83,1	89,7	95,9
1	14-11-2020 12:23:03	E75S	А	81,7	87,1	92,1
1	14-11-2020 12:32:18	CRJ9	Α	80,4	84,7	90,4
1	14-11-2020 12:41:38	B789	А	84,0	90,6	97,0
1	14-11-2020 12:54:50	DH8D	Α	79,1	82,9	88,7
1	14-11-2020 12:58:52	DH8D	А	79,7	84,2	89,7
1	14-11-2020 13:10:52	B789	А	85,0	90,3	96,7
1	14-11-2020 13:16:07	DH8D	А	79,6	84,0	89,6
1	14-11-2020 13:26:56	B738	Α	86,2	92,5	97,4

Nr punktu	Data i mada adamania	Complet	0	L <sub>Aeq</sub>	L <sub>Amax</sub>	L <sub>AE</sub>
pomiarowego	Data i godz. zdarzenia	Samolot	Operacja*	[dB]	[dB]	[dB]
1	14-11-2020 13:32:46	DH8D	Α	79,8	83,8	89,3
1	14-11-2020 13:37:02	B738	А	85,4	91,9	97,1
1	14-11-2020 13:47:31	B788	Α	84,8	90,1	96,5
1	14-11-2020 13:57:28	E75L	Α	82,8	88,1	93,2
1	14-11-2020 14:59:38	B738	Α	83,4	89,3	94,8
1	14-11-2020 15:10:32	A319	Α	82,0	87,7	93,2
1	14-11-2020 16:26:01	A321	Α	81,7	87,0	92,9
1	14-11-2020 18:32:11	DH8D	Α	78,9	83,6	89,4
1	14-11-2020 18:37:58	DH8D	Α	79,5	83,8	89,5
1	14-11-2020 18:39:46	E170	Α	80,9	86,0	90,9
1	14-11-2020 18:41:32	E170	Α	82,1	87,9	92,5
1	14-11-2020 18:49:18	DH8D	Α	79,8	84,1	89,8
1	15-11-2020 08:44:59	DH8D	Α	79,7	84,8	90,5
1	15-11-2020 09:09:19	A21N	Α	80,8	85,7	91,2
1	15-11-2020 11:08:58	A320	Α	80,3	86,3	92,3
1	15-11-2020 11:11:03	B77W	Α	87,3	94,4	99,9
1	15-11-2020 11:14:15	A21N	Α	82,0	87,4	92,8
1	15-11-2020 11:24:53	B789	Α	81,4	87,3	93,7
1	15-11-2020 12:53:38	A21N	A	81,3	85,4	90,9
1	15-11-2020 13:02:34	E75S	Α	81,7	86,5	92,1
1	15-11-2020 13:04:19	DH8D	Α	80,5	84,6	90,1
1	15-11-2020 13:10:39	E170	Α	81,3	88,1	93,1
1	15-11-2020 13:18:30	DH8D	Α	79,8	84,4	89,8
1	15-11-2020 13:20:33	DH8D	Α	80,4	84,3	89,9
1	15-11-2020 13:24:45	DH8D	Α	80,8	84,9	90,3
1	15-11-2020 13:34:56	E75S	A	83,2	88,7	93,6
1	15-11-2020 13:39:16	E195	A	84,4	90,1	94,8
1	15-11-2020 13:47:19	E75S	A	81,5	88,8	93,8
1	15-11-2020 14:01:14	E75S	A	83,4	88,7	93,4
1	15-11-2020 14:03:03	E75S	A	82,8	88,6	93,5
1	15-11-2020 14:05:28	A20N	A	81,4	86,6	92,5
1	15-11-2020 14:07:07	E170	A	83,8	89,4	94,2
1	15-11-2020 14:10:08	DH8D	A	80,5	84,8	90,1
1	15-11-2020 14:18:31	E190	A	83,3	88,8	94,1
1	15-11-2020 14:28:58 15-11-2020 14:31:13	E195 E170	Α	84,3 83,1	90,1	95,4 93,1
1		E75S	Α	83,0	87,8	·
1	15-11-2020 14:45:04 15-11-2020 15:05:12	A20N	A	81,9	88,4 87,2	93,5 92,7
1	15-11-2020 15:07:06	E170	A	84,3	89,8	94,7
1	15-11-2020 15:42:43	B789	A	84,2	90,0	96,7
1	15-11-2020 15:56:27	CRJ9	A	81,3	85,9	91,7
1	15-11-2020 15:58:12	E75L	A	81,3	86,2	91,7
1	15-11-2020 16:27:28	A320	A	82,5	88,1	93,9
1	15-11-2020 16:29:17	E170	A	83,0	88,2	93,9
1	15-11-2020 16:41:49	CRJ9	A	80,5	85,0	90,9
1	15-11-2020 17:43:32	BCS1	A	81,0	86,2	91,8
1	15-11-2020 17:49:52	A320	A	82,8	88,1	94,0
1	15-11-2020 18:19:21	E75S	A	84,3	90,2	94,3
1	15-11-2020 18:30:02	B788	A	84,2	90,1	96,8
1	15-11-2020 18:47:28	DH8D	A	79,8	84,0	89,8
1	15-11-2020 18:58:16	DH8D	A	80,4	84,6	90,4
1	15-11-2020 19:09:29	DH8D	A	79,5	84,0	89,9
1	15-11-2020 19:16:40	E170	A	83,6	89,2	94,0
1	15-11-2020 19:20:12	DH8D	А	80,5	84,7	90,5
1	15-11-2020 19:22:52	E195	А	84,5	89,9	94,9
1	15-11-2020 19:30:02	GLEX	А	78,5	82,9	88,5
1	15-11-2020 20:04:24	E170	А	81,7	86,6	92,1
1	15-11-2020 20:26:26	E170	А	81,2	86,3	91,6
1	15-11-2020 20:30:17	E190	А	83,0	89,4	93,8
<u> </u>		•				

Nr punktu	Data i goda, adoracnia	Complet	Operacie*	L <sub>Aeq</sub>	L <sub>Amax</sub>	L <sub>AE</sub>
pomiarowego	Data i godz. zdarzenia	Samolot	Operacja*	[dB]	[dB]	[dB]
1	15-11-2020 20:57:25	E195	Α	83,6	89,7	94,4
1	15-11-2020 20:59:23	E75S	Α	82,0	87,3	92,4
1	15-11-2020 21:01:29	E75S	Α	81,2	86,2	91,6
1	15-11-2020 21:03:24	E75S	Α	82,5	87,8	92,9
1	15-11-2020 21:11:16	E75S	Α	81,1	85,2	90,6
1	15-11-2020 21:14:32	E75S	Α	82,3	87,4	92,3
1	15-11-2020 21:19:17	E75S	Α	82,1	87,2	92,1
1	15-11-2020 21:21:18	B738	Α	83,2	89,4	94,6
1	15-11-2020 21:24:27	E75S	Α	83,3	88,5	93,3
1	15-11-2020 21:26:34	E195	Α	81,8	87,1	92,5
1	15-11-2020 21:28:44	E75S	Α	82,6	87,4	92,6
1	15-11-2020 21:30:53	B738	Α	84,6	90,7	95,7
1	15-11-2020 21:32:36	E195	Α	82,8	88,3	93,6
1	15-11-2020 21:59:13	DH8D	Α	82,7	88,8	93,9
1	16-11-2020 06:03:22	B738	Α	83,4	90,0	95,7
1	16-11-2020 06:06:05	DH8D	Α	79,7	84,3	90,1
1	16-11-2020 06:08:07	DH8D	Α	79,6	83,7	89,6
1	16-11-2020 06:10:15	E170	A	81,5	87,2	92,9
1	16-11-2020 06:12:13	B738	A	85,6	91,9	97,1
1	16-11-2020 06:14:38	DH8D	A	80,5	84,9	90,5
1	16-11-2020 06:16:52	DH8D	A	80,0	85,3	90,4
1	16-11-2020 06:19:19	DH8D	A	80,0	84,3	90,0
1	16-11-2020 06:29:12	B738	A	86,0	93,1	98,3
1	16-11-2020 08:14:40	A320	A	83,8	89,5	95,3
1	16-11-2020 08:31:25	E75S	A	82,8	87,6	92,8
1	16-11-2020 08:57:53 16-11-2020 09:10:21	AT75 C295	A	81,4 80,5	88,2 88,3	93,7 93,5
1	16-11-2020 09:10:21	DH8D	A	•	84,5	90,4
1	16-11-2020 09:11:38	DH8D	A	80,0 79,1	83,9	90,4
1	16-11-2020 09:46:44	LJ75	A	79,1	87,5	91,9
1	16-11-2020 09:51:48	DH8D	A	80,2	84,8	90,6
1	16-11-2020 10:02:39	GLF5	A	78,2	83,2	89,4
1	16-11-2020 10:07:24	C25B	A	78,8	84,2	90,6
1	16-11-2020 10:39:24	B789	A	84,5	91,0	97,5
1	16-11-2020 10:42:37	DH8D	A	79,5	84,1	89,9
1	16-11-2020 10:54:45	E170	Α	80,6	87,2	92,6
1	16-11-2020 11:04:58	DH8D	Α	79,1	83,4	89,5
1	16-11-2020 11:34:39	E195	Α	84,5	90,9	95,6
1	16-11-2020 11:37:36	E75S	Α	83,0	88,4	93,4
1	16-11-2020 11:41:09	E75S	А	83,9	90,5	95,4
1	16-11-2020 11:48:18	E195	А	82,7	89,5	94,5
1	16-11-2020 11:50:16	P180	А	87,8	94,2	100,8
1	16-11-2020 11:52:30	E170	Α	82,3	87,6	92,7
1	16-11-2020 11:54:56	E170	А	82,0	87,7	92,8
1	16-11-2020 11:56:51	E75S	А	81,0	87,4	92,8
1	16-11-2020 12:02:46	E75S	Α	80,1	87,0	92,6
1	16-11-2020 12:04:49	E75L	Α	80,2	88,1	93,8
1	16-11-2020 12:07:51	B350	Α	81,1	86,6	92,2
1	16-11-2020 12:10:43	E190	Α	83,3	89,2	94,1
1	16-11-2020 12:15:00	B789	Α	85,4	90,9	97,2
1	16-11-2020 12:24:06	E190	Α	83,5	89,8	94,7
1	16-11-2020 12:26:09	E75S	Α	83,7	88,4	93,7
1	16-11-2020 12:30:36	E75S	Α	83,3	88,8	93,7
1	16-11-2020 12:43:41	E170	A	82,0	87,7	93,1
1	16-11-2020 12:52:45	B788	A	83,7	89,3	95,7
1	16-11-2020 13:09:52	DH8D	A	79,2	84,6	91,0
1	16-11-2020 13:14:39	DH8D	A	77,5	83,5	89,8
1	16-11-2020 13:20:53	DH8D	A	80,3	84,2	89,9
1	16-11-2020 13:33:08	B789	Α	85,0	90,7	97,3

Nr punktu pomiarowego	Data i godz. zdarzenia	Samolot	Operacja*	L <sub>Aeq</sub>	L <sub>Amax</sub>	L <sub>AE</sub>
porniarowego 1	16-11-2020 13:35:41	DH8D	A	78,9	84,0	89,7
1	16-11-2020 13:37:18	E75S	A	81,7	87,3	92,5
1	16-11-2020 13:38:50	B738	A	83,2	90,6	95,8
1	16-11-2020 13:43:44	DH8D	A	78,9	85,1	90,7
1	16-11-2020 13:51:28	E75L	A	83,2	88,1	93,6
1	16-11-2020 14:14:12	E195	A	82,6	89,4	94,3
1	16-11-2020 14:15:53	DH8D	A	78,9	83,5	89,4
1	16-11-2020 15:15:53	A319	A	81,2	89,4	94,8
1	16-11-2020 16:10:46	E190	Α	83,4	90,0	94,9
1	16-11-2020 16:48:14	GL5T	Α	79,0	83,7	89,0
1	16-11-2020 17:06:05	CRJ9	Α	80,3	84,6	90,8
1	16-11-2020 17:42:09	BE9L	Α	74,6	77,7	84,1
1	16-11-2020 18:17:57	E195	Α	81,8	87,8	93,3
1	16-11-2020 18:31:38	E75S	Α	82,2	87,1	92,2
1	16-11-2020 18:36:00	E170	А	81,0	85,9	91,4
1	16-11-2020 18:41:27	E75S	Α	81,3	86,0	91,3
1	16-11-2020 18:43:13	AT75	Α	83,9	89,8	95,4
1	16-11-2020 18:45:09	E75S	Α	82,3	87,3	92,3
1	16-11-2020 18:46:59	DH8D	Α	80,0	84,5	90,8
1	16-11-2020 18:49:06	DH8D	А	80,0	84,9	90,5
1	16-11-2020 18:50:50	DH8D	Α	79,8	84,3	89,8
1	16-11-2020 18:52:36	DH8D	Α	79,8	84,6	90,2
1	16-11-2020 18:56:25	DH8D	Α	79,6	85,6	91,6
1	16-11-2020 18:59:26	DH8D	Α	80,9	86,2	91,7
1	16-11-2020 19:04:58	E195	Α	84,1	90,3	94,6
1	16-11-2020 19:10:20	E170	Α	82,7	88,9	93,5
1	16-11-2020 19:16:03	E75S	Α	81,3	86,7	91,8
1	16-11-2020 19:22:05	E170	Α	81,9	86,7	91,5
1	16-11-2020 19:26:21	E75S	Α	80,6	86,3	91,3
1	16-11-2020 19:36:50	E75S	Α	82,6	87,1	92,1
1	16-11-2020 19:40:33	E75S	A	81,8	87,1	92,2
1	16-11-2020 19:44:38	W3	A	86,2	92,4	97,3
1	16-11-2020 20:05:10	E75S	A	82,7	88,0	93,1
1	16-11-2020 20:17:40	P180	A	86,3	93,6	98,8
1	16-11-2020 20:24:31	SF34	A	80,6	85,9	91,4
1	16-11-2020 20:34:13	E170	A	81,8	86,9	91,8
1	16-11-2020 20:36:06	B734	A	83,8	90,3	94,6
	16-11-2020 21:03:49	E75S	A	81,1	86,2	91,1
1	16-11-2020 21:12:21 16-11-2020 21:41:56	E195 DH8D	A	82,3 81,7	87,1 86,0	92,3 90,8
1	17-11-2020 06:09:47	E190	D	78,0	82,1	91,0
1	17-11-2020 06:09:47	DH8D	D	70,3	70,7	79,3
1	17-11-2020 06:58:07	A319	D	78,6	81,5	92,4
1	17-11-2020 00:30:07	DH8D	D	73,1	74,5	84,2
1	17-11-2020 07:24:31	AT75	D	74,3	76,8	87,1
1	17-11-2020 07:28:15	E170	D	78,7	82,7	92,1
1	17-11-2020 07:30:20	E170	D	80,4	86,1	94,0
1	17-11-2020 07:36:40	B734	D	76,3	81,5	91,4
1	17-11-2020 07:38:56	E75S	D	79,7	83,8	93,3
1	17-11-2020 08:07:56	E195	D	76,7	82,4	91,7
1	17-11-2020 08:21:26	E195	D	78,2	83,6	92,7
1	17-11-2020 08:56:07	A320	D	80,1	83,9	93,1
1	17-11-2020 10:26:20	P180	D	79,1	84,8	92,7
1	17-11-2020 10:47:37	DH8D	D	73,3	75,5	82,3
1	17-11-2020 11:12:21	E75S	D	78,4	82,7	91,5
1	17-11-2020 11:53:09	CL60	D	72,0	74,1	81,6
1	17-11-2020 12:33:12	A21N	D	78,5	84,5	92,2
1	17-11-2020 12:45:29	E75L	D	77,9	81,8	91,1
1	17-11-2020 13:23:32	H60	D	74,7	77,9	87,7

Nr punktu	Data i saste estamania	Complet	0	L <sub>Aeq</sub>	L <sub>Amax</sub>	L <sub>AE</sub>
pomiarowego	Data i godz. zdarzenia	Samolot	Operacja*	[dB]	[dB]	[dB]
1	17-11-2020 13:28:47	E195	D	81,5	87,3	93,8
1	17-11-2020 14:23:40	B789	D	79,4	83,7	91,1
1	17-11-2020 14:39:51	C510	D	73,5	76,7	86,9
1	17-11-2020 15:04:15	DH8D	D	72,3	73,9	81,4
1	17-11-2020 15:09:53	E75S	D	79,0	83,5	92,0
1	17-11-2020 15:12:05	AT75	D	74,0	76,0	84,4
1	17-11-2020 15:20:39	HDJT	D	76,6	79,9	88,4
1	17-11-2020 15:43:59	DH8D	D	67,5	72,9	82,3
1	17-11-2020 16:00:27	E195	D	81,9	87,5	95,8
1	17-11-2020 16:33:52	DH8D	D	73,3	75,3	84,1
1	17-11-2020 16:52:02	E75S	D	79,3	83,4	92,5
1	17-11-2020 18:06:04	DH8D	D	72,5	73,9	82,9
1	17-11-2020 19:04:42	ATP	D	76,8	79,0	86,3
1	17-11-2020 21:11:34	AT72	D	73,3	75,1	82,4
1	17-11-2020 21:19:37	B752	D	80,1	84,0	92,9
1	17-11-2020 21:35:57	E75S	D	80,2	84,9	93,0
1	17-11-2020 21:44:13	B734 A306	D D	79,0	83,9 85.5	92,8
1	17-11-2020 21:55:24	E75L	D	80,5	85,5	95,3
1	18-11-2020 06:21:35 18-11-2020 07:10:10	AT75	D	77,7 75,5	83,0 77,3	92,6 85,5
1	18-11-2020 07:10:10	A175 A319	D	79,6	83,6	92,8
1	18-11-2020 07:13:52	B734	D	77,7	82,0	90,5
1	18-11-2020 07:35:27	E190	D	77,5	81,7	90,1
1	18-11-2020 07:54:31	E75S	D	76,9	80,3	89,9
1	18-11-2020 07:59:11	DH8D	D	73,8	76,9	84,2
1	18-11-2020 09:25:49	E35L	D	80,8	85,1	90,8
1	18-11-2020 09:31:44	E75S	D	79,6	83,9	92,2
1	18-11-2020 09:53:41	E170	D	76,6	81,1	90,5
1	18-11-2020 10:08:19	E75S	D	79,5	84,3	92,7
1	18-11-2020 10:23:32	E75S	D	76,5	79,7	90,1
1	18-11-2020 10:27:20	E75S	D	78,3	83,1	91,8
1	18-11-2020 10:30:00	E170	D	76,9	81,0	90,4
1	18-11-2020 10:42:41	E170	D	78,4	82,7	91,6
1	18-11-2020 10:45:32	E195	D	78,4	84,8	93,3
1	18-11-2020 10:50:45	E75S	D	78,1	82,1	91,7
1	18-11-2020 11:09:35	E75S	D	80,3	84,7	93,1
1	18-11-2020 11:47:53	E195	D	76,8	82,4	91,7
1	18-11-2020 12:01:07	DH8D	D	71,5	73,5	81,5
1	18-11-2020 12:22:27	E170	D	78,0	83,1	91,6
1	18-11-2020 12:39:28	E75L	D	75,6	79,1	89,4
1	18-11-2020 13:12:13	B77W	D	80,9	85,2	94,5
1	18-11-2020 14:03:12	B738	D	78,1	83,0	93,0
1	18-11-2020 14:05:39	GLF5	D D	76,0	80,8	89,2
1	18-11-2020 14:07:31 18-11-2020 14:33:20	C295 P180	D	75,2 79,2	77,3 85,8	84,2 93,7
1	18-11-2020 14:33:20	GLF5	D	79,2	79,9	93,7 88,1
1	18-11-2020 14:35:27	B738	D	85,3	91,2	97,7
1	18-11-2020 16:00:05	GL5T	D	79,0	83,6	90,5
1	18-11-2020 16:17:47	A319	D	77,6	80,5	91,7
1	18-11-2020 16:24:28	DH8D	D	71,5	72,5	81,5
1	18-11-2020 16:31:07	E75S	D	81,7	86,7	94,5
1	18-11-2020 16:32:35	DH8D	D	71,6	74,4	85,3
1	18-11-2020 16:35:38	E170	D	82,6	88,0	95,6
1	18-11-2020 16:37:30	DH8D	D	73,5	77,0	84,7
1	18-11-2020 16:40:52	E75S	D	81,3	86,6	94,7
1	18-11-2020 16:43:24	E170	D	83,4	89,6	96,0
1	18-11-2020 16:53:29	E170	D	82,2	87,7	95,2
1	18-11-2020 16:57:17	E75S	D	81,8	87,2	95,2
1	18-11-2020 17:02:57	E195	D	81,0	88,1	94,9

Nr punktu	5			L <sub>Aeq</sub>	L <sub>Amax</sub>	L <sub>AE</sub>
pomiarowego	Data i godz. zdarzenia	Samolot	Operacja*	[dB]	[dB]	[dB]
1	18-11-2020 17:08:15	E75S	D	82,5	87,7	95,3
1	18-11-2020 17:09:40	E75S	D	79,3	83,4	91,9
1	18-11-2020 17:11:24	E170	D	80,4	86,4	93,6
1	18-11-2020 17:12:53	E75S	D	80,6	84,6	92,9
1	18-11-2020 17:14:52	E75S	D	78,3	83,1	91,9
1	18-11-2020 17:40:54	E75S	D	80,0	85,3	93,8
1	18-11-2020 18:42:15	DH8D	D	74,5	77,1	84,0
1	18-11-2020 18:49:58	DH8D	Α	80,4	84,8	90,4
1	18-11-2020 19:02:29	ATP	D	76,1	83,9	89,9
1	18-11-2020 19:20:04	CL30	Α	78,4	82,8	87,9
1	18-11-2020 19:35:00	AT75	Α	83,9	90,0	95,0
1	18-11-2020 20:10:59	B734	Α	84,9	92,0	96,4
1	18-11-2020 20:15:43	B738	Α	82,7	89,1	95,0
1	18-11-2020 20:21:02	E170	Α	83,0	88,3	93,5
1	18-11-2020 20:52:28	E75S	Α	81,5	87,1	92,3
1	18-11-2020 20:54:16	DH8D	Α	80,4	84,7	90,4
1	18-11-2020 20:57:21	E75S	Α	82,9	88,6	93,7
1	18-11-2020 21:03:52	E170	А	82,5	88,1	93,3
1	18-11-2020 21:05:49	E75S	Α	82,9	88,1	92,9
1	18-11-2020 21:08:36	E75S	А	82,8	88,0	92,8
1	18-11-2020 21:12:06	E75S	Α	82,3	87,7	93,0
1	18-11-2020 21:16:08	E75S	Α	81,9	87,5	92,7
1	18-11-2020 21:17:46	E195	Α	83,6	89,8	94,7
1	18-11-2020 21:19:41	E170	Α	82,3	88,1	93,1
1	18-11-2020 21:23:13	E75S	Α	82,7	88,8	93,5
1	18-11-2020 21:25:28	E75S	Α	82,3	87,2	92,3
1	18-11-2020 21:27:29	B738	Α	85,1	91,8	96,5
1	18-11-2020 21:36:59	E170	Α	82,1	87,6	93,2
1	19-11-2020 06:02:41	DH8D	Α	80,5	85,5	91,0
1	19-11-2020 06:07:27	DH8D	Α	83,4	89,3	94,6
1	19-11-2020 06:09:38	DH8D	Α	80,0	84,3	90,0
1	19-11-2020 06:11:47	E170	Α	81,5	87,4	92,6
1	19-11-2020 06:15:25	DH8D	Α	86,0	91,5	96,4
1	19-11-2020 06:17:20	DH8D	Α	79,6	83,7	89,6
1	19-11-2020 06:19:22	B734	Α	85,6	91,6	96,0
1	19-11-2020 06:56:00	AT72	Α	83,7	89,0	94,4
1	19-11-2020 07:50:08	DH8D	Α	79,9	84,2	89,9
1	19-11-2020 07:57:46	C510	Α	78,8	83,5	87,8
1	19-11-2020 08:50:09	C295	Α	81,9	88,0	93,1
1	19-11-2020 08:57:10	C295	Α	87,6	92,5	98,3
1	19-11-2020 09:11:26	P180	А	88,0	94,9	100,8
1	19-11-2020 09:17:02	DH8D	Α	82,5	88,6	93,6
1	19-11-2020 10:27:27	A21N	Α	81,0	87,0	92,1
1	19-11-2020 10:49:32	E75S	Α	82,4	87,5	92,8
1	19-11-2020 10:50:42	PZ3T	A	73,9	75,3	82,9
1	19-11-2020 11:33:43	E75S	A	81,3	86,3	91,7
1	19-11-2020 11:38:01	E75S	A	81,4	86,4	91,4
1	19-11-2020 11:39:59	E190	A	83,8	89,5	94,6
1	19-11-2020 11:42:26	E195	A	82,6	88,2	93,0
1	19-11-2020 11:52:39	E170	A	80,9	87,0	91,7
1	19-11-2020 11:58:35	E170	A	82,9	88,4	93,3
1	19-11-2020 12:46:17	E190	D	79,1	84,6	92,3
1	19-11-2020 13:28:04	E195	D	80,5	86,6	94,0
1	19-11-2020 14:14:51	C295	D	71,6	73,4	81,1
1	19-11-2020 14:17:18	AT75	D	72,7	74,5	84,5
1	19-11-2020 15:02:29	E170	D	81,2	87,9	95,0
1	19-11-2020 15:24:53	DH8D	D	74,3	76,2	83,8
1	19-11-2020 15:45:30	E75S	D	78,9	83,1	92,1
1	19-11-2020 15:47:28	E75S	D	79,3	84,7	93,9

1	Nr punktu	Data i godz. zdarzenia	Samolot	Operacja*	LAeq	LAmax	LAE
1	pomiarowego		EZEC		[dB]	[dB]	[dB]
1	·			_		· ·	
1	<u> </u>			+			
1						· ·	
1							
1	-			+		1	
1	<u> </u>						
1	<u> </u>				•		
1	<u> </u>			+			
1			+			· · · · · · · · · · · · · · · · · · ·	•
1							
1	-			+			
1			+			· ·	•
1							,
1         19-11-2020 17:40:30         A21N         D         78,9         84,1         91.2           1         19-11-2020 19:28:18         DHBD         D         70,7         74,7         86,8           1         19-11-2020 19:01:02         ATP         D         75,3         78,8         87,3           1         19-11-2020 19:51:54         C510         D         70,8         72,5         79,9           1         19-11-2020 21:21:15         B763         D         77,5         82,0         91,6           1         19-11-2020 21:24:34         E75S         D         78,2         82,0         91,6           1         19-11-2020 21:44:34         E75S         D         78,2         82,0         91,6           1         19-11-2020 21:45:54:7         A306         D         76,9         82,5         93,1           1         19-11-2020 07:04:33         B734         D         76,2         79,0         88,8           1         20-11-2020 07:04:33         B734         D         76,2         79,0         88,8           1         20-11-2020 07:19:23         DH8D         D         71,5         73,9         82,1           1         2						· ·	
1         19-11-2020 18:28:18         DH8D         D         70.7         74,7         85.8           1         19-11-2020 19:01:02         ATP         D         75,3         78,8         87,3           1         19-11-2020 19:37:08         DH8D         D         70,8         72,5         79,9           1         19-11-2020 19:51:54         C510         D         76,5         80,4         88,5           1         19-11-2020 21:21:15         B763         D         77,5         82,0         92,6           1         19-11-2020 21:44:08         B734         D         76,5         81,1         91,2           1         19-11-2020 21:44:08         B734         D         76,5         81,1         91,2           1         19-11-2020 27:45:47         A306         D         76,9         82,5         93,1           1         20-11-2020 07:04:33         B734         D         75,2         79,0         88,8           1         20-11-2020 07:05:49         A319         D         77,8         82,0         91,6           1         20-11-2020 07:28:28         E170         D         76,6         80,7         90,7           1         20-						· ·	
1							
1							-
1         19-11-2020 19:51:54         C510         D         76,5         80,4         88,5           1         19-11-2020 21:21:15         B763         D         77,5         82,0         92,6           1         19-11-2020 21:24:34         E75S         D         78,2         82,0         91,6           1         19-11-2020 21:56:47         A306         D         76,9         82,5         93,1           1         19-11-2020 06:05:59         E190         D         78,6         82,1         91,1           1         20-11-2020 07:04:33         B734         D         75,2         79,0         88,8           1         20-11-2020 07:04:33         B734         D         75,2         79,0         88,8           1         20-11-2020 07:05:49         A319         D         77,8         82,0         91,6           1         20-11-2020 07:19:23         DHBD         D         71,5         73,9         82,7           1         20-11-2020 07:19:23         DHBD         D         70,4         72,2         79,4           1         20-11-2020 08:13:48         DHBD         D         70,4         72,2         79,4           1         20						· ·	· ·
1         19-11-2020 21-21:15         B763         D         77,5         82,0         92,6           1         19-11-2020 21-24:34         E75S         D         76,2         82,0         91,6           1         19-11-2020 21-55:47         A306         D         76,9         82,5         93,1           1         19-11-2020 60:05:59         E190         D         76,5         82,1         91,1           1         20-11-2020 07:05:39         E190         D         76,5         82,1         91,1           1         20-11-2020 07:05:39         A319         D         76,5         82,1         91,1           1         20-11-2020 07:05:49         A319         D         76,5         82,0         91,6           1         20-11-2020 07:05:49         A319         D         77,5         73,9         82,7           1         20-11-2020 07:05:28         E170         D         76,6         80,7         90,7           1         20-11-2020 07:28:28         E170         D         76,6         80,7         79,4           1         20-11-2020 08:54:35         M28         D         71,0         73,2         82,8           1         20-						· ·	
1 19-11-2020 21:24:34 E75S D 76,2 82,0 91,6 1 19-11-2020 21:44:08 B734 D 76,5 81.1 91,2 1 19-11-2020 21:55:47 A306 D 76,9 82,5 93,1 1 20-11-2020 06:05:59 E190 D 76,5 82,1 91,1 1 20-11-2020 06:05:59 E190 D 76,5 82,1 91,1 1 20-11-2020 07:05:49 A319 D 77,8 82,0 91,6 1 20-11-2020 07:05:49 A319 D 77,8 82,0 91,6 1 20-11-2020 07:05:49 A319 D 77,8 82,0 91,6 1 20-11-2020 07:08:38 E170 D 76,6 80,7 90,7 1 20-11-2020 08:08:38 DH8D D 70,4 72,2 79,4 1 20-11-2020 08:13:48 DH8D D 70,4 72,2 79,4 1 20-11-2020 08:13:48 DH8D D 70,4 72,2 79,4 1 20-11-2020 08:54:35 M28 D 76,7 81,9 91,8 1 20-11-2020 08:29:04 E75S D 76,5 80,2 90,2 1 20-11-2020 10:04:56 E75S D 76,5 80,2 90,2 1 20-11-2020 10:04:56 E75S D 76,5 80,2 90,2 1 20-11-2020 10:26:52 E75S D 76,4 80,6 90,7 1 20-11-2020 10:26:52 E75S D 76,1 80,4 90,7 1 20-11-2020 10:26:52 E75S D 76,1 80,4 90,7 1 20-11-2020 10:26:52 E75S D 76,1 80,4 90,7 1 20-11-2020 10:35:58 E170 D 76,1 80,4 90,7 1 20-11-2020 11:03:43 DH8D D 70,3 73,0 81,7 1 20-11-2020 11:05:43 DH8D D 70,3 73,0 81,7 1 20-11-2020 11:05:43 DH8D D 70,8 71,9 81,6 92,0 1 20-11-2020 11:05:43 DH8D D 70,8 71,9 81,6 92,0 1 20-11-2020 11:05:43 DH8D D 70,7,6 81,7 91,0 1 20-11-2020 11:05:43 DH8D D 70,7,6 81,7 91,0 1 20-11-2						· ·	
1         19-11-2020 21:44:08         B734         D         76,5         81,1         91,2           1         19-11-2020 15:55:47         A306         D         76,9         82,5         93,1           1         20-11-2020 06:05:59         E190         D         78,5         82,1         91,1           1         20-11-2020 07:05:49         A319         D         75,2         79,0         88,8           1         20-11-2020 07:05:49         A319         D         77,8         82,0         91,6           1         20-11-2020 07:29:23         DHBD         D         71,5         73,9         82,7           1         20-11-2020 07:29:23         BHBD         D         70,4         72,2         79,4           1         20-11-2020 08:34:8         DHBD         D         70,4         72,2         79,4           1         20-11-2020 08:34:8         DHBD         D         71,0         73,2         82,8           1         20-11-2020 09:29:04         E75S         D         76,7         81,9         91,8           1         20-11-2020 10:04:56         E7SS         D         76,5         80,2         90,2           1         20-1			+				
1         19-11-2020 21:55:47         A306         D         76,9         82,5         93,1           1         20-11-2020 06:05:59         E190         D         78,5         82,1         91,1           1         20-11-2020 07:04:33         B734         D         75,2         79,0         88,8           1         20-11-2020 07:05:49         A319         D         77,8         82,0         91,6           1         20-11-2020 07:19:23         DH8D         D         71,5         73,9         82,7           1         20-11-2020 08:13:48         DH8D         D         70,6         80,7         90,7           1         20-11-2020 08:34:35         M2         D         70,0         72,2         79,4           1         20-11-2020 08:54:35         M2         D         70,0         73,2         82,8           1         20-11-2020 08:54:35         M2         D         70,0         73,2         82,8           1         20-11-2020 10:45:6         E75S         D         76,7         81,9         91,8           1         20-11-2020 10:25:5         E75S         D         76,7         81,9         91,8           1         20-11-2020							
1         20-11-2020 06:05:59         E190         D         78,5         82,1         91,1           1         20-11-2020 07:04:33         B734         D         75,2         79,0         88,8           1         20-11-2020 07:05:49         A319         D         77,8         82,0         91,6           1         20-11-2020 07:19:23         DH8D         D         71,5         73,9         82,7           1         20-11-2020 07:28:28         E170         D         76,6         80,7         90,7           1         20-11-2020 08:13:48         DH8D         D         70,4         72,2         79,4           1         20-11-2020 09:29:04         E755         D         76,7         81,9         91,8           1         20-11-2020 10:24:56         E75S         D         76,5         80,2         90,2           1         20-11-2020 10:24:41         E75S         D         76,5         80,2         90,2           1         20-11-2020 10:25:52         E75S         D         76,1         80,4         90,7           1         20-11-2020 10:35:58         E170         D         76,1         80,4         90,7           1         20						· ·	
1         20-11-2020 07:04:33         B734         D         75,2         79,0         88,8           1         20-11-2020 07:05:49         A319         D         77,8         82,0         91,6           1         20-11-2020 07:05:49         A319         D         77,8         82,0         91,6           1         20-11-2020 07:28:28         E170         D         76,6         80,7         90,7           1         20-11-2020 08:13:48         DH8D         D         70,4         72,2         79,4           1         20-11-2020 08:54:35         M28         D         71,0         73,2         82,8           1         20-11-2020 10:04:56         E75S         D         76,7         81,9         91,8           1         20-11-2020 10:04:56         E75S         D         76,5         80,2         90,2           1         20-11-2020 10:26:52         E75S         D         76,5         80,2         90,2           1         20-11-2020 10:26:52         E75S         D         77,0         81,4         91,3           1         20-11-2020 10:26:52         E75S         D         776,4         80,6         90,7           1         20							·
1         20-11-2020 07:05:49         A319         D         77.8         82.0         91.6           1         20-11-2020 07:19:23         DH8D         D         71.5         73.9         82.7           1         20-11-2020 07:28:28         E170         D         76.6         80.7         90.7           1         20-11-2020 08:34:8         DH8D         D         70.4         72.2         79.4           1         20-11-2020 09:29:04         E75S         D         76.7         81.9         91.8           1         20-11-2020 10:04:56         E75S         D         76.5         80.2         90.2           1         20-11-2020 10:19:58         DH8D         D         72.6         74.5         83.7           1         20-11-2020 10:24:41         E75S         D         77.0         81.4         91.3           1         20-11-2020 10:26:52         E75S         D         76.4         80.6         90.7           1         20-11-2020 10:35:58         E170         D         76.1         80.4         90.7           1         20-11-2020 10:35:58         E170         D         76.1         80.4         90.7           1         20-	-			+			,
1         20-11-2020 07:19:23         DH8D         D         71,5         73,9         82,7           1         20-11-2020 07:28:28         E170         D         76,6         80,7         90,7           1         20-11-2020 08:13:48         DH8D         D         70,4         72,2         79,4           1         20-11-2020 08:54:35         M28         D         71,0         73,2         82,8           1         20-11-2020 09:29:04         E75S         D         76,7         81,9         91,8           1         20-11-2020 10:456         E75S         D         76,5         80,2         90,2           1         20-11-2020 10:24:41         E75S         D         76,5         80,2         90,2           1         20-11-2020 10:26:52         E75S         D         77,0         81,4         91,3           1         20-11-2020 10:26:52         E75S         D         76,4         80,6         90,7           1         20-11-2020 10:35:58         E170         D         76,1         80,4         90,7           1         20-11-2020 10:48:08         E195         D         80,0         85,4         93,4           1         20-11							
1         20-11-2020 07:28:28         E170         D         76,6         80,7         90,7           1         20-11-2020 08:13:48         DH8D         D         70,4         72,2         79,4           1         20-11-2020 08:54:35         M28         D         71,0         73,2         82,8           1         20-11-2020 10:04:56         E75S         D         76,7         81,9         91,8           1         20-11-2020 10:04:56         E75S         D         76,5         80,2         90,2           1         20-11-2020 10:19:58         DH8D         D         72,6         74,5         83,7           1         20-11-2020 10:26:52         E75S         D         77,0         81,4         91,3           1         20-11-2020 10:26:52         E75S         D         77,0         81,4         91,3           1         20-11-2020 10:26:52         E75S         D         76,4         80,6         90,7           1         20-11-2020 10:35:58         E170         D         76,1         80,4         90,7           1         20-11-2020 10:35:58         E170         D         76,1         80,4         90,7           1         20-			+		•	· ·	
1         20-11-2020 08:13:48         DH8D         D         70,4         72,2         79,4           1         20-11-2020 08:54:35         M28         D         71,0         73,2         82,8           1         20-11-2020 09:29:04         E75S         D         76,7         81,9         91,8           1         20-11-2020 10:04:56         E75S         D         76,5         80,2         90,2           1         20-11-2020 10:19:58         DH8D         D         72,6         74,5         83,7           1         20-11-2020 10:24:41         E75S         D         77,0         81,4         91,3           1         20-11-2020 10:26:52         E75S         D         76,4         80,6         90,7           1         20-11-2020 10:48:08         E195         D         80,0         85,4         93,4           1         20-11-2020 11:03:37         DH8D         D         70,3         73,0         81,7           1         20-11-2020 11:05:43         DH8D         D         70,8         71,9         81,6           1         20-11-2020 11:07:17         C295         D         73,5         75,9         82,5           1         20-				+			
1         20-11-2020 08:54:35         M28         D         71,0         73,2         82,8           1         20-11-2020 09:29:04         E75S         D         76,7         81,9         91,8           1         20-11-2020 10:04:56         E75S         D         76,5         80,2         90,2           1         20-11-2020 10:24:41         E75S         D         76,5         80,2         90,2           1         20-11-2020 10:26:52         E75S         D         77,0         81,4         91,3           1         20-11-2020 10:26:52         E75S         D         76,4         80,6         90,7           1         20-11-2020 10:35:58         E170         D         76,1         80,4         90,7           1         20-11-2020 11:03:37         DH8D         D         76,1         80,4         90,7           1         20-11-2020 11:03:37         DH8D         D         70,8         71,9         81,6           1         20-11-2020 11:05:43         DH8D         D         70,8         71,9         81,6           1         20-11-2020 11:07:17         C295         D         73,5         75,9         82,5           1         20-	<u> </u>					· ·	
1         20-11-2020 09:29:04         E75S         D         76,7         81,9         91,8           1         20-11-2020 10:04:56         E75S         D         76,5         80,2         90,2           1         20-11-2020 10:19:58         DH8D         D         72,6         74,5         83,7           1         20-11-2020 10:26:52         E75S         D         77,0         81,4         91,3           1         20-11-2020 10:26:52         E75S         D         76,4         80,6         90,7           1         20-11-2020 10:35:58         E170         D         76,1         80,4         90,7           1         20-11-2020 10:35:58         E170         D         76,1         80,4         90,7           1         20-11-2020 11:30:37         DH8D         D         70,3         73,0         81,7           1         20-11-2020 11:05:43         DH8D         D         70,8         71,9         81,6           1         20-11-2020 11:19:26         C295         D         73,5         75,9         82,5           1         20-11-2020 11:39:26         C295         D         77,6         81,8         91,2           1         20	<u> </u>			+			
1         20-11-2020 10:04:56         E75S         D         76,5         80,2         90,2           1         20-11-2020 10:19:58         DH8D         D         72,6         74,5         83,7           1         20-11-2020 10:24:41         E75S         D         77,0         81,4         91,3           1         20-11-2020 10:26:52         E75S         D         76,4         80,6         90,7           1         20-11-2020 10:35:58         E170         D         76,1         80,4         90,7           1         20-11-2020 10:35:58         E170         D         76,1         80,4         90,7           1         20-11-2020 10:35:58         E170         D         76,1         80,4         90,7           1         20-11-2020 11:03:37         DH8D         D         70,3         73,0         81,7           1         20-11-2020 11:05:43         DH8D         D         70,8         71,9         81,6           1         20-11-2020 11:07:17         C295         D         73,5         75,9         82,5           1         20-11-2020 11:93:39         E75S         D         77,6         81,7         91,0           1         20							-
1         20-11-2020 10:19:58         DH8D         D         72,6         74,5         83,7           1         20-11-2020 10:24:41         E75S         D         77,0         81,4         91,3           1         20-11-2020 10:26:52         E75S         D         76,4         80,6         90,7           1         20-11-2020 10:35:58         E170         D         76,1         80,4         90,7           1         20-11-2020 10:48:08         E195         D         80,0         85,4         93,4           1         20-11-2020 11:03:37         DH8D         D         70,3         73,0         81,7           1         20-11-2020 11:03:37         DH8D         D         70,8         71,9         81,6           1         20-11-2020 11:03:37         DH8D         D         70,8         71,9         81,6           1         20-11-2020 11:07:17         C295         D         73,5         75,9         82,5           1         20-11-2020 11:9:26         C295         D         72,8         75,1         86,0           1         20-11-2020 12:3:104         E75S         D         77,6         81,8         91,2           1         20-			+		•	· ·	
1         20-11-2020 10:24:41         E75S         D         77,0         81,4         91,3           1         20-11-2020 10:26:52         E75S         D         76,4         80.6         90,7           1         20-11-2020 10:35:58         E170         D         76,1         80,4         90,7           1         20-11-2020 10:48:08         E195         D         80,0         85,4         93,4           1         20-11-2020 11:03:37         DH8D         D         70,3         73,0         81,7           1         20-11-2020 11:05:43         DH8D         D         70,8         71,9         81,6           1         20-11-2020 11:07:17         C295         D         73,5         75,9         82,5           1         20-11-2020 11:19:26         C295         D         72,8         75,1         86,0           1         20-11-2020 11:19:26         C295         D         77,6         81,7         91,0           1         20-11-2020 11:19:39:39         E75S         D         77,6         81,8         91,2           1         20-11-2020 12:31:04         E75S         D         77,6         81,8         91,2           1 <td< td=""><td></td><td></td><td></td><td></td><td></td><td></td><td>•</td></td<>							•
1         20-11-2020 10:26:52         E75S         D         76,4         80,6         90,7           1         20-11-2020 10:35:58         E170         D         76,1         80,4         90,7           1         20-11-2020 10:48:08         E195         D         80,0         85,4         93,4           1         20-11-2020 11:03:37         DH8D         D         70,3         73,0         81,7           1         20-11-2020 11:05:43         DH8D         D         70,8         71,9         81,6           1         20-11-2020 11:07:17         C295         D         73,5         75,9         82,5           1         20-11-2020 11:39:39         E75S         D         77,6         81,7         91,0           1         20-11-2020 11:39:39         E75S         D         77,6         81,8         91,2           1         20-11-2020 12:46:46         E75S         D         77,6         81,8         91,2           1         20-11-2020 13:24:05         E75S         D         78,3         82,3         91,3           1         20-11-2020 14:29:38         A775         D         72,0         73,1         82,8           1         20							
1         20-11-2020 10:35:58         E170         D         76,1         80,4         90,7           1         20-11-2020 10:48:08         E195         D         80,0         85,4         93,4           1         20-11-2020 11:03:37         DH8D         D         70,3         73,0         81,7           1         20-11-2020 11:05:43         DH8D         D         70,8         71,9         81,6           1         20-11-2020 11:07:17         C295         D         73,5         75,9         82,5           1         20-11-2020 11:19:26         C295         D         72,8         75,1         86,0           1         20-11-2020 11:39:39         E75S         D         77,6         81,7         91,0           1         20-11-2020 12:31:04         E75S         D         77,6         81,8         91,2           1         20-11-2020 12:46:46         E75L         D         78,3         82,3         91,3           1         20-11-2020 13:24:05         E75S         D         78,7         83,5         92,7           1         20-11-2020 14:29:38         A775         D         78,7         83,5         92,7           1         20					•		,
1         20-11-2020 10:48:08         E195         D         80,0         85,4         93,4           1         20-11-2020 11:03:37         DH8D         D         70,3         73,0         81,7           1         20-11-2020 11:05:43         DH8D         D         70,8         71,9         81,6           1         20-11-2020 11:07:17         C295         D         73,5         75,9         82,5           1         20-11-2020 11:19:26         C295         D         77,6         81,7         91,0           1         20-11-2020 11:39:39         E75S         D         77,6         81,7         91,0           1         20-11-2020 12:46:46         E75S         D         77,6         81,8         91,2           1         20-11-2020 12:46:46         E75L         D         78,3         82,3         91,3           1         20-11-2020 13:24:05         E75S         D         78,7         83,5         92,7           1         20-11-2020 14:29:38         AT75         D         72,0         73,1         82,8           1         20-11-2020 14:29:33         AT75         D         72,0         73,1         82,8           1         20	-		-		•	· ·	
1         20-11-2020 11:03:37         DH8D         D         70,3         73,0         81,7           1         20-11-2020 11:05:43         DH8D         D         70,8         71,9         81,6           1         20-11-2020 11:07:17         C295         D         73,5         75,9         82,5           1         20-11-2020 11:19:26         C295         D         72,8         75,1         86,0           1         20-11-2020 11:39:39         E75S         D         77,6         81,7         91,0           1         20-11-2020 12:31:04         E75S         D         77,6         81,8         91,2           1         20-11-2020 12:46:46         E75L         D         78,3         82,3         91,3           1         20-11-2020 13:24:05         E75S         D         78,7         83,5         92,7           1         20-11-2020 14:29:38         A775         D         72,0         73,1         82,8           1         20-11-2020 14:57:03         PRM1         D         72,2         75,4         86,7           1         20-11-2020 15:52:01         B738         D         80,9         86,7         95,3           1         20					•	· ·	
1         20-11-2020 11:05:43         DH8D         D         70,8         71,9         81,6           1         20-11-2020 11:07:17         C295         D         73,5         75,9         82,5           1         20-11-2020 11:19:26         C295         D         72,8         75,1         86,0           1         20-11-2020 11:39:39         E75S         D         77,6         81,7         91,0           1         20-11-2020 12:31:04         E75S         D         77,6         81,8         91,2           1         20-11-2020 12:46:46         E75L         D         78,3         82,3         91,3           1         20-11-2020 13:24:05         E75S         D         78,7         83,5         92,7           1         20-11-2020 14:29:38         AT75         D         72,0         73,1         82,8           1         20-11-2020 14:57:03         PRM1         D         72,2         75,4         86,7           1         20-11-2020 15:12:41         B733         D         79,4         84,9         93,0           1         20-11-2020 16:00:09         C295         D         72,2         73,7         81,2           1         20			+			· ·	
1         20-11-2020 11:07:17         C295         D         73,5         75,9         82,5           1         20-11-2020 11:19:26         C295         D         72,8         75,1         86,0           1         20-11-2020 11:39:39         E758         D         77,6         81,7         91,0           1         20-11-2020 12:31:04         E758         D         77,6         81,8         91,2           1         20-11-2020 12:46:46         E75L         D         78,3         82,3         91,3           1         20-11-2020 13:24:05         E75S         D         78,7         83,5         92,7           1         20-11-2020 14:29:38         AT75         D         72,0         73,1         82,8           1         20-11-2020 14:57:03         PRM1         D         72,2         75,4         86,7           1         20-11-2020 15:12:41         B733         D         79,4         84,9         93,0           1         20-11-2020 15:52:01         B738         D         80,9         86,7         95,3           1         20-11-2020 16:00:09         C295         D         72,2         73,7         81,2           1         20					•	· ·	
1         20-11-2020 11:19:26         C295         D         72,8         75,1         86,0           1         20-11-2020 11:39:39         E76S         D         77,6         81,7         91,0           1         20-11-2020 12:31:04         E76S         D         77,6         81,8         91,2           1         20-11-2020 12:46:46         E75L         D         78,3         82,3         91,3           1         20-11-2020 13:24:05         E75S         D         78,7         83,5         92,7           1         20-11-2020 14:29:38         AT75         D         72,0         73,1         82,8           1         20-11-2020 14:57:03         PRM1         D         72,2         75,4         86,7           1         20-11-2020 15:12:41         B733         D         79,4         84,9         93,0           1         20-11-2020 15:52:01         B738         D         80,9         86,7         95,3           1         20-11-2020 16:00:09         C295         D         72,2         73,7         81,2           1         20-11-2020 16:34:33         D         B0,7         84,9         93,2           1         20-11-2020 16:34:22			+		•	· ·	
1         20-11-2020 11:39:39         E75S         D         77,6         81,7         91,0           1         20-11-2020 12:31:04         E75S         D         77,6         81,8         91,2           1         20-11-2020 12:46:46         E75L         D         78,3         82,3         91,3           1         20-11-2020 13:24:05         E75S         D         78,7         83,5         92,7           1         20-11-2020 14:29:38         AT75         D         72,0         73,1         82,8           1         20-11-2020 14:57:03         PRM1         D         72,2         75,4         86,7           1         20-11-2020 15:12:41         B733         D         79,4         84,9         93,0           1         20-11-2020 15:52:01         B738         D         80,9         86,7         95,3           1         20-11-2020 16:00:09         C295         D         72,2         73,7         81,2           1         20-11-2020 16:30:39         A319         D         80,7         84,9         93,2           1         20-11-2020 16:34:22         DH8D         D         77,7         81,5         92,0           1         20	-				•		
1         20-11-2020 12:31:04         E75S         D         77,6         81,8         91,2           1         20-11-2020 12:46:46         E75L         D         78,3         82,3         91,3           1         20-11-2020 13:24:05         E75S         D         78,7         83,5         92,7           1         20-11-2020 14:29:38         AT75         D         72,0         73,1         82,8           1         20-11-2020 14:57:03         PRM1         D         72,2         75,4         86,7           1         20-11-2020 15:12:41         B733         D         79,4         84,9         93,0           1         20-11-2020 15:52:01         B738         D         80,9         86,7         95,3           1         20-11-2020 16:00:09         C295         D         72,2         73,7         81,2           1         20-11-2020 16:00:09         C295         D         74,7         77,3         88,1           1         20-11-2020 16:30:39         A319         D         80,7         84,9         93,2           1         20-11-2020 16:34:22         DH8D         D         77,7         81,5         92,0           1         20					•	· ·	
1         20-11-2020 12:46:46         E75L         D         78,3         82,3         91,3           1         20-11-2020 13:24:05         E75S         D         78,7         83,5         92,7           1         20-11-2020 14:29:38         AT75         D         72,0         73,1         82,8           1         20-11-2020 14:57:03         PRM1         D         72,2         75,4         86,7           1         20-11-2020 15:12:41         B733         D         79,4         84,9         93,0           1         20-11-2020 15:52:01         B738         D         80,9         86,7         95,3           1         20-11-2020 16:00:09         C295         D         72,2         73,7         81,2           1         20-11-2020 16:30:39         A319         D         80,7         77,3         88,1           1         20-11-2020 16:34:22         DH8D         D         77,7         81,5         92,0           1         20-11-2020 16:39:27         E170         D         78,3         82,8         92,3           1         20-11-2020 16:41:25         E170         D         72,5         74,1         83,3           1         20					•	· ·	
1       20-11-2020 13:24:05       E75S       D       78,7       83,5       92,7         1       20-11-2020 14:29:38       AT75       D       72,0       73,1       82,8         1       20-11-2020 14:57:03       PRM1       D       72,2       75,4       86,7         1       20-11-2020 15:12:41       B733       D       79,4       84,9       93,0         1       20-11-2020 15:52:01       B738       D       80,9       86,7       95,3         1       20-11-2020 16:00:09       C295       D       72,2       73,7       81,2         1       20-11-2020 16:24:43       DH8D       D       74,7       77,3       88,1         1       20-11-2020 16:30:39       A319       D       80,7       84,9       93,2         1       20-11-2020 16:34:22       DH8D       D       77,7       81,5       92,0         1       20-11-2020 16:39:27       E170       D       78,3       82,8       92,3         1       20-11-2020 16:41:25       E170       D       72,5       74,1       83,3         1       20-11-2020 16:43:04       DH8D       D       72,7       73,9       82,2 <td< td=""><td></td><td></td><td>+</td><td></td><td>•</td><td>· ·</td><td>· ·</td></td<>			+		•	· ·	· ·
1       20-11-2020 14:29:38       AT75       D       72,0       73,1       82,8         1       20-11-2020 14:57:03       PRM1       D       72,2       75,4       86,7         1       20-11-2020 15:12:41       B733       D       79,4       84,9       93,0         1       20-11-2020 15:52:01       B738       D       80,9       86,7       95,3         1       20-11-2020 16:00:09       C295       D       72,2       73,7       81,2         1       20-11-2020 16:24:43       DH8D       D       74,7       77,3       88,1         1       20-11-2020 16:30:39       A319       D       80,7       84,9       93,2         1       20-11-2020 16:34:22       DH8D       D       77,7       81,5       92,0         1       20-11-2020 16:39:27       E170       D       78,3       82,8       92,3         1       20-11-2020 16:41:25       E170       D       72,5       74,1       83,3         1       20-11-2020 16:43:04       DH8D       D       79,3       83,5       93,1				_	•		
1       20-11-2020 14:57:03       PRM1       D       72,2       75,4       86,7         1       20-11-2020 15:12:41       B733       D       79,4       84,9       93,0         1       20-11-2020 15:52:01       B738       D       80,9       86,7       95,3         1       20-11-2020 16:00:09       C295       D       72,2       73,7       81,2         1       20-11-2020 16:24:43       DH8D       D       74,7       77,3       88,1         1       20-11-2020 16:30:39       A319       D       80,7       84,9       93,2         1       20-11-2020 16:34:22       DH8D       D       77,7       81,5       92,0         1       20-11-2020 16:39:27       E170       D       78,3       82,8       92,3         1       20-11-2020 16:41:25       E170       D       72,5       74,1       83,3         1       20-11-2020 16:43:04       DH8D       D       79,3       83,5       93,1	<u> </u>		+		•	· ·	•
1       20-11-2020 15:12:41       B733       D       79,4       84,9       93,0         1       20-11-2020 15:52:01       B738       D       80,9       86,7       95,3         1       20-11-2020 16:00:09       C295       D       72,2       73,7       81,2         1       20-11-2020 16:24:43       DH8D       D       74,7       77,3       88,1         1       20-11-2020 16:30:39       A319       D       80,7       84,9       93,2         1       20-11-2020 16:34:22       DH8D       D       77,7       81,5       92,0         1       20-11-2020 16:39:27       E170       D       78,3       82,8       92,3         1       20-11-2020 16:41:25       E170       D       72,5       74,1       83,3         1       20-11-2020 16:43:04       DH8D       D       79,3       83,5       93,1				+			
1       20-11-2020 15:52:01       B738       D       80,9       86,7       95,3         1       20-11-2020 16:00:09       C295       D       72,2       73,7       81,2         1       20-11-2020 16:24:43       DH8D       D       74,7       77,3       88,1         1       20-11-2020 16:30:39       A319       D       80,7       84,9       93,2         1       20-11-2020 16:34:22       DH8D       D       77,7       81,5       92,0         1       20-11-2020 16:39:27       E170       D       78,3       82,8       92,3         1       20-11-2020 16:41:25       E170       D       72,5       74,1       83,3         1       20-11-2020 16:43:04       DH8D       D       72,7       73,9       82,2         1       20-11-2020 16:48:26       DH8D       D       79,3       83,5       93,1					•	· ·	,
1     20-11-2020 16:00:09     C295     D     72,2     73,7     81,2       1     20-11-2020 16:24:43     DH8D     D     74,7     77,3     88,1       1     20-11-2020 16:30:39     A319     D     80,7     84,9     93,2       1     20-11-2020 16:34:22     DH8D     D     77,7     81,5     92,0       1     20-11-2020 16:39:27     E170     D     78,3     82,8     92,3       1     20-11-2020 16:41:25     E170     D     72,5     74,1     83,3       1     20-11-2020 16:43:04     DH8D     D     72,7     73,9     82,2       1     20-11-2020 16:48:26     DH8D     D     79,3     83,5     93,1	<u> </u>				•		
1     20-11-2020 16:24:43     DH8D     D     74,7     77,3     88,1       1     20-11-2020 16:30:39     A319     D     80,7     84,9     93,2       1     20-11-2020 16:34:22     DH8D     D     77,7     81,5     92,0       1     20-11-2020 16:39:27     E170     D     78,3     82,8     92,3       1     20-11-2020 16:41:25     E170     D     72,5     74,1     83,3       1     20-11-2020 16:43:04     DH8D     D     72,7     73,9     82,2       1     20-11-2020 16:48:26     DH8D     D     79,3     83,5     93,1	-				•		
1     20-11-2020 16:30:39     A319     D     80,7     84,9     93,2       1     20-11-2020 16:34:22     DH8D     D     77,7     81,5     92,0       1     20-11-2020 16:39:27     E170     D     78,3     82,8     92,3       1     20-11-2020 16:41:25     E170     D     72,5     74,1     83,3       1     20-11-2020 16:43:04     DH8D     D     72,7     73,9     82,2       1     20-11-2020 16:48:26     DH8D     D     79,3     83,5     93,1			+	D	•		
1     20-11-2020 16:34:22     DH8D     D     77,7     81,5     92,0       1     20-11-2020 16:39:27     E170     D     78,3     82,8     92,3       1     20-11-2020 16:41:25     E170     D     72,5     74,1     83,3       1     20-11-2020 16:43:04     DH8D     D     72,7     73,9     82,2       1     20-11-2020 16:48:26     DH8D     D     79,3     83,5     93,1					•		
1     20-11-2020 16:39:27     E170     D     78,3     82,8     92,3       1     20-11-2020 16:41:25     E170     D     72,5     74,1     83,3       1     20-11-2020 16:43:04     DH8D     D     72,7     73,9     82,2       1     20-11-2020 16:48:26     DH8D     D     79,3     83,5     93,1					•	· ·	
1     20-11-2020 16:41:25     E170     D     72,5     74,1     83,3       1     20-11-2020 16:43:04     DH8D     D     72,7     73,9     82,2       1     20-11-2020 16:48:26     DH8D     D     79,3     83,5     93,1			-		•	· ·	
1     20-11-2020 16:43:04     DH8D     D     72,7     73,9     82,2       1     20-11-2020 16:48:26     DH8D     D     79,3     83,5     93,1			-	+	•		
1 20-11-2020 16:48:26 DH8D D 79,3 83,5 93,1	-				•		
			+		•		•
р т р 20-11-2020 16:56:15 р E/5S р D р /8,1 р 82.5 р 92.3	1	20-11-2020 16:56:15	E75S	D	78,1	82,5	92,3

Nr punktu pomiarowego	Data i godz. zdarzenia	Samolot	Operacja*	L <sub>Aeq</sub>	L <sub>Amax</sub>	L <sub>AE</sub>
1	20-11-2020 16:58:13	E195	D	78,5	83,9	92,5
1	20-11-2020 17:00:13	E170	D	78,9	83,7	92,3
1	20-11-2020 17:01:44	B738	D	77,6	82,5	92,0
1	20-11-2020 17:10:19	E75S	D	75,9	81,1	90,9
1	20-11-2020 17:11:45	E75S	D	79,0	83,2	93,2
1	20-11-2020 17:13:07	E75S	D	76,1	80,0	90,9
1	20-11-2020 17:15:10	E170	D	77,1	81,7	91,4
1	20-11-2020 17:17:58	M28	D	73,5	75,0	83,1
1	20-11-2020 17:20:00	E75S	D	76,5	79,9	90,3
1	20-11-2020 17:23:47	E170	D	77,6	82,3	91,6
1	20-11-2020 17:28:42	E75S	D	77,9	82,1	92,0
1	20-11-2020 17:43:46	FA7X	D	78,2	82,6	93,4
1	20-11-2020 17:45:11	E75S	D	78,2	81,6	91,7
1	20-11-2020 18:02:13	CRJ9	D	74,2	78,8	87,9
1	20-11-2020 18:12:31	DH8D	D	72,8	74,4	83,2
1	20-11-2020 18:15:52	DH8D	D	76,0	79,2	90,1
1	20-11-2020 18:20:05	CL30	D	77,1	81,7	90,1
1	20-11-2020 19:11:10	C56X	D	72,3	74,0	82,7
1	20-11-2020 19:28:16	DH8D	D	71,6	72,5	80,6
1	20-11-2020 19:45:23	A333	D	82,0	87,0	95,7
1	20-11-2020 20:54:48	BE40	D	74,2	77,7	89,3
1	20-11-2020 21:23:27	A21N	D	81,6	86,6	93,9
1	20-11-2020 21:38:13	B734	D	77,3	81,6	91,5
1	20-11-2020 21:41:11	B762	D	79,7	84,3	94,2
1	20-11-2020 21:46:53	A306	D	78,9	83,7	93,6
1	21-11-2020 06:06:26	E190	D	78,8	83,6	91,1
1	21-11-2020 06:16:31	A21N	D	77,9	81,3	88,7
1	21-11-2020 06:28:16	B738	D	83,1	88,3	95,9
1	21-11-2020 07:16:24	A319	D	76,1	79,5	88,1
1	21-11-2020 07:31:36	B738	D	82,0	87,4	94,6
1	21-11-2020 07:40:43	E190	D	77,7	82,0	89,7
1	21-11-2020 08:42:47	A320	D	79,5	82,8	91,8
1	21-11-2020 08:56:15	PRM1	D	79,6	83,7	90,4
1	21-11-2020 09:20:50	C680	D	72,5	75,1	83,7
1	21-11-2020 09:37:59	AT75	D	74,2	78,0	85,4
1	21-11-2020 10:11:51	P180	D	79,1	84,6	91,9
1	21-11-2020 10:45:04	E190	D	79,1	84,5	92,5
1	21-11-2020 12:18:31	B738	D	83,3	89,4	96,5
1	21-11-2020 12:29:53	A21N	D	79,8	84,6	91,6
1	21-11-2020 12:51:35	E190	D	78,7	83,4	91,7
1	21-11-2020 15:18:55	E170	D	80,0	85,6	93,6
1	21-11-2020 15:38:12	B735	D	78,2	83,0	91,2
1	21-11-2020 15:46:52	E75S	D	79,3	83,8	92,3
1	21-11-2020 15:49:11	E170	D	81,5	86,4	94,0
1	21-11-2020 15:55:03	E170	D	78,7	83,4	92,0
1	21-11-2020 15:56:38	E75S	D	78,7	83,5	92,3
1	21-11-2020 16:09:28	A319	D	75,2	79,6	89,5
1	21-11-2020 16:14:55	E170	D	79,9	86,1	93,3
1	21-11-2020 16:29:55	DH8D	D	72,8	75,5	83,2
1	21-11-2020 16:31:41	DH8D	D	74,5	77,4	86,6
1	21-11-2020 16:34:01	DH8D	D	72,6	73,8	81,6
1	21-11-2020 16:36:37	DH8D	D	72,4	74,8	84,7
1	21-11-2020 16:49:25	E195	D	81,2	85,8	93,7
1 1	21-11-2020 20:18:55 22-11-2020 06:26:53	E170 A21N	A D	82,3 76.1	87,8	92,8
		-		76,1	80,2	88,7
1	22-11-2020 07:07:59	A319	D	76,6	80,1	89,9
1	22-11-2020 09:32:49	E75S	D	78,9	82,8	92,9
1	22-11-2020 10:31:27	E170	D	77,9	83,3	92,2
I	22-11-2020 10:40:08	E195	D	79,1	85,3	93,0

Nr punktu pomiarowego	Data i godz. zdarzenia	Samolot	Operacja*	L <sub>Aeq</sub>	L <sub>Amax</sub>	L <sub>AE</sub>
pormarowego 1	22-11-2020 11:00:49	E170	D	76,6	80,7	90,5
1	22-11-2020 11:03:45	E75S	D	79,7	83,8	92,3
1	22-11-2020 11:45:42	E75S	D	78,1	82,8	92,3
1	22-11-2020 11:43:42	E190	D	74,9	79,3	87,9
1	22-11-2020 12:11:27	E75S	D	74,9	79,3	89,8
1	22-11-2020 12:23:47	A21N	D	79,3	82,9	91,1
1	22-11-2020 12:23:47	B789	D	78,2	82,9	91,0
1	22-11-2020 13:26:19	E195	D	79,2	83,2	92,2
1	22-11-2020 13:20:19	B77W	D	84,2	89,3	97,4
1	22-11-2020 15:07:06	E75S	D	77,1	80,8	90,3
1	22-11-2020 15:34:14	A20N	D	74,1	77,8	86,4
1	22-11-2020 15:55:43	E75S	D	74,1	82,6	91,7
1	22-11-2020 16:09:18	B738	D	82,0	87,3	95,3
1	22-11-2020 16:15:27	CRJ9	D	76,6	80,6	89,4
1	22-11-2020 16:28:01	DH8D	D	72,0	73,2	81,0
1	22-11-2020 16:34:18	DH8D	D	71,1	72,2	80,6
1	22-11-2020 16:36:02	E195	D	78,6	84,1	92,8
1	22-11-2020 16:36:02	E75S	D	79,3	84,3	92,8
1	22-11-2020 16:43:55	E170	D	77,8	83,0	92,9
1	22-11-2020 16:47:21	E75S	D	77,8	82,4	92,3
1	22-11-2020 16:47:21	E755	D	76,5	80,1	90,3
1	22-11-2020 16:51:35	PRM1	D	71,9	74,6	84,7
1	22-11-2020 16:54:52	E190	D	77,7	82,5	92,3
1	22-11-2020 17:00:37	E75S	D	76,1	80,3	90,3
1	22-11-2020 17:08:48	E170	D	77,2	80,9	91,0
1	22-11-2020 17:13:54	E75S	D	79,2	83,9	93,3
1	22-11-2020 17:15:26	E75S	D	79,1	82,8	91,9
1	22-11-2020 17:17:04	E170	D	75,5	79,9	90,2
1	22-11-2020 17:17:04	E170	D	76,7	81,8	91,3
1	22-11-2020 17:20:37	E75S	D	76,7	81,1	90,6
1	22-11-2020 17:22:33	E75S	D	77,5	81,0	90,7
1	22-11-2020 17:24:30	E170	D	78,4	82,6	92,7
1	22-11-2020 17:26:12	E75S	D	75,4	79,2	89,4
1	22-11-2020 17:27:49	E195	D	80,0	85,0	93,5
1	22-11-2020 17:37:57	E195	D	78,1	82,9	92,3
1	22-11-2020 17:39:29	A21N	D	79,2	83,7	91,5
1	22-11-2020 17:46:10	CRJ9	D	72,1	75,2	86,3
1	22-11-2020 19:00:16	E290	D	75,4	78,8	87,7
1	22-11-2020 19:18:54	A320	D	76,0	78,8	89,6
1	22-11-2020 19:37:05	A21N	D	78,0	81,9	90,1
1	22-11-2020 21:06:58	AT75	D	71,1	72,4	81,1
1	22-11-2020 21:36:20	E75S	D	77,6	81,4	91,0
1	23-11-2020 06:09:03	E190	D	79,3	84,1	93,1
1	23-11-2020 07:11:08	B734	D	76,1	81,1	90,5
1	23-11-2020 07:15:32	AT72	D	74,5	78,4	86,8
1	23-11-2020 07:22:00	DH8D	D	72,9	74,6	82,9
1	23-11-2020 07:23:49	E75S	D	78,6	82,7	92,0
1	23-11-2020 07:29:57	E170	D	80,1	85,7	93,5
1	23-11-2020 07:31:29	E170	D	79,0	84,4	93,3
1	23-11-2020 07:32:45	E75S	D	77,0	81,2	91,4
1	23-11-2020 07:39:06	E170	D	77,9	82,0	91,5
1	23-11-2020 07:40:28	E190	D	75,3	78,6	89,6
1	23-11-2020 07:45:55	E195	D	79,9	84,5	93,5
1	23-11-2020 07:51:37	E190	D	77,4	80,9	90,6
1	23-11-2020 07:52:41	B738	D	80,8	88,1	96,0
1	23-11-2020 07:56:04	E75S	D	79,8	84,1	93,1
1	23-11-2020 08:01:28	DH8D	D	70,5	71,6	79,5
1	23-11-2020 08:06:27	E75S	D	78,8	82,2	93,0

Nr punktu				L <sub>Aeq</sub>	L <sub>Amax</sub>	LAE
pomiarowego	Data i godz. zdarzenia	Samolot	Operacja*	[dB]	[dB]	[dB]
1	23-11-2020 08:16:34	SF34	D	75,9	79,0	85,5
1	23-11-2020 08:19:46	E75S	D	79,3	84,0	92,9
1	23-11-2020 08:58:24	B738	D	78,0	81,7	91,6
1	23-11-2020 09:26:43	DH8D	D	70,9	73,4	80,9
1	23-11-2020 09:39:25	A320	D	79,7	84,5	93,9
1	23-11-2020 09:41:25	AT75	D	73,3	74,6	82,3
1	23-11-2020 10:40:02	E75S	D	79,5	83,8	93,6
1	23-11-2020 11:01:26	DH8D	D	70,3	71,3	79,3
1	23-11-2020 11:58:51	P180	D	78,4	84,5	92,7
1	23-11-2020 12:05:30	DH8D	D	73,5	77,6	83,9
1	23-11-2020 12:48:05	E75L	D	76,0	81,0	89,6
1	23-11-2020 13:30:07	E195	D	77,7	83,2	91,1
1	23-11-2020 14:20:02	E75S	D	78,3	81,6	91,9
1	23-11-2020 14:42:10	GLF5	D	74,2	76,5	85,0
1	23-11-2020 14:54:40	E170	D	75,8	82,1	91,1
1	23-11-2020 14:56:34	E75L	D	77,1	82,1	91,5
1	23-11-2020 15:10:11	E170	D	78,5	83,4	92,8
1	23-11-2020 15:12:16	DH8D	D	72,4	74,9	85,4
1	23-11-2020 15:25:16	A320	D	74,9	77,0	88,5
1	23-11-2020 15:39:42	E75S	D	77,2	81,1	91,8
1	23-11-2020 15:44:55	E75S	D	77,6	82,0	92,4
1	23-11-2020 15:54:31	E75S	D	79,3	85,9	93,7
1	23-11-2020 15:56:46	E75S	D	78,3	82,3	92,5
1	23-11-2020 16:01:50	E170	D	77,9	84,6	92,3
1	23-11-2020 16:03:21	E190	D	76,8	81,8	91,7
1	23-11-2020 16:05:45	E75S	D	75,7	79,3	90,8
1	23-11-2020 16:11:15	E75S	D	79,1	83,5	93,4
1	23-11-2020 16:17:47	E195	D	79,6	84,9	93,0
1	23-11-2020 16:19:37	E75S	D	76,8	81,9	91,7
1	23-11-2020 16:31:48	DH8D	D	71,5	73,1	81,5
1	23-11-2020 16:37:54	DH8D	D	71,0	72,0	80,0
1	23-11-2020 16:44:34	E75S	D	77,1	82,4	91,9
1	23-11-2020 18:12:56	DH8D	D	70,7	71,7	81,1
1	23-11-2020 18:15:26	AT72	D	71,4	72,4	80,9
1	23-11-2020 19:08:45	ATP	D	75,7	81,0	87,2
1	23-11-2020 21:07:43	AT72	D	72,8	74,6	82,4
1	23-11-2020 21:23:44	B752	D	77,2	81,1	91,0
1	23-11-2020 21:57:25	B752	D	78,4	82,1	92,4
1	24-11-2020 06:08:14	E190	D	78,0	83,5	92,3
1	24-11-2020 07:07:16	A319	D	76,8	80,2	90,0
1	24-11-2020 07:32:17	E170	D	77,5	81,8	91,7
1	24-11-2020 07:40:02	E75S	D	79,5	84,7	93,6
1	24-11-2020 07:49:41	B734	D	76,9	80,5	90,5
1	24-11-2020 08:07:20	PC12	D	71,5	74,5	81,9
1	24-11-2020 08:10:21	E170	D	79,0	84,2	92,6
1	24-11-2020 08:37:46	A320	D	78,2	81,9	91,6
1	24-11-2020 08:40:14	C130	D	88,7	96,4	100,5
1	24-11-2020 08:43:35	SF34	D	74,1	75,7	84,5
1	24-11-2020 09:06:43	AT75	D	74,2	76,6	85,9
1	24-11-2020 09:46:03	TBM8	D	74,9	77,6	84,4
1	24-11-2020 13:27:00	E75S	D	79,3	85,5	93,8
1	24-11-2020 14:00:26	B789	D	78,9	82,6	91,0
1	24-11-2020 14:07:48	B738	D	77,9	81,3	91,3
1	24-11-2020 14:37:34	GLF5	D	74,4	79,4	87,2
1	24-11-2020 15:17:05	E75S	D	78,1	82,1	92,1
1	24-11-2020 15:49:37	B738	D	83,7	88,5	95,5
1	24-11-2020 15:51:03	E170	D	79,3	85,5	93,7
1	24-11-2020 15:58:35	DH8D	D	71,4	72,5	80,4
1	24-11-2020 16:23:22	DH8D	D	72,6	73,7	82,2

Nr punktu	Data i godz. zdarzenia	Samolat	Operacia*	L <sub>Aeq</sub>	L <sub>Amax</sub>	LAE
pomiarowego	Data i godž. Zdarženia	Samolot	Operacja*	[dB]	[dB]	[dB]
1	24-11-2020 16:54:50	AT72	D	71,9	73,9	82,6
1	24-11-2020 16:57:23	E75S	D	78,5	82,7	92,1
1	24-11-2020 17:05:44	E75L	D	76,9	81,4	91,1
1	24-11-2020 18:01:25	DH8D	D	71,4	72,7	82,5
1	24-11-2020 18:04:22	C56X	D	71,9	75,3	84,9
1	24-11-2020 18:54:19	C25A	D	76,3	80,4	90,8
1	24-11-2020 21:06:04	AT72	D	71,5	73,2	83,0
1	24-11-2020 21:26:53	AT75	D	74,3	82,5	86,4
1	24-11-2020 21:30:52	E75S	D	77,2	81,0	90,7
1	24-11-2020 21:32:42	B762	D	72,9	75,4	86,8
1	24-11-2020 21:42:54	B734	D	78,8	83,5	92,9
1	24-11-2020 21:58:28	A306	D	79,8	83,7	94,4
1	25-11-2020 06:39:27	E190	D	78,7	83,2	91,5
1	25-11-2020 07:09:52	SF34	D	75,9	79,5	86,7
1	25-11-2020 07:17:31	B734	D	77,2	83,2	92,3
1	25-11-2020 07:19:55	A319	D	75,3	79,0	89,6
1	25-11-2020 07:50:04	E190	D	76,9	82,5	91,7
1	25-11-2020 07:55:55	E75S	D	76,8	80,6	90,8
1	25-11-2020 08:02:19	DH8D	D	71,9	74,8	81,9
1	25-11-2020 09:15:39	AT75	D	74,5	76,4	85,3
-	25-11-2020 09:17:32	GLF5	D	75,4	78,2	87,1
1	25-11-2020 09:22:20 25-11-2020 09:30:06	E75S B738	D D	79,9 78,6	84,4 83,0	92,9 92,6
						· ·
1	25-11-2020 09:51:48	E170	D	77,1	81,6	90,7
1	25-11-2020 10:10:27 25-11-2020 10:21:44	E75S E170	D D	78,7 78,5	82,9 83,6	92,1 92,4
1	25-11-2020 10:27:08	E75S	D	79,2	82,8	92,4
1	25-11-2020 10:27:00	E170	D	76,5	81,1	91,1
1	25-11-2020 10:46:11	DH8D	D	71,5	73,3	82,3
1	25-11-2020 10:51:02	DH8D	D	71,9	73,9	80,9
1	25-11-2020 11:03:25	DH8D	D	70,6	72,1	82,9
1	25-11-2020 11:04:53	E170	D	78,0	82,3	91,2
1	25-11-2020 12:07:38	DH8D	D	71,4	72,9	81,9
1	25-11-2020 12:11:40	E195	D	82,0	87,1	94,3
1	25-11-2020 12:22:19	E75S	D	76,5	81,8	91,1
1	25-11-2020 12:44:47	E75L	D	76,1	79,4	89,1
1	25-11-2020 12:49:50	GLEX	D	71,0	74,1	85,8
1	25-11-2020 13:11:02	B77W	D	83,3	88,1	95,9
1	25-11-2020 13:28:12	CL35	D	74,1	78,3	87,7
1	25-11-2020 13:49:07	AT72	D	72,5	74,2	81,6
1	25-11-2020 14:07:33	E55P	D	75,4	80,1	89,7
1	25-11-2020 14:55:54	B738	D	76,6	81,6	90,6
1	25-11-2020 16:06:18	B738	D	84,0	91,0	97,4
1	25-11-2020 16:29:32	DH8D	D	71,6	72,6	80,6
1	25-11-2020 16:34:22	DH8D	D	71,4	73,6	83,2
1	25-11-2020 16:37:53	E75S	D	80,9	86,6	94,4
1	25-11-2020 16:39:56	E75S	D	80,7	85,3	93,5
1	25-11-2020 16:41:57	DH8D	D	73,0	74,9	83,0
1	25-11-2020 16:43:08	E75L	D	76,3	79,5	89,3
1	25-11-2020 16:44:37	E75S	D	79,5	86,2	94,0
1	25-11-2020 16:46:17	E170	D	80,7	87,2	94,5
1	25-11-2020 16:52:19	E170	D	79,0	84,0	92,4
1	25-11-2020 16:59:18	E190	D	80,0	85,4	92,5
1	25-11-2020 17:05:05	E75S	D	79,5	85,1	93,3
1	25-11-2020 17:08:41	E75S	D	80,5	85,6	93,3
1	25-11-2020 17:11:24	E190	D	80,5	85,3	92,5
1	25-11-2020 17:41:56	E75S	D	80,9	86,6	94,5
1	25-11-2020 17:59:56	DH8D	D	73,2	74,4	82,8
1	25-11-2020 18:48:12	DH8D	Α	79,9	84,2	89,9

Nr punktu pomiarowego	Data i godz. zdarzenia	Samolot	Operacja*	LAeq	L <sub>Amax</sub>	LAE
porniarowego 1	25-11-2020 19:02:47	DH8D	A	[dB] 79,3	[dB] 83,5	[dB] 89,3
1	25-11-2020 19:07:16	B738	A	81,7	87,5	92,8
1	25-11-2020 19:07:10	A19N	A	81,7	87,6	93,2
1	25-11-2020 19:24:43	AT75	A	80,3	87,0	92,6
1	25-11-2020 20:02:56	C25A	A	80,2	82,9	89,7
1	25-11-2020 20:21:11	B734	A	83,6	90,4	94,7
1	25-11-2020 20:50:11	DH8D	A	79,9	84,5	89,9
1	25-11-2020 20:57:02	E190	A	81,2	87,0	92,0
1	25-11-2020 21:00:15	E75S	Α	81,3	86,3	91,3
1	25-11-2020 21:03:02	E75S	Α	80,1	85,7	90,9
1	25-11-2020 21:06:19	E75S	Α	79,3	86,0	91,4
1	25-11-2020 21:09:27	E195	Α	82,0	87,3	92,5
1	25-11-2020 21:11:33	E170	Α	80,5	85,9	91,3
1	25-11-2020 21:15:26	E170	Α	80,5	85,4	90,5
1	25-11-2020 21:25:33	E190	Α	81,5	87,6	92,9
1	25-11-2020 21:27:18	E75S	А	80,7	85,9	91,1
1	25-11-2020 21:29:05	E75S	Α	81,2	86,3	91,6
1	25-11-2020 21:42:59	E75S	Α	80,7	85,4	90,7
1	25-11-2020 21:48:08	B738	А	83,9	89,8	95,0
1	26-11-2020 06:30:59	E75L	D	77,5	81,8	90,9
1	26-11-2020 06:56:24	DH8D	D	71,0	71,7	80,0
1	26-11-2020 07:02:36	B738	D	82,7	89,4	96,7
1	26-11-2020 07:13:04	A319	D	78,1	81,1	91,4
1	26-11-2020 07:26:07	B734	D	76,5	81,3	90,2
1	26-11-2020 07:34:11	A21N	D	77,9	81,6	89,6
1	26-11-2020 07:41:55	E75S	D	77,7	82,2	91,5
1	26-11-2020 07:44:09	E75S	D	75,2	79,6	89,8
1	26-11-2020 07:51:29	E75S	D	76,6	80,0	90,0
1	26-11-2020 07:53:34	E75S	D	75,9	79,3	90,3
1	26-11-2020 08:01:01	B738	D	77,4	81,8	90,9
1	26-11-2020 08:02:52 26-11-2020 08:04:52	B738	D D	77,9	83,4	92,7
1		E170	D	77,9	81,9	91,4
1	26-11-2020 08:10:19	E195 E75S	D	77,5 76,6	82,3 80,2	90,7 90,0
1	26-11-2020 08:12:07 26-11-2020 08:21:51	E195	D			90,0
1	26-11-2020 08:25:31	E75S	D	78,5 78,2	82,9 82,1	90,8
1	26-11-2020 08:29:12	E170	D	76,7	81,1	91,1
1	26-11-2020 09:03:24	E55P	D	75,6	79,1	89,8
1	26-11-2020 09:14:18	AT75	D	71,9	72,9	84,7
1	26-11-2020 10:26:45	M28	D	70,8	72,1	81,6
1	26-11-2020 10:30:45	C295	D	72,5	75,6	84,6
1	26-11-2020 10:44:38	DH8D	D	71,9	74,1	83,4
1	26-11-2020 10:46:04	DH8D	D	71,3	71,8	81,3
1	26-11-2020 10:48:50	B763	D	75,5	78,3	88,9
1	26-11-2020 12:07:31	E75S	D	78,9	83,8	93,0
1	26-11-2020 13:02:01	E170	Α	71,5	72,6	82,6
1	26-11-2020 13:24:17	E75S	D	81,3	86,2	94,6
1	26-11-2020 13:40:08	GLF5	D	74,1	77,0	88,1
1	26-11-2020 13:42:37	AT72	D	72,3	73,9	84,6
1	26-11-2020 14:54:01	B738	D	76,5	80,9	90,3
1	26-11-2020 15:14:59	E170	D	80,3	85,7	93,5
1	26-11-2020 15:27:50	E195	D	80,2	86,3	93,9
1	26-11-2020 15:42:14	E75S	D	80,1	85,4	93,9
1	26-11-2020 15:43:55	E170	D	79,8	83,8	92,1
1	26-11-2020 15:46:33	DH8D	D	72,0	73,3	83,2
1	26-11-2020 15:52:50	E75S	D	78,4	82,7	92,2
1	26-11-2020 15:55:31	E75S	D	81,4	85,8	94,0
1	26-11-2020 16:01:39	E190	D	80,1	86,7	94,3
1	26-11-2020 16:06:49	E195	D	81,6	88,0	95,0

Nr punktu				L <sub>Aeq</sub>	L <sub>Amax</sub>	L <sub>AE</sub>
pomiarowego	Data i godz. zdarzenia	Samolot	Operacja*	[dB]	[dB]	[dB]
1	26-11-2020 16:09:53	E170	D	80,3	86,4	94,8
1	26-11-2020 16:12:26	E75S	D	80,9	86,2	94,3
1	26-11-2020 16:18:08	E75S	D	78,7	82,9	92,1
1	26-11-2020 16:21:44	DH8D	D	71,1	72,2	80,7
1	26-11-2020 16:24:29	E75S	D	80,1	85,2	93,7
1	26-11-2020 16:26:11	DH8D	D	72,7	73,9	81,7
1	26-11-2020 16:31:56	DH8D	D	74,9	77,7	86,1
1	26-11-2020 16:44:41	C130	D	82,5	89,7	95,7
1	26-11-2020 16:52:57	E75L	D	77,8	83,2	91,6
1	26-11-2020 16:55:23	C56X	D	75,1	79,6	87,7
1	26-11-2020 17:00:01	DH8D	D	71,3	73,3	82,0
1	26-11-2020 17:53:26	A21N	D	80,3	85,1	92,6
1	26-11-2020 18:04:33	DH8D	D	72,4	74,0	83,8
1	26-11-2020 18:11:16	E195	D	81,0	86,6	93,3
1	26-11-2020 19:04:04	ATP	D	77,5	80,0	87,0
1	26-11-2020 19:31:14	DH8D	D	69,6	70,3	79,1
1	26-11-2020 19:52:15	C295	D	73,6	75,9	84,7
1	26-11-2020 20:14:53	AT75	D	71,6	74,3	83,3
1	26-11-2020 21:09:11	AT72	D	73,7	75,3	83,7
1	26-11-2020 21:22:46	B762	D	78,9	83,5	92,5
1	26-11-2020 21:35:12	E75S	D	76,9	82,0	91,4
1	26-11-2020 21:48:27	B734	D	79,0	85,3	92,9
1	26-11-2020 21:58:39	A306	D	81,2	85,4	95,2
1	27-11-2020 06:14:50	E190	D	77,3	82,5	91,1
1	27-11-2020 07:10:38	A319	D	77,6	82,0	92,4
1	27-11-2020 07:20:54	B734	D	75,4	80,0	89,5
1	27-11-2020 07:28:49	E170	D	75,9	80,5	90,2
1	27-11-2020 07:30:38	DH8D	D	71,1	73,9	85,8
1	27-11-2020 09:05:22	AT75	D	73,7	75,4	84,5
1	27-11-2020 09:33:18	E75S	D	76,1	82,7	96,9
1	27-11-2020 09:38:09	GLF5	D	75,7	78,5	86,4
1	27-11-2020 09:55:14	E170	D	76,7	82,4	91,0
1	27-11-2020 09:57:27	B738	D	78,4	82,6	92,0
1	27-11-2020 10:10:13	E195	D	77,5	80,9	90,9
1	27-11-2020 10:20:57	E75S	D	77,9	82,4	91,3
1	27-11-2020 10:25:29	E170	D	77,0	82,4	91,8
1	27-11-2020 10:28:42	E170	D	77,3	81,1	90,5
1	27-11-2020 10:52:23	E170	D	77,5	81,8	91,1
1	27-11-2020 10:56:09	E195	D	78,8	83,4	92,1
1	27-11-2020 10:58:52	E195	D	76,6	82,1	91,0
1	27-11-2020 11:03:02 27-11-2020 11:08:29	DH8D DH8D	D D	71,6 71,2	73,2 72,6	83,9 83,0
1	27-11-2020 11:08:29	E75S	D	71,2	81,7	91,7
1	27-11-2020 11:35:59	P180	D	77,7	83,3	92,0
1	27-11-2020 11:43:20	PRM1	D	72,0	75,3	86,8
1	27-11-2020 12:13:39	DH8D	D	74,3	78,3	85,8
1	27-11-2020 12:13:33	DH8D	D	71,5	70,3	80,5
1	27-11-2020 13:00:50	E75L	D	75,8	79,7	90,1
1	27-11-2020 13:22:59	E75S	D	80,2	85,2	94,2
1	27-11-2020 14:03:35	PC12	D	72,4	75,3	81,5
1	27-11-2020 14:51:18	AT72	D	71,9	73,4	81,4
1	27-11-2020 15:24:44	B738	D	79,7	84,6	93,9
1	27-11-2020 15:49:00	A20N	D	74,1	78,3	87,1
1	27-11-2020 16:03:00	A19N	D	75,6	78,6	87,9
1	27-11-2020 16:05:13	B738	D	81,0	85,5	94,0
1	27-11-2020 16:34:21	DH8D	D	71,9	74,0	83,7
1	27-11-2020 16:38:23	E170	D	77,9	82,1	91,2
1	27-11-2020 16:40:24	DH8D	D	71,7	73,5	82,1
1	27-11-2020 16:41:53	DH8D	D	72,1	73,3	83,6
<u>.                                    </u>		1	1	· · · · · · · · · · · · · · · · · · ·		

Nr punktu	Data i goda, adaraania	Complet	Operacie*	L <sub>Aeq</sub>	L <sub>Amax</sub>	L <sub>AE</sub>
pomiarowego	Data i godz. zdarzenia	Samolot	Operacja*	[dB]	[dB]	[dB]
1	27-11-2020 16:43:28	E75S	D	80,0	85,7	94,7
1	27-11-2020 16:45:20	E195	D	80,6	85,5	93,6
1	27-11-2020 16:47:00	E195	D	79,1	84,7	92,9
1	27-11-2020 16:51:16	E75L	D	77,2	81,5	91,6
1	27-11-2020 16:55:19	DH8D	D	71,6	73,7	82,8
1	27-11-2020 16:57:50	B738	D	81,2	86,1	94,4
1	27-11-2020 16:59:22	E195	D	80,0	84,9	93,5
1	27-11-2020 17:00:44	E170	D	76,7	81,7	91,2
1	27-11-2020 17:07:29	E170	D	78,6	82,1	92,0
1	27-11-2020 17:14:03	E170	D	78,7	83,7	92,4
1	27-11-2020 17:25:11	E75S	D	77,4	81,0	91,7
1	27-11-2020 17:31:28	E75S	D	77,6	82,8	92,8
1	27-11-2020 17:43:35	E195	D	79,6	85,1	93,6
1	27-11-2020 17:55:52	E170	D	79,2	83,6	93,2
1	27-11-2020 18:08:53	DH8D	D	71,9	74,9	83,7
1	27-11-2020 19:33:25	DH8D A333	D	72,0	74,8	83,5
1	27-11-2020 19:43:49		D	81,6	86,6	95,9
1	27-11-2020 21:15:39	B763	D D	80,8	85,0	94,6
1	27-11-2020 21:20:37 27-11-2020 21:46:25	A21N B734	D	79,9 79,1	84,3 83,5	91,4 92,5
1	28-11-2020 21:46:25	A21N	D	79,1	83,4	92,5
1	28-11-2020 06:17:59	E190	D	79,3	84,1	93,0
1	28-11-2020 06:25:51	B738	D	81,8	86,1	94,8
1	28-11-2020 07:21:39	A319	D	78,7	81,9	92,2
1	28-11-2020 07:23:51	B738	D	82,2	87,6	95,2
1	28-11-2020 07:41:41	E190	D	80,1	85,4	93,6
1	28-11-2020 08:36:00	A320	D	79,3	84,1	92,5
1	28-11-2020 09:45:20	AT75	D	73,9	76,2	83,9
1	28-11-2020 10:51:28	E195	D	81,7	87,6	95,7
1	28-11-2020 12:28:11	A21N	D	77,7	83,8	91,3
1	28-11-2020 15:07:52	E195	D	78,1	83,2	91,4
1	28-11-2020 15:10:09	E170	D	78,0	82,5	91,2
1	28-11-2020 15:26:58	C25M	D	76,8	79,7	87,9
1	28-11-2020 15:50:28	E170	D	81,6	87,2	94,8
1	28-11-2020 15:53:21	E170	D	78,4	83,3	91,7
1	28-11-2020 15:55:29	E75S	D	80,2	85,0	93,0
1	28-11-2020 15:56:53	E170	D	78,3	83,4	91,6
1	28-11-2020 15:58:23	E75S	D	79,9	84,5	93,0
1	28-11-2020 15:59:52	E75S	D	77,8	82,3	91,4
1	28-11-2020 16:26:19	DH8D	D	73,5	76,7	85,0
1	28-11-2020 16:27:31	E170	D	78,7	83,3	92,5
1	28-11-2020 16:28:59	B738	D D	80,2	85,4	93,0
1	28-11-2020 16:34:42 28-11-2020 17:01:59	DH8D E190	D	72,7 77,6	74,2 83,3	83,8 91,6
1	29-11-2020 06:18:14	E190	D	80,7	86,2	94,3
1	29-11-2020 00:16:14	A319	D	79,2	83,0	94,3
1	29-11-2020 07:24:39	B738	D	85,4	91,2	98,8
1	29-11-2020 09:00:42	B738	D	83,6	89,2	96,4
1	29-11-2020 09:16:49	B738	D	85,2	90,8	98,4
1	29-11-2020 09:30:00	E75S	D	79,9	84,7	93,3
1	29-11-2020 10:25:06	E170	D	79,0	83,5	91,8
1	29-11-2020 10:30:23	A21N	D	80,9	86,3	92,4
1	29-11-2020 10:31:58	E170	D	78,3	82,9	91,4
1	29-11-2020 10:35:06	E170	D	77,9	83,0	90,9
1	29-11-2020 10:44:57	E195	D	82,7	88,0	95,0
1	29-11-2020 11:12:37	E75S	D	80,8	84,3	92,8
1	29-11-2020 11:41:20	E75S	D	79,0	83,7	92,0
1	29-11-2020 12:08:34	E190	D	77,8	82,3	90,4
1	29-11-2020 12:23:49	E75S	D	77,4	82,0	90,6

Nr punktu pomiarowego	Data i godz. zdarzenia	Samolot	Operacja*	L <sub>Aeq</sub>	L <sub>Amax</sub>	L <sub>AE</sub>
1	29-11-2020 12:39:44	A21N	D	79,3	84,9	91,1
1	29-11-2020 13:22:12	E195	D	81,3	87,1	94,7
1	29-11-2020 15:03:33	E75L	D	77,5	81,8	91,1
1	29-11-2020 15:09:12	F2TH	D	77,0	81,5	90,2
1	29-11-2020 15:39:52	A20N	D	76,7	79,9	89,1
1	29-11-2020 16:06:53	B738	D	84,8	90,5	97,1
1	29-11-2020 16:33:31	E170	D	80,4	85,5	93,4
1	29-11-2020 16:35:57	DH8D	D	74,0	75,7	83,6
1	29-11-2020 16:37:18	E75S	D	80,3	85,4	93,7
1	29-11-2020 16:45:18	DH8D	D	73,6	75,3	83,1
1	29-11-2020 16:50:58	E170	D	79,6	85,0	93,0
1	29-11-2020 16:53:19	E170	D	79,7	84,6	92,9
1	29-11-2020 17:06:49	E75S	D	80,4	85,2	93,6
1	29-11-2020 17:08:29	E195	D	82,5	88,4	95,0
1	29-11-2020 17:09:44	E75L	D	79,2	83,9	92,4
1	29-11-2020 17:11:05	E195	D	80,6	85,9	93,6
1	29-11-2020 17:12:22	E170	D	78,7	82,9	91,0
1	29-11-2020 17:16:08	E75S	D	80,0	84,4	92,6
1	29-11-2020 17:17:49	E75S	D	78,1	82,1	90,9
1	29-11-2020 17:28:33	E170	D	79,9	84,3	92,5
1	29-11-2020 17:34:29	E190	D	79,1	84,5	91,9
1	29-11-2020 17:50:20	A21N	D	81,4	86,8	93,1
1	29-11-2020 18:57:25	A320	D	78,4	82,1	91,2
1	29-11-2020 19:04:26	BCS3	D	74,1	76,6	84,9
1	29-11-2020 19:30:14	A21N	D	79,7	84,8	92,0
1	29-11-2020 21:46:57	E75S	D	77,7	81,7	91,1
1	30-11-2020 06:37:21	E190	D	77,4	82,9	91,4
1	30-11-2020 07:15:23	B734	D	76,8	81,7	90,2
1	30-11-2020 07:24:02	A319	D	76,1	78,7	88,9
1	30-11-2020 07:37:23	AT75	D	74,9	77,7	88,7
1	30-11-2020 07:40:10	E170	D	75,3	78,9	88,9
1	30-11-2020 07:41:34	E170	D	76,4	81,4	90,6
1	30-11-2020 07:43:49	DH8D	D	70,4	71,0	79,9
1	30-11-2020 07:46:05	E170	D	76,4	81,1	90,3
1	30-11-2020 07:51:45	E170	D	76,1	80,4	89,6
1	30-11-2020 07:54:29	E75S	D	76,1	79,6	89,6
1	30-11-2020 07:57:48	E75S	D	81,0	86,2	94,5
1	30-11-2020 12:07:36	DH8D	D	71,8	73,8	82,9
1	30-11-2020 13:17:53	GLF5	D	75,0	79,0	87,3
1	30-11-2020 13:42:42	SF34	D	74,0	77,7	84,8
1 1	30-11-2020 13:44:41 30-11-2020 14:22:27	E75S E55P	D D	81,0	85,3 75.7	94,0
1	30-11-2020 14:22:27	DH8D	D	73,0 74,8	75,7 75,2	88,1 83,8
1	30-11-2020 14:43:46	AT75	D	73,0	74,4	83,0
1	30-11-2020 14:59:32	E170	D	79,4	82,9	92,4
1	30-11-2020 15:00:30	E75L	D	77,1	82,2	90,3
1	30-11-2020 15:12:09	E195	D	79,4	86,9	93,9
1	30-11-2020 15:42:39	E75S	D	79,4	85,6	94,3
1	30-11-2020 15:50:54	E75S	D	79,5	84,9	93,5
1	30-11-2020 15:52:51	E75S	D	81,5	86,4	95,3
1	30-11-2020 15:56:07	E170	D	80,8	85,4	93,8
1	30-11-2020 15:58:11	E170	D	79,6	85,5	93,2
1	30-11-2020 16:02:52	B738	D	84,4	89,9	96,4
1	30-11-2020 16:07:07	E170	D	81,1	86,9	94,5
1	30-11-2020 16:11:40	C25B	D	74,5	77,5	87,7
1	30-11-2020 16:14:56	E195	D	82,0	88,2	94,8
1	30-11-2020 16:26:35	DH8D	D	72,5	73,8	82,0
1	30-11-2020 16:28:01	E75S	D	80,8	84,7	93,3
			i	, -		

Nr punktu pomiarowego	Data i godz. zdarzenia	Samolot	Operacja*	L <sub>Aeq</sub>	L <sub>Amax</sub> [dB]	L <sub>AE</sub> [dB]
1	30-11-2020 16:32:13	DH8D	D	79,6	84,4	93,0
1	30-11-2020 16:38:06	BE20	D	75,2	78,3	86,3
1	30-11-2020 16:43:38	E75S	D	82,2	89,5	96,2
1	30-11-2020 16:46:27	DH8D	D	71,7	73,4	81,2
1	30-11-2020 16:51:59	E170	D	78,1	83,7	92,1
1	30-11-2020 17:15:51	E190	D	75,0	79,0	88,9
1	30-11-2020 17:40:49	E190	D	72,5	73,6	81,5
1	30-11-2020 17:49:19	E75S	D	77,3	81,9	91,3
1	30-11-2020 18:04:18	DH8D	D	71,9	72,8	81,4
1	30-11-2020 21:17:56	AT75	D	75,5	78,8	85,1
1	30-11-2020 21:34:18	B752	D	81,3	85,2	93,6
1	30-11-2020 21:44:00	B734	D	80,4	85,5	93,9
1	30-11-2020 21:57:33	DH8D	Α	81,3	86,1	91,7

## Zestawienie zdarzeń akustycznych spowodowanych przelotami statków powietrznych w porze nocy ( przedział czasu pomiędzy godz. 22.00 – 06.00 )

Nr punktu	Doto i godz, zdorzonia	Samolot	Operacie*	L <sub>Aeq</sub>	L <sub>Amax</sub>	LAE
pomiarowego	Data i godz. zdarzenia	Samolot	Operacja*	[dB]	[dB]	[dB]
1	01-11-2020 22:16:19	A21N	Α	78,8	86,1	91,8
1	01-11-2020 22:25:54	A21N	Α	77,0	85,1	91,5
1	01-11-2020 22:45:44	A321	Α	80,8	87,4	93,3
1	01-11-2020 22:57:47	A20N	Α	80,2	87,6	93,4
1	01-11-2020 23:05:53	E190	Α	79,6	87,5	93,2
1	02-11-2020 05:20:11	B752	Α	84,3	92,5	98,3
1	02-11-2020 05:36:15	B752	Α	86,3	92,8	98,8
1	02-11-2020 05:44:24	B734	Α	83,8	92,4	96,8
1	02-11-2020 05:46:31	E190	Α	81,4	89,6	94,8
1	02-11-2020 22:18:49	A21N	Α	79,6	85,8	91,4
1	02-11-2020 22:36:23	A21N	Α	79,9	87,0	92,7
1	02-11-2020 22:47:13	A319	Α	82,4	90,2	95,6
1	02-11-2020 23:05:00	E75L	А	80,0	86,7	91,8
1	02-11-2020 23:32:29	DH8D	D	68,6	71,2	80,4
1	03-11-2020 22:17:01	A306	D	81,3	87,7	96,2
1	03-11-2020 22:46:44	A21N	А	81,2	88,2	93,5
1	03-11-2020 22:55:13	DH8D	D	71,0	75,3	84,4
1	03-11-2020 23:03:11	DH8D	D	70,0	72,9	82,7
1	03-11-2020 23:05:07	DH8D	D	70,1	73,5	82,7
1	03-11-2020 23:06:37	DH8D	D	70,3	73,0	83,1
1	03-11-2020 23:08:14	DH8D	D	70,3	73,3	82,6
1	03-11-2020 23:09:50	DH8D	D	70,1	73,3	82,6
1	03-11-2020 23:12:02	E170	D	76,1	81,1	90,9
1	04-11-2020 22:05:58	A306	D	79,6	85,2	95,2
1	04-11-2020 22:59:18	DH8D	D	69,3	71,6	81,1
1	04-11-2020 23:01:55	E170	D	75,4	80,6	90,4
1	04-11-2020 23:04:53	DH8D	D	69,3	71,8	80,7
1	04-11-2020 23:09:29	DH8D	D	69,3	72,3	81,9
1	04-11-2020 23:14:56	E170	D	74,8	79,7	89,6
1	04-11-2020 23:16:38	DH8D	D	70,1	72,8	82,4
1	04-11-2020 23:18:13	DH8D	D	68,8	71,4	81,4
1	04-11-2020 23:19:44	DH8D	D	69,3	72,3	81,0
1	04-11-2020 23:22:25	E190	D	78,5	84,4	92,3
1	05-11-2020 22:24:48	A306	D	77,9	83,8	94,3
1	05-11-2020 23:01:04	E170	D	74,6	80,1	90,1
1	06-11-2020 05:58:30	A21N	D	75,5	81,4	89,7
1	06-11-2020 22:05:43	LJ60	D	74,5	80,3	87,9
1	06-11-2020 22:07:29	A306	D	79,8	85,2	94,6
1	06-11-2020 22:21:08	B738	D	81,9	87,1	94,9

Demiarowego	Nr punktu				L <sub>Aeq</sub>	L <sub>Amax</sub>	LAE
1		Data i godz. zdarzenia	Samolot	Operacja*			[dB]
1	1	06-11-2020 23:04:01	DH8D	D	69,9	74,2	83,3
1	1	06-11-2020 23:06:45	DH8D	D	69,1	72,2	80,8
1	1	06-11-2020 23:11:08	DH8D	D	70,1	72,6	81,2
1	1	06-11-2020 23:12:31	DH8D	D	71,1	74,8	83,2
1	1	06-11-2020 23:13:56	E170	D	75,7	81,3	90,1
1 06-11-2020 23:18:39	1	06-11-2020 23:15:23	DH8D	D	69,8	73,2	81,8
1	1	06-11-2020 23:16:47	E170	D	76,4	81,9	91,5
1	1	06-11-2020 23:18:39	DH8D	D	69,8	73,9	83,4
1         07-11-2020 22:30:05         B738         A         83,8         91,1         9           1         07-11-2020 22:48:36         A319         A         82,0         89,4         9           1         07-11-2020 22:06:14         A21N         A         80,1         86,4         9           1         08-11-2020 22:05:30         A320         A         80,7         87,2         9           1         08-11-2020 23:05:31         B190         A         81,4         89,1         9           1         08-11-2020 05:31:03         B752         A         84,0         91,3         9           1         09-11-2020 05:33:58         B752         A         84,0         91,3         9           1         09-11-2020 05:33:58         B752         A         84,0         91,3         9           1         09-11-2020 05:53:51         E190         A         81,8         89,3         9           1         09-11-2020 05:65:21         E190         A         81,8         89,3         9           1         10-11-2020 05:56:71         B763         A         86,2         94,2         11           1         10-11-2020 05:52:57         <		06-11-2020 23:26:07					92,6
1         07-11-2020 22:48:36         A319         A         82,0         89,4         9           1         07-11-2020 23:02:42         E75L         A         80,1         86,4         9           1         08-11-2020 23:06:14         A21N         A         80,7         87,4         9           1         08-11-2020 23:03:51         E190         A         80,7         87,2         9           1         08-11-2020 23:03:51         E190         A         81,4         89,1         9           1         09-11-2020 05:33:58         B752         A         84,7         91,8         9           1         09-11-2020 05:33:58         B752         A         84,0         91,3         9           1         09-11-2020 05:58:21         E190         A         81,9         89,5         9           1         09-11-2020 05:58:21         E190         A         81,9         89,5         9           1         09-11-2020 05:58:20         A319         A         81,8         89,3         9           1         10-11-2020 05:58:26         E75L         A         77,6         86,8         9           1         1         10-11-2020 05:52			A21N	Α			91,2
1         07-11-2020 23:02:42         E75L         A         80,1         86,4         9           1         08-11-2020 22:06:14         A21N         A         80,9         87,4         9           1         08-11-2020 23:03:51         E190         A         81,4         89,1         9           1         08-11-2020 05:31:03         B752         A         84,7         91,8         9           1         09-11-2020 05:33:58         B752         A         84,0         91,3         9           1         09-11-2020 05:38:58         B752         A         84,0         91,3         9           1         09-11-2020 05:58:21         E190         A         81,8         89,5         9           1         09-11-2020 23:06:54         E75L         A         77,6         86,8         9           1         10-11-2020 23:06:54         E75L         A         77,6         86,8         9           1         10-11-2020 05:53:10         B763         A         86,2         94,2         11           1         10-11-2020 05:53:46         ATP         A         85,3         92,8         9           1         10-11-2020 05:53:46 <t< td=""><td></td><td></td><td></td><td></td><td>•</td><td>•</td><td>96,1</td></t<>					•	•	96,1
1         08-11-2020 22:06:14         A21N         A         80,9         87,4         9           1         08-11-2020 22:59:30         A320         A         80,7         87,2         9           1         08-11-2020 23:03:51         E190         A         81,4         89,1         9           1         09-11-2020 05:33:58         B752         A         84,7         91,8         9           1         09-11-2020 05:33:58         B752         A         84,0         91,3         9           1         09-11-2020 05:38:62         E190         A         81,9         89,5         9           1         09-11-2020 05:58:21         E190         A         81,9         89,5         9           1         09-11-2020 05:58:20         A319         A         81,8         89,3         9           1         1         09-11-2020 23:06:54         E75L         A         77,6         86,8         9           1         1         10-11-2020 05:39:10         B763         A         86,2         94,2         10           1         1         10-11-2020 05:39:10         B763         A         86,2         94,2         10				+			94,6
1         08-11-2020 22:59:30         A320         A         80,7         87,2         9           1         08-11-2020 23:03:51         E190         A         81,4         89,1         9           1         09-11-2020 05:33:58         B752         A         84,7         91,8         9           1         09-11-2020 05:33:58         B752         A         84,0         91,3         9           1         09-11-2020 05:58:21         E190         A         81,9         89,5         9           1         09-11-2020 23:39:20         A319         A         81,8         89,3         9           1         09-11-2020 23:06:54         E75L         A         7,6         86,8         9           1         10-11-2020 05:43:46         ATP         A         85,3         92,8         9           1         10-11-2020 05:56:17         E190         A         81,5         89,1         9           1         10-11-2020 05:56:17         E190         A         81,5         89,1         9           1         10-11-2020 05:56:17         E190         A         81,5         89,1         9           1         10-11-2020 05:58:24							91,8
1         08-11-2020 23:03:51         E190         A         81,4         89,1         9           1         09-11-2020 05:31:03         B752         A         84,7         91,8         9           1         09-11-2020 05:33:58         B752         A         84,0         91,3         9           1         09-11-2020 25:39:20         A319         A         81,8         89,3         9           1         09-11-2020 23:06:54         E75L         A         77,6         86,8         9           1         1         10-11-2020 05:39:10         B763         A         86,2         94,2         11           1         10-11-2020 05:43:46         ATP         A         85,3         92,8         1           1         10-11-2020 05:56:17         E190         A         81,5         89,1         9           1         10-11-2020 20:30							93,2
1         09-11-2020 05:31:03         B752         A         84,7         91,8         9           1         09-11-2020 05:33:58         B752         A         84,0         91,3         9           1         09-11-2020 05:38:21         E190         A         81,9         89,5         9           1         09-11-2020 22:39:20         A319         A         81,8         89,3         9           1         09-11-2020 23:06:54         E75L         A         77,6         86,8         9           1         10-11-2020 05:39:10         B763         A         86,2         94,2         10           1         10-11-2020 05:52:57         A306         A         87,0         94,7         10           1         10-11-2020 05:52:67         A306         A         87,0         94,7         10           1         10-11-2020 05:52:67         A306         A         81,5         89,1         9           1         10-11-2020 05:52:77         E190         A         81,5         89,1         9           1         10-11-2020 05:52:137         A321         A         80,5         87,4         9           1         10-11-2020 22:30:02:5				1			93,4
1         09-11-2020 05:33:58         B752         A         84,0         91,3         9           1         09-11-2020 05:58:21         E190         A         81,9         89,5         9           1         09-11-2020 22:39:20         A319         A         81,8         89,3         9           1         09-11-2020 23:06:54         E75L         A         77,6         86,8         9           1         10-11-2020 05:39:10         B763         A         86,2         94,2         11           1         10-11-2020 05:43:46         ATP         A         85,3         92,8         9           1         10-11-2020 05:52:57         A306         A         87,0         94,7         11           1         10-11-2020 05:58:24         A21N         A         80,3         88,5         9           1         10-11-2020 25:31:37         A321         A         80,5         87,4         9           1         10-11-2020 22:30:025         E190         A         81,9         90,8         9           1         10-11-2020 22:30:025         E190         A         81,9         90,8         9           1         11-12-12020 23:00:25			+			•	94,2
1         09-11-2020 05:58:21         E190         A         81,9         89,5         9           1         09-11-2020 22:39:20         A319         A         81,8         89,3         9           1         09-11-2020 23:06:54         E75L         A         77,6         86,8         9           1         10-11-2020 05:39:10         B763         A         86,2         94,2         10           1         10-11-2020 05:43:46         ATP         A         85,3         92.8         9           1         10-11-2020 05:52:57         A306         A         87,0         94,7         10           1         10-11-2020 05:52:57         A306         A         87,0         94,7         10           1         10-11-2020 05:52:17         E190         A         81,5         89,1         9           1         10-11-2020 22:31:7         A321         A         80,5         87,4         9           1         10-11-2020 22:37:10         A20N         A         81,9         90,8         9           1         10-11-2020 22:30:25         E190         A         81,9         90,8         9           1         11-12-12020 22:30:25							97,9
1         09-11-2020 22:39:20         A319         A         81,8         89,3         9           1         09-11-2020 23:06:54         E75L         A         77,6         86,8         9           1         10-11-2020 05:39:10         B763         A         86,2         94,2         11           1         10-11-2020 05:43:46         ATP         A         85,3         92,8         9           1         10-11-2020 05:55:17         E306         A         87,0         94,7         11           1         10-11-2020 05:56:17         E190         A         81,5         89,1         9           1         10-11-2020 05:58:24         A21N         A         80,3         88,5         9           1         10-11-2020 22:37:10         A20N         A         79,4         86,8         9           1         10-11-2020 23:00:25         E190         A         81,9         90,8         9           1         11-11-12020 23:00:25         E190         A         81,9         90,8         9           1         11-11-12020 23:00:25         E190         A         80,7         87,5         9           1         11-11-2020 23:00:25							97,8
1         09-11-2020 23:06:54         E75L         A         77,6         86,8         9           1         10-11-2020 05:39:10         B763         A         86,2         94,2         10           1         10-11-2020 05:43:46         ATP         A         85,3         92,8         9           1         10-11-2020 05:52:57         A306         A         87,0         94,7         10           1         10-11-2020 05:58:17         E190         A         81,5         89,1         9           1         10-11-2020 05:58:24         A21N         A         80,3         88,5         9           1         10-11-2020 22:37:10         A20N         A         80,5         87,4         9           1         10-11-2020 23:00:25         E190         A         81,9         90,8         9           1         11-11-2020 23:09:22         E75L         A         79,9         87,2         9           1         11-11-2020 23:09:22         E75L         A         79,9         87,2         9           1         12-11-2020 05:39:00         B763         A         84,6         94,2         10           1         12-11-2020 05:39:00							94,7
1         10-11-2020 05:39:10         B763         A         86,2         94,2         10           1         10-11-2020 05:43:46         ATP         A         85,3         92,8         9           1         10-11-2020 05:52:57         A306         A         87,0         94,7         11           1         10-11-2020 05:56:17         E190         A         81,5         89,1         9           1         10-11-2020 25:58:24         A21N         A         80,5         87,4         9           1         10-11-2020 22:37:10         A20N         A         79,4         86,8         9           1         10-11-2020 23:00:25         E190         A         81,9         90,8         9           1         11-11-2020 23:00:25         E190         A         81,9         90,8         9           1         11-11-2020 23:09:22         E75L         A         79,9         87,2         9           1         12-11-2020 05:39:00         B763         A         84,6         94,2         10           1         12-11-2020 05:42:39         ATP         A         82,3         92,5         9           1         12-11-2020 05:42:39         <				ļ — — I			94,9 93,0
1         10-11-2020 05:43:46         ATP         A         85,3         92,8         9           1         10-11-2020 05:52:57         A306         A         87,0         94,7         10           1         10-11-2020 05:56:17         E190         A         81,5         89,1         9           1         10-11-2020 05:58:24         A21N         A         80,3         88,5         9           1         10-11-2020 22:11:37         A321         A         80,5         87,4         9           1         10-11-2020 22:37:10         A20N         A         79,4         86,8         9           1         10-11-2020 23:00:25         E190         A         81,9         90,8         9           1         11-11-2020 23:00:25         E190         A         81,9         90,8         9           1         11-11-2020 23:00:25         E190         A         81,9         90,8         9           1         11-11-2020 23:00:25         E75L         A         79,9         87,2         9           1         12-11-2020 25:59:06         A20N         A         84,6         94,2         10           1         12-11-2020 05:39:00         <			1				100,1
1         10-11-2020 05:52:57         A306         A         87,0         94,7         10           1         10-11-2020 05:56:17         E190         A         81,5         89,1         9           1         10-11-2020 05:58:24         A21N         A         80,3         88,5         9           1         10-11-2020 22:11:37         A321         A         80,5         87,4         9           1         10-11-2020 22:37:10         A20N         A         79,4         86,8         9           1         10-11-2020 23:00:25         E190         A         81,9         90,8         9           1         11-11-12020 23:00:25         E190         A         81,9         90,8         9           1         11-11-12020 23:00:26         A20N         A         80,7         87,5         9           1         11-11-2020 23:09:22         E75L         A         79,9         87,2         9           1         12-11-2020 05:39:00         B763         A         84,6         94,2         10           1         12-11-2020 05:39:00         B763         A         84,6         94,2         10           1         12-11-2020 05:42:39							98,9
1         10-11-2020 05:56:17         E190         A         81,5         89,1         9           1         10-11-2020 05:58:24         A21N         A         80,3         88,5         9           1         10-11-2020 22:11:37         A321         A         80,5         87,4         9           1         10-11-2020 22:37:10         A20N         A         79,4         86,8         9           1         10-11-2020 23:00:25         E190         A         81,9         90,8         9           1         11-11-2020 22:50:26         A20N         A         80,7         87,5         9           1         11-11-2020 23:09:22         E75L         A         79,9         87,2         9           1         12-11-2020 33:00:0         B763         A         84,6         94,2         10           1         12-11-2020 5:39:00         B763         A         84,6         94,2         10           1         12-11-2020 5:46:14         A306         A         86,4         95,3         11           1         12-11-2020 05:46:14         A306         A         84,4         91,5         9           1         12-11-2020 22:35:50 <t< td=""><td></td><td></td><td></td><td></td><td></td><td></td><td>100,2</td></t<>							100,2
1         10-11-2020 05:58:24         A21N         A         80,3         88,5         9           1         10-11-2020 22:11:37         A321         A         80,5         87,4         9           1         10-11-2020 22:37:10         A20N         A         79,4         86,8         9           1         10-11-2020 23:00:25         E190         A         81,9         90,8         9           1         11-11-2020 22:50:26         A20N         A         80,7         87,5         9           1         11-11-2020 23:09:22         E75L         A         79,9         87,2         9           1         12-11-2020 05:39:00         B763         A         84,6         94,2         10           1         12-11-2020 05:39:00         B763         A         84,6         94,2         10           1         12-11-2020 05:42:39         ATP         A         82,3         92,5         9           1         12-11-2020 05:46:14         A306         A         86,4         95,3         10           1         12-11-2020 05:57:04         E190         A         82,6         89,0         9           1         12-11-2020 22:35:54				+			94,5
1         10-11-2020 22:11:37         A321         A         80,5         87,4         9           1         10-11-2020 22:37:10         A20N         A         79,4         86,8         9           1         10-11-2020 23:00:25         E190         A         81,9         90,8         9           1         11-11-2020 22:50:26         A20N         A         80,7         87,5         9           1         11-11-2020 23:09:22         E75L         A         79,9         87,2         9           1         12-11-2020 05:39:00         B763         A         84,6         94,2         10           1         12-11-2020 05:42:39         ATP         A         82,3         92,5         9           1         12-11-2020 05:46:14         A306         A         86,4         95,3         10           1         12-11-2020 05:57:04         E190         A         82,6         89,0         9           1         12-11-2020 22:31:12         B789         A         84,4         91,5         9           1         12-11-2020 22:35:54         A21N         A         79,7         86,5         9           1         12-11-2020 22:35:54         <							94,1
1         10-11-2020 22:37:10         A20N         A         79,4         86,8         9           1         10-11-2020 23:00:25         E190         A         81,9         90,8         9           1         11-11-2020 22:50:26         A20N         A         80,7         87,5         9           1         11-11-2020 23:09:22         E75L         A         79,9         87,2         9           1         12-11-2020 5:39:00         B763         A         84,6         94,2         10           1         12-11-2020 5:42:39         ATP         A         82,3         92,5         9           1         12-11-2020 5:46:14         A306         A         86,4         95,3         10           1         12-11-2020 5:57:04         E190         A         82,6         89,0         9           1         12-11-2020 22:31:12         B789         A         84,4         91,5         9           1         12-11-2020 22:35:54         A21N         A         79,7         86,5         9           1         12-11-2020 22:35:54         A20N         A         79,4         86,5         9           1         12-11-2020 23:02:18         E							93,3
1         10-11-2020 23:00:25         E190         A         81,9         90,8         9           1         11-11-2020 22:50:26         A20N         A         80,7         87,5         9           1         11-11-2020 23:09:22         E75L         A         79,9         87,2         9           1         12-11-2020 05:39:00         B763         A         84,6         94,2         10           1         12-11-2020 05:42:39         ATP         A         82,3         92,5         9           1         12-11-2020 05:46:14         A306         A         86,4         95,3         10           1         12-11-2020 22:31:12         B789         A         84,4         91,5         9           1         12-11-2020 22:35:54         A21N         A         79,7         86,5         9           1         12-11-2020 23:00:18	1		A20N	Α			92,6
1         11-11-2020 23:09:22         E75L         A         79,9         87,2         9           1         12-11-2020 05:39:00         B763         A         84,6         94,2         10           1         12-11-2020 05:42:39         ATP         A         82,3         92,5         9           1         12-11-2020 05:46:14         A306         A         86,4         95,3         10           1         12-11-2020 05:57:04         E190         A         82,6         89,0         9           1         12-11-2020 22:31:12         B789         A         84,4         91,5         9           1         12-11-2020 22:35:54         A21N         A         79,7         86,5         9           1         12-11-2020 22:45:30         A20N         A         79,4         86,5         9           1         12-11-2020 23:02:18         E75L         A         81,9         88,9         9           1         13-11-2020 5:49:08         A306         A         84,4         94,1         10           1         13-11-2020 05:49:08         A306         A         84,4         94,1         10           1         13-11-2020 05:51:40	1	10-11-2020 23:00:25	E190	Α	81,9	90,8	95,4
1         12-11-2020 05:39:00         B763         A         84,6         94,2         10           1         12-11-2020 05:42:39         ATP         A         82,3         92,5         9           1         12-11-2020 05:46:14         A306         A         86,4         95,3         10           1         12-11-2020 05:57:04         E190         A         82,6         89,0         9           1         12-11-2020 22:31:12         B789         A         84,4         91,5         9           1         12-11-2020 22:35:54         A21N         A         79,7         86,5         9           1         12-11-2020 22:35:54         A21N         A         79,4         86,5         9           1         12-11-2020 22:35:54         A20N         A         79,4         86,5         9           1         12-11-2020 23:02:18         E75L         A         81,9         88,9         9           1         13-11-2020 25:40:17         B763         A         86,9         95,1         10           1         13-11-2020 05:49:08         A306         A         84,4         94,1         10           1         13-11-2020 25:15:36	1	11-11-2020 22:50:26	A20N	Α	80,7	87,5	93,2
1         12-11-2020 05:42:39         ATP         A         82,3         92,5         9           1         12-11-2020 05:46:14         A306         A         86,4         95,3         10           1         12-11-2020 05:57:04         E190         A         82,6         89,0         9           1         12-11-2020 22:31:12         B789         A         84,4         91,5         9           1         12-11-2020 22:35:54         A21N         A         79,7         86,5         9           1         12-11-2020 22:45:30         A20N         A         79,4         86,5         9           1         12-11-2020 23:02:18         E75L         A         81,9         88,9         9           1         13-11-2020 05:40:17         B763         A         86,9         95,1         10           1         13-11-2020 05:49:08         A306         A         84,4         94,1         10           1         13-11-2020 05:51:40         ATP         A         83,5         91,8         9           1         13-11-2020 22:15:36         B789         A         82,4         91,2         9           1         13-11-2020 22:215:36	1	11-11-2020 23:09:22	E75L	А	79,9	87,2	92,5
1         12-11-2020 05:46:14         A306         A         86,4         95,3         10           1         12-11-2020 05:57:04         E190         A         82,6         89,0         9           1         12-11-2020 22:31:12         B789         A         84,4         91,5         9           1         12-11-2020 22:35:54         A21N         A         79,7         86,5         9           1         12-11-2020 22:45:30         A20N         A         79,4         86,5         9           1         12-11-2020 23:02:18         E75L         A         81,9         88,9         9           1         13-11-2020 23:02:18         E75L         A         81,9         88,9         9           1         13-11-2020 23:02:18         E75L         A         81,9         88,9         9           1         13-11-2020 25:40:17         B763         A         86,9         95,1         10           1         13-11-2020 05:49:08         A306         A         84,4         94,1         10           1         13-11-2020 05:51:40         ATP         A         83,5         91,8         9           1         13-11-2020 22:15:36	1	12-11-2020 05:39:00	B763	Α	84,6	94,2	100,4
1       12-11-2020 05:57:04       E190       A       82,6       89,0       9         1       12-11-2020 22:31:12       B789       A       84,4       91,5       9         1       12-11-2020 22:35:54       A21N       A       79,7       86,5       9         1       12-11-2020 22:45:30       A20N       A       79,4       86,5       9         1       12-11-2020 23:02:18       E75L       A       81,9       88,9       9         1       13-11-2020 05:40:17       B763       A       86,9       95,1       10         1       13-11-2020 05:49:08       A306       A       84,4       94,1       10         1       13-11-2020 05:51:40       ATP       A       83,5       91,8       9         1       13-11-2020 22:15:36       B789       A       82,4       91,2       9         1       13-11-2020 23:00:44       E190       A       81,2       88,4       9         1       14-11-2020 25:53:37       A21N       A       79,3       86,7       9         1       14-11-2020 22:29:21       B738       A       81,3       90,0       9         1       14-11-2020 22:36:	1	12-11-2020 05:42:39	ATP	Α	82,3	92,5	98,8
1         12-11-2020 22:31:12         B789         A         84,4         91,5         9           1         12-11-2020 22:35:54         A21N         A         79,7         86,5         9           1         12-11-2020 22:45:30         A20N         A         79,4         86,5         9           1         12-11-2020 23:02:18         E75L         A         81,9         88,9         9           1         13-11-2020 05:40:17         B763         A         86,9         95,1         10           1         13-11-2020 05:49:08         A306         A         84,4         94,1         10           1         13-11-2020 05:51:40         ATP         A         83,5         91,8         9           1         13-11-2020 20:551:40         ATP         A         82,4         91,2         9           1         13-11-2020 20:215:36         B789         A         82,4         91,2         9           1         13-11-2020 22:00:44         E190         A         81,2         88,4         9           1         14-11-2020 22:29:21         B738         A         81,3         90,0         9           1         14-11-2020 22:36:25	1	12-11-2020 05:46:14	A306	А	86,4	95,3	100,7
1       12-11-2020 22:35:54       A21N       A       79,7       86,5       9         1       12-11-2020 22:45:30       A20N       A       79,4       86,5       9         1       12-11-2020 23:02:18       E75L       A       81,9       88,9       9         1       13-11-2020 05:40:17       B763       A       86,9       95,1       10         1       13-11-2020 05:49:08       A306       A       84,4       94,1       10         1       13-11-2020 05:51:40       ATP       A       83,5       91,8       9         1       13-11-2020 22:15:36       B789       A       82,4       91,2       9         1       13-11-2020 23:00:44       E190       A       81,2       88,4       9         1       14-11-2020 25:33:37       A21N       A       79,3       86,7       9         1       14-11-2020 22:29:21       B738       A       81,3       90,0       9         1       14-11-2020 22:36:25       A21N       A       79,2       86,0       9		12-11-2020 05:57:04	1	Α	82,6		94,4
1       12-11-2020 22:45:30       A20N       A       79,4       86,5       9         1       12-11-2020 23:02:18       E75L       A       81,9       88,9       9         1       13-11-2020 05:40:17       B763       A       86,9       95,1       10         1       13-11-2020 05:49:08       A306       A       84,4       94,1       10         1       13-11-2020 05:51:40       ATP       A       83,5       91,8       9         1       13-11-2020 05:51:40       ATP       A       82,4       91,2       9         1       13-11-2020 22:15:36       B789       A       82,4       91,2       9         1       13-11-2020 23:00:44       E190       A       81,2       88,4       9         1       14-11-2020 25:23:37       A21N       A       79,3       86,7       9         1       14-11-2020 22:29:21       B738       A       81,3       90,0       9         1       14-11-2020 22:36:25       A21N       A       78,7       84,8       9         1       14-11-2020 22:42:14       A20N       A       79,2       86,0       9			ļ	Α			97,8
1       12-11-2020 23:02:18       E75L       A       81,9       88,9       9         1       13-11-2020 05:40:17       B763       A       86,9       95,1       10         1       13-11-2020 05:49:08       A306       A       84,4       94,1       10         1       13-11-2020 05:51:40       ATP       A       83,5       91,8       9         1       13-11-2020 22:15:36       B789       A       82,4       91,2       9         1       13-11-2020 23:00:44       E190       A       81,2       88,4       9         1       14-11-2020 05:53:37       A21N       A       79,3       86,7       9         1       14-11-2020 22:29:21       B738       A       81,3       90,0       9         1       14-11-2020 22:36:25       A21N       A       78,7       84,8       9         1       14-11-2020 22:42:14       A20N       A       79,2       86,0       9						•	92,2
1       13-11-2020 05:40:17       B763       A       86,9       95,1       10         1       13-11-2020 05:49:08       A306       A       84,4       94,1       10         1       13-11-2020 05:51:40       ATP       A       83,5       91,8       9         1       13-11-2020 22:15:36       B789       A       82,4       91,2       9         1       13-11-2020 23:00:44       E190       A       81,2       88,4       9         1       14-11-2020 05:53:37       A21N       A       79,3       86,7       9         1       14-11-2020 22:29:21       B738       A       81,3       90,0       9         1       14-11-2020 22:36:25       A21N       A       78,7       84,8       9         1       14-11-2020 22:42:14       A20N       A       79,2       86,0       9			+	+		•	92,4
1       13-11-2020 05:49:08       A306       A       84,4       94,1       10         1       13-11-2020 05:51:40       ATP       A       83,5       91,8       9         1       13-11-2020 22:15:36       B789       A       82,4       91,2       9         1       13-11-2020 23:00:44       E190       A       81,2       88,4       9         1       14-11-2020 05:53:37       A21N       A       79,3       86,7       9         1       14-11-2020 22:29:21       B738       A       81,3       90,0       9         1       14-11-2020 22:36:25       A21N       A       78,7       84,8       9         1       14-11-2020 22:42:14       A20N       A       79,2       86,0       9							94,0
1       13-11-2020 05:51:40       ATP       A       83,5       91,8       9         1       13-11-2020 22:15:36       B789       A       82,4       91,2       9         1       13-11-2020 23:00:44       E190       A       81,2       88,4       9         1       14-11-2020 05:53:37       A21N       A       79,3       86,7       9         1       14-11-2020 22:29:21       B738       A       81,3       90,0       9         1       14-11-2020 22:36:25       A21N       A       78,7       84,8       9         1       14-11-2020 22:42:14       A20N       A       79,2       86,0       9			+		•	•	100,7
1     13-11-2020 22:15:36     B789     A     82,4     91,2     9       1     13-11-2020 23:00:44     E190     A     81,2     88,4     9       1     14-11-2020 05:53:37     A21N     A     79,3     86,7     9       1     14-11-2020 22:29:21     B738     A     81,3     90,0     9       1     14-11-2020 22:36:25     A21N     A     78,7     84,8     9       1     14-11-2020 22:42:14     A20N     A     79,2     86,0     9			1		•	•	100,0
1       13-11-2020 23:00:44       E190       A       81,2       88,4       9         1       14-11-2020 05:53:37       A21N       A       79,3       86,7       9         1       14-11-2020 22:29:21       B738       A       81,3       90,0       9         1       14-11-2020 22:36:25       A21N       A       78,7       84,8       9         1       14-11-2020 22:42:14       A20N       A       79,2       86,0       9			+	+	•	•	98,2 97,3
1     14-11-2020 05:53:37     A21N     A     79,3     86,7     9       1     14-11-2020 22:29:21     B738     A     81,3     90,0     9       1     14-11-2020 22:36:25     A21N     A     78,7     84,8     9       1     14-11-2020 22:42:14     A20N     A     79,2     86,0     9			+			,	93,3
1     14-11-2020 22:29:21     B738     A     81,3     90,0     9       1     14-11-2020 22:36:25     A21N     A     78,7     84,8     9       1     14-11-2020 22:42:14     A20N     A     79,2     86,0     9			+	+		•	92,3
1     14-11-2020 22:36:25     A21N     A     78,7     84,8     9       1     14-11-2020 22:42:14     A20N     A     79,2     86,0     9			1	+		,	95,1
1 14-11-2020 22:42:14 A20N A 79,2 86,0 9			1		•	•	90,5
			+			•	91,7
, . ,	1	14-11-2020 22:56:37	E190	A	81,0	88,1	93,0
	1	15-11-2020 22:03:31	A21N	А	· · · · · · · · · · · · · · · · · · ·		92,7
	1	15-11-2020 22:19:20	E190	1	•	•	94,2
1 15-11-2020 22:36:20 A320 A 81,0 87,7 9	1	15-11-2020 22:36:20	A320	А	81,0	87,7	93,6
1 15-11-2020 22:39:44 A20N A 79,4 86,9 9	1	15-11-2020 22:39:44	A20N	А	79,4	86,9	92,7
1 15-11-2020 23:13:17 E75L A 80,4 87,3 9	1	15-11-2020 23:13:17	E75L	А	80,4	87,3	92,7
1 16-11-2020 05:24:03 B752 A 84,8 93,5 9	1	16-11-2020 05:24:03	B752	А	84,8	93,5	99,1
1 16-11-2020 05:33:42 B752 A 87,1 95,7 10	1	16-11-2020 05:33:42	B752	А	87,1	95,7	101,1
		16-11-2020 05:55:15	1	А	83,6	93,0	97,2
			†		•	90,2	95,1
1 16-11-2020 22:10:52 B752 D 78,3 83,2 9	1	16-11-2020 22:10:52	B752	D	78,3	83,2	93,1

Nr punktu	Doto i goda, adorannio	Complet	Operacie*	L <sub>Aeq</sub>	L <sub>Amax</sub>	LAE
pomiarowego	Data i godz. zdarzenia	Samolot	Operacja*	[dB]	[dB]	[dB]
1	16-11-2020 22:27:20	SF34	D	74,8	80,2	86,3
1	16-11-2020 23:03:19	DH8D	D	68,0	71,9	81,2
1	16-11-2020 23:06:05	E170	D	74,4	78,3	89,1
1	16-11-2020 23:09:36	E190	D	74,3	79,7	88,8
1	16-11-2020 23:10:52	DH8D	D	69,3	73,0	81,1
1	16-11-2020 23:14:12	DH8D	D	70,1	73,6	83,7
1	17-11-2020 23:03:47	E170	D	75,0	79,3	89,8
1	17-11-2020 23:06:08	SF34	D	70,0	73,8	82,5
1	18-11-2020 22:12:08	FA7X	Α	77,8	84,3	89,6
1	18-11-2020 22:46:43	A319	Α	81,3	88,5	94,3
1	18-11-2020 22:58:26	E75L	Α	81,5	89,1	94,1
1	19-11-2020 04:57:40	B789	Α	82,7	90,8	97,1
1	19-11-2020 05:10:40	ATP	Α	85,5	93,1	98,7
1	19-11-2020 05:26:15	A306	Α	87,1	95,6	100,9
1	19-11-2020 05:56:23	B763	Α	84,8	92,6	98,6
1	19-11-2020 05:59:44	E190	Α	80,3	87,5	92,9
1	19-11-2020 22:10:37	AN26	D	80,0	86,2	96,0
1	19-11-2020 22:44:33	P180	D	74,1	80,2	90,3
1	20-11-2020 22:12:14	B738	D	77,5	82,8	92,0
1	20-11-2020 23:04:48	DH8D	D	70,0	73,1	82,6
1	20-11-2020 23:12:37	E170	D	74,2	79,0	89,5
1	20-11-2020 23:15:03	DH8D	D	68,9	71,8	81,9
1	20-11-2020 23:16:33	DH8D	D	69,6	74,1	82,8
1	20-11-2020 23:18:16	DH8D	D	69,5	73,4	82,7
1	20-11-2020 23:19:35	DH8D	D	68,8	71,3	80,6
1	20-11-2020 23:21:19	E75S	D	77,1	82,9	92,3
1	20-11-2020 23:33:04	E190	D	75,1	80,1	90,0
1	21-11-2020 22:23:38	B738	A	82,8	90,0	95,3
1	21-11-2020 22:44:41	A319	A	81,1	89,6	94,9
1	22-11-2020 22:21:19	P180	D	77,0	84,0	92,1
1	22-11-2020 22:58:06	DH8D	D	69,6	74,2	83,0
1	22-11-2020 23:09:15	DH8D	D	69,4	73,4	83,3
1	22-11-2020 23:11:42	DH8D DH8D	D	69,5	73,5	82,7
1	22-11-2020 23:13:09		D	70,4	74,1	83,2
1	22-11-2020 23:15:38 22-11-2020 23:17:25	E170 E190	D D	74,9 78,1	80,1 83,9	89,9 91,7
1	22-11-2020 23:17:25	DH8D	D	70,8	75,6	83,6
1	22-11-2020 23:25:58	E190	D	77,9	84,4	92,0
1	23-11-2020 23:23:35	B734	D	76,9		·
1	23-11-2020 22:30:35	DH8D	D	68,8	84,0 73,0	92,7 81,1
1	23-11-2020 23:06:39	DH8D	D	69,5	73,0	82,3
1	23-11-2020 23:00:59	E190	D	74,3	79,1	89,3
1	23-11-2020 23:09:33	DH8D	D	67,7	70,0	80,0
1	25-11-2020 23:11:42	PRM1	A	73,6	77,4	83,2
1	25-11-2020 22:39:33	E75S	A	79,8	86,8	91,9
1	25-11-2020 23:00:12	E75L	A	79,5	86,2	91,5
1	27-11-2020 22:03:58	A306	D	80,4	87,6	96,1
1	27-11-2020 22:06:59	B738	D	82,6	90,9	97,8
1	27-11-2020 23:04:12	E170	D	77,8	84,2	93,5
1	27-11-2020 23:10:50	E190	D	77,8	83,6	92,3
1	27-11-2020 23:12:27	DH8D	D	69,8	73,5	83,5
1	27-11-2020 23:14:14	DH8D	D	70,6	74,1	83,6
1	27-11-2020 23:15:37	DH8D	D	69,4	72,6	82,2
1	27-11-2020 23:17:40	E170	D	75,0	80,4	90,0
1	27-11-2020 23:19:22	DH8D	D	70,7	72,9	81,5
1	27-11-2020 23:23:24	E195	D	77,9	83,3	92,2
1	29-11-2020 22:59:18	DH8D	D	70,4	73,4	85,4
1	29-11-2020 23:02:29	DH8D	D	69,9	72,4	81,7
1	29-11-2020 23:13:58	E190	D	79,6	85,9	93,2
		1			1	1

Nr punktu pomiarowego	Data i godz. zdarzenia	Samolot	Operacja*	L <sub>Aeq</sub>	L <sub>Amax</sub>	L <sub>AE</sub>
pormarowego						
1	29-11-2020 23:30:51	DH8D	D	70,0	72,1	80,8
1	29-11-2020 23:33:43	E170	D	73,8	79,2	88,8
1	29-11-2020 23:39:21	E190	D	76,8	82,9	90,9
1	29-11-2020 23:53:04	DH8D	D	69,5	72,5	81,5
1	30-11-2020 22:37:05	A306	D	80,2	88,6	96,8
1	30-11-2020 23:06:42	E75S	D	77,3	82,6	91,8
1	30-11-2020 23:09:14	DH8D	D	70,0	73,8	83,3
1	30-11-2020 23:13:20	DH8D	D	70,1	74,2	82,6
1	30-11-2020 23:26:53	DH8D	D	69,1	71,8	79,9
1	01-12-2020 05:51:45	B789	Α	79,0	89,1	96,8
1	01-12-2020 05:55:05	B763	Α	85,2	94,0	100,1
1	01-12-2020 05:57:43	E75S	А	80,9	88,7	93,9
1	01-12-2020 05:59:34	ATP	Α	85,4	92,8	98,5

#### **LEGENDA**

- Samolot typ statku powietrznego
- Operacja: A lądowanie, D start, P przelot
- L<sub>Aeq</sub> równoważny poziom dźwięku dla zdarzenia akustycznego
- L<sub>Amax</sub> maksymalny poziom dźwięku dla zdarzenia akustycznego
- LAE ekspozycyjny poziom dźwięku dla zdarzenia akustycznego
- Kolorem niebieskim oznaczono zdarzenia akustyczne, które miały miejsce w czasie, gdy nie były spełnione warunki meteorologiczne<sup>1</sup>, a także wystąpiły zakłócenia od innych źródeł hałasu.

#### WARUNKI METEOROLOGICZNE DLA LOTNISKA:

Ustalane na wysokości: 106,51 m n.p.m

Wartości Wartości maksymalne minimalne Wartości średnie Wielkości ustalane miesięczne w danym w danym miesiącu miesiącu Temperatura [°C] 16,0 -4,9 5,8 Wilgotność względna [%] 100 56 88 1011,4 Ciśnienie atmosferyczne [hPa] 1022,0 1001.1

\_

<sup>&</sup>lt;sup>1</sup> Warunki meteorologiczne określone w punkcie D "Referencyjnej metodyki wykonywania ciągłych pomiarów poziomów hałasu wprowadzanego do środowiska przez starty, lądowania i przeloty statków powietrznych w związku z eksploatacją lotnisk oraz kryteria lokalizacji punktów pomiarowych" (Załącznik nr 1 do rozporządzenia Ministra Środowiska z dnia 16 czerwca 2011 r. w sprawie wymagań w zakresie prowadzenia pomiarów poziomów substancji lub energii w środowisku przez zarządzającego drogą, linią kolejową, linią tramwajową, lotniskiem lub portem).

### Miesięczna róża wiatrów

